

2221

İSTANBUL TEKNİK ÜNİVERSİTESİ * FEN BİLİMLERİ ENSTİTÜSÜ

GÜNEŞ ENERJİSİ ile SOĞUTMA

(DOKTORA TEZİ)

Yük. Müh. M. Adnan FERVATI

Tezin Fen Bilimleri Ens. Verildiği Tarih : 17/5/1984

Tezin Savunulduğu Tarih : 8/8/1984

Doktorayı Yöneten Öğretim Üyesi : Doç. Dr. Refah AYBER

Diğer Juri Üyeleri : Prof. Dr. Alpin K. DAĞSÖZ
Doç. Dr. Aksel ÖZTÜRK

Tuna Ozalid Sanayi ve Tic. Ltd. Şti.
Zincirlikuyu - İstanbul

1984

Y. E.
Yüksekokreteli Kurulu
Doküman Merkezi

İÇİNDEKİLER

ÖZET	IV
SUMMARY	VII
SEMBOLLER	XIII
1. GİRİŞ	1
2. TEORİK ESASLAR	5
2.1. Giriş	5
2.2.1. Güneş Işınımını Etkileyen Faktörler	5
2.2.2. Işınım Enerjisinin Ölçülmesi	6
2.2.3. Güneş Işınımın Tesbiti	7
2.2.4. Eğik Düzleme Düşen Günlük Işınım	7
2.2.5. Güneş Toplayıcısı	10
2.2.6. Saydam Örtünün Geçirgenliği	11
2.2.7. Yutucu Yüzey	12
2.2.8. Geçirgenlik-Yutuculuk Oranı	14
2.3. Adsorpsiyon	14
2.3.1. Adsorpsiyon İzoterm Bağıntısı	15
2.3.2. Gerçek Adsorpsiyon İzotermleri	16
2.3.3. Adsorpsiyon Isisi	17
2.3.4. Desorpsiyon	19
2.4. Periyodik Adsorpsiyonlu Soğutma Makinası	19
2.5. Adsorpsiyon Çiftinin Seçilmesi	22
2.6. Güneş Enerjisi İle Çalışan Adsorpsiyonlu Soğutma Sisteminde Toplayıcı Verimi Ve Sistemin Soğutma Etki Katsayısı	24
2.6.1. Toplayıcı Verimi	25
2.6.2. Sistemin Anı İç Soğutma Etki Katsayısı	28
2.6.3. Sistemin Anı Toplam Soğutma Etki Katsayısı	29
2.6.4. Sistemin Ortalama Toplam Soğutma Etki Katsayısı	29
3. KAYNAK ARAŞTIRMASI	31
3.1. Giriş	31
3.2. Adsorbentler	31
3.3. Adsorbetler	33
3.4. Sistem	34
3.4.1. Tchernev'in Sistemi	34

3.4.2. F.Meunier Ve J.J. Guilleminot'un İlk Sistemi	35
3.4.3. Meunier Ve Guilleminot'un İkinci Sistemi	35
3.5. Araştırmalardan Elde Edilen Sonuçlar	36
4. DENEYLER	39
4.1. Deney Tesisatı	39
4.2. Deney Tesisatının Boyutlandırılması İle İlgili Kabuller	40
4.3. Adsorpsiyon Çiftinin Seçimi	42
4.4. Elemanların Kapasitelerinin Belirlemesi	43
4.5. Toplayıcının Şekillendirilmesi	43
4.6. Yoğunşturucunun Şekillendirilmesi	46
4.7. Buharlaştırıcı	47
4.8. Deneylerin Yapılışı	49
4.8.1. Zeolitin Su İle Doyrulması	49
4.8.2. Işınım Şiddetinin Ölçülmesi	50
4.8.3. Yoğunma Basıncının Kontrolü	50
4.8.4. Toplayıcı Sıcaklığının Ölçülmesi	50
4.8.5. Yoğun ve Buharlaşan Su Miktarlarının Belirlenmesi	51
4.9. Deneylerde Kullanılacak Parametrelerin Tayini	51
4.10. Deney Değişkenlerinin Tesbiti	54
4.10.1. Işınım Şiddetinin Tesbiti	54
4.10.2. Işınlama Başlangıcındaki Adsorpsiyon Kapasitesinin Seçimi	54
4.10.3. Yoğunma Sıcaklığının Seçilmesi	55
5. DENYE SONUCLARI	56
5.1. Bulgular	56
5.2. Zeolitin Adsorpsiyon Doyma Kapasitesi	69
5.3. Adsorpsiyon Doyma Kapasitesinin Q_r , \bar{t}_c ve X_B Cinsinden İfade Edilmesi	69
5.4. Toplayıcı Anı Verimi	79
5.5. Sistemin Anı İç Soğutma Etki Katsayısı	92
5.6. Sistemin Anı Toplam Soğutma Etki Katsayısı	92
5.7. Sistemin Ortalama Toplam Soğutma Etki Katsayısı	93
5.8. Soğutma Etki Katsayılarının Düşme Oranı	98
5.9. Sonuç	105

III

EKLER	107
KAYNAKLAR	114
TEŞEKKÜR	117
ÖZGEÇMİŞ	118



ÖZET

Güneş enerjisi genellikle kolay temin edilebildiği ve çevreyi kirletmediği için bu enerjiden yararlanma imkânlarının araştırılması günümüzde önem kazanmaktadır. Güneş ısınınının en fazla olduğu zamanlarda soğutma ihtiyacının da artacağı dikkate alınırsa, güneş enerjisinin soğutmada kullanılması daha cazip olmaktadır.

1920-1930 yıllarında geliştirilmiş ve uygulanmış bulunan adsorpsiyonlu soğutma sisteminde güneş enerjisinin kullanılması hususu yeniden inceleme konusu olmaktadır. Bu sistem esas itibariyle adsorbentin bulunduğu bir jeneratör, bir yoquşturucu ve bir buharlaştırıcıdan oluşur. Güneş enerjisi kullanılması halinde güneş toplayıcısı jeneratör vazifesini görür ve soğutma işlemi de gece gerçekleşenir.

Bu çalışmada adsorpsiyonlu soğutma sisteminin davranışlarını ve bazı parametrelerinin etkisini incelemek için bir deney tesisi kurulmuştur. Adsorbent olarak sentetik ZX-Zeoliti ve soğutucu akişkan olarak su kullanılmıştır. Sistemin soğutma gücü günde 2100 kJ olmaktadır. Sistem planlanırken laboratuvara mevcut malzemeler göz önünde tutulmuş ve güneş toplayıcısı 980x600x60 mm boyutlarında bakırda hermetik bir kap şeklinde yapılmış ve ön (yutucu) yüzü is ile kaplanmıştır. Isı ve kütle geçişini kolaylaştmak üzere toplayıcı içine zeolit ile birlikte bir aliminyum petek yerleştirilmiştir. Toplayıcının çıkışı 5° eğiminde bulunan yoquşturucu borusuna bağlanmış ve yoquşturucu çıkışına aynı zamanda buharlaştırıcı vazifesi gören taksimatlı bir cam kap bağlanmıştır. Toplayıcı tek cam ile örtülü ve alt yüzeyi de 50 mm'lik cam yünü ile yalıtılmıştır. Ayrıca 700-1000 W/m² arasında bir ısınım şiddeti sağlayan ıslılama düzeni kurulmuştur. Ölçü cihazlarının kalibrasyonu yapıldıktan sonra sistem boşaltılmış ve vakum altında sızdırmazlığı sağlanmış ve zeolit su ile doyurulmuştur.

Işınlama safhasında sistem basıncı yoğunlaşma basıncına erişince yoğunlaşma başlar ve yoğunsan su kaptır (buharlaştırıcı) toplanır. Adsorpsiyon (soğutma) safhasında toplayıcıda sıcaklık düşer ve basınç buharlaşma basıncına erişince kaptaki (buharlaştırıcı) su buharlaşarak çevreden ısı çekerek soğutma yapılır. Buharlaşan su tekrar zeolit tarafından yutulur. Yapılan çok sayıda desorpsiyon ve adsorpsiyon deneylerinde ışınım şiddeti I , ışınlama süresi Z (dolayısıyla ışınım enerjisi Q_r), zeolitin başlangıç su adsorpsiyon kapasitesi X_B ve ortalama yoğunlaşma sıcaklığı \bar{t}_c değiştirilmiştir. Bu parametrelerin değişimi aşağıdaki esaslara göre yapılmıştır:

- İstanbul için maksimum ışınım şiddeti ve diğer literatürlerdeki ışınım şiddetleri gözönünde tutularak deneyerde $I=900 \text{ W/m}^2$ alınmıştır.

- İstanbul için yazın günlük ışınım enerjisi dikkate alınarak $Z=0-6$ saat seçilmiş ve dolayısıyla $Q_r=0-11275,2 \text{ kJ}$ olmuştur.

- Pratikte adsorpsiyon (soğutma) safhasında zeolit, su buharı ile doymadan ışınlama safhası başlayabildiğinden X_B değerleri olarak: % 24,6 (doymuş), % 23,8 ve % 23 seçilmiştir.

- Absorpsiyonlu sisteme müsade edilen en yüksek yoğunlaşma sıcaklığı 40°C altındaki ve üstündeki durumu incelemek üzere $\bar{t}_c=36^\circ\text{C}$, 43°C ve 47°C seçilmiştir.

Belirtilen değişik başlangıç adsorpsiyon kapasitesi X_B ve değişik ortalama yoğunlaşma sıcaklığı \bar{t}_c için ışınlama safhasında yoğunsan su hacmi m 'nin ve toplayıcının ön (yutucu) ve arka yüzey sıcaklıkları $t_{tö}$, t_{ta} 'nın ışınlama süresine bağlı olarak değişmesi tablo ve diyagramlarda gösterilmiş ve irdelenmiştir. Ayrıca değişik koşullarda Zeolitin su adsorpsiyon doyma kapasitesi X_o 'ın, değişmesi de ışınım enerjisi Q_r 'ye bağlı olarak tablo ve diyagramlarda gösterilmiş ve irdelenmiştir.

Zeolitin su adsorpsiyon doyma kapasitesi X_o 'ın, ışınım enerjisi Q_r ve ışınlama başlangıcında zeolitin adsorpsiyon kapasitesi X_B ile ortalama yoğunlaşma sıcaklığı \bar{t}_c 'yi içeren

Q_F ile ifade edilebileceği düşünülmüş ve büyüklükler arasındaki ilişkinin aşağıdaki şekildeki bir formül ile verilebileceği görülmüştür:

$$X_o = 24,6 \exp [B(Q_r - Q_F)^n]$$

Bu formüldeki sabitler deney sonuçlarından yararlanarak komputerde hesaplanmıştır. Deney koşullarına göre n'in değeri yaklaşık 0,8 olmakta ve B ise ortalama yoğunlaşma sıcaklığına bağlı olarak farklı değerler almaktadır.

Sistemin ışınlama safhasında performansını incelemek için; toplayıcı anı verimi η_{ta} , anı iç soğutma etki katsayısi β_{ia} , sistemin anı toplam soğutma etki katsayısi β_a ve sistemin ortalama toplam soğutma etki katsayısi β_r değişik koşullarda komputer yardımcı ile hesaplanmıştır. Bunların ışınım enerjisi Q_r 'ye bağlı olarak değişimleri toblo ve diyagramlar da gösterilmiş ve irdelenmiştir.

Sistemin en büyük ortalama toplam soğutma etki katsayısi $\beta_r = 22$ olup başlangıç adsorpsiyon kapasitesi X_B 'nin azalan değerleri ile ortalama yoğunlaşma sıcaklığı \bar{t}_c 'nin artan değerleri için azaldığı görülmüştür. Ayrıca β_{ia} değerinin deneyler sırasında sabit kalması sonucu olarak ta yoğunlaşma sırasında birim zamanda yoğunlaşan su miktarının toplayıcı (Zeolit) ortalama sıcaklığındaki artışı ile orantılı olduğu görülmüştür.

Deneylerde hava akımları, yaygın ışınım ve ortam sıcaklığı gibi sistemin performansını etkileyen fakat laboratuvarda simüle edilemeyen faktörler ihmal edilmiştir. Zeolitin ışınlama başlangıcında su adsorpsiyon kapasitesinin soğutma etki katsayısına etkisini göstermek maksadı ile anı toplam soğutma etki katsayısının düşme oranı ϵ_a ve ortalama toplam soğutma etki katsayısının düşme oranı ϵ_r kullanılmıştır. ışınlama başlangıcında zeolitin su adsorpsiyon kapasitesi ne kadar küçük olursa soğutma etki katsayılarındaki düşme oranı da o kadar büyük olmaktadır. Neticede sistemin daha etkili olabimesi için ışınlama başlangıcında zeolitin doyma durumuna mümkün olduğu kadar yakın bulunması gereklili olduğu anlaşılmıştır.

SUMMARY

Solar energy which is available in unlimited quantity in our world has the advantage of being a clean type of energy source. In recent years, extensive work has been done on the possibility of using solar energy as an energy source in heating and cooling. The use of solar energy in a cooling system becomes especially attractive, due to the fact that solar radiation reaches a peak value when cooling is needed the most.

The adsorption cooling system was developed and used to a certain extent during the years 1920-1930. This system consists essentially of a generator containing the adsorbent, a condenser and an evaporator. The adsorption system in which solar radiation can be used as an energy source is being considered again extensively. In adsorption systems using solar energy, the solar collector works as a generator and cooling is made at night.

The scope of this work has been the setting up of a laboratory scale test apparatus to study experimentally the behaviour of adsorption cooling and to determine the effect of various parameters on its performance. ZX-Zeolite was used as the adsorbent and the cooling fluid was water vapour. The system was designed for a cooling capacity of 2100 kJ/day. In constructing the test apparatus, materials available in the laboratory have been used largely. The generator was made of hermetically sealed copper box having the dimensions of 980 x 600 x 60 mm and very similar to a flat plate solar collector. To make the collector more rigid, an aluminium web in the form of a honeycomb was placed between the plates of the collector. This set up also helped improve the heat transfer to the zeolite and the flow of vapour through the collector. A suitable condenser and

VIII

an evaporator were added to the system. The laboratory experiments were carried out under simulation of solar radiation by using electrical bulbs placed in a special frame.

After the calibration of the measuring devices, the system was evacuated and checked against air leakage and the zeolite was then saturated with water vapour.

The system operates intermittently and its cycle consists of two phases. During the radiation phase the pressure of the system increases to the condensation pressure, which causes condensation to begin and condensate water to collect in the evaporator. During the adsorption (Cooling) phase the temperature of the collector decreases and the pressure of the system drops to the evaporation pressure. At this time the water in the evaporator begins to evaporate and draws heat from its surroundings, thus causing cooling. The evaporated water vapour is then read-sorbed by the zeolite and the system is ready for the next radiation phase.

Tests were carried out for the radiation (desorption) and adsorption (cooling) phases simultaneously and the behaviour of the system was studied under both conditions. Test parameters such as : intensity of radiation I , period of radiation Z , (also radiation energy Q_r), initial water adsorption capacity of zeolite X_B and mean condensation temperature \bar{t}_c were selected as indicated below:

- Considering the maximum intensity of radiation for Istanbul and also those used in similar works, the intensity was made $I = 900 \text{ w/m}^2$.

- Considering the daily solar radiation for Istanbul, the period of radiation was taken as $Z = 0-6$ hours. Under these conditions the incident radiation energy on the collector was $Q_r = 0-11275,2 \text{ kJ}$.

- In practice it is possible to begin the radiation phase before the zeolite becomes saturated with water vapour in the adsorption (cooling) phase. During the tests the initial state of the zeolite was changed and measurements were made for initial water adsorption capacity of zeolite with $X_B = 24,6\%$ (saturated) 23,8% and 23% (unsaturated).

- Considering the maximum condensation temperatures used generally in absorption cooling system, the mean condensation temperature was taken as $\bar{t}_c = 36^\circ\text{C}$, 43°C and 47°C .

The mass of condensate water collected m and the temperatures in the front and back plate of the collector $t_{tö}$, t_{ta} were tabulated and shown graphically as a function of radiation period Z for different values of X_B and \bar{t}_c as indicated above. It is observed that at the beginning of the radiation phase the temperatures in the collector increases rather quickly. This increase slows down with the beginning of the condensation. The incident radiation energy on the collector, which is required to cause condensation in the system is $Q_B \cdot Q_B$ decreases with increasing X_B or decreasing \bar{t}_c . On the other hand, the mass of water m which condenses under a given value of the incident radiation energy $Q_r > Q_B$ becomes less with decreasing X_B and increasing \bar{t}_c .

The water adsorption capacities of the zeolite at saturation X_o can be formulated with the following expression:

$$X_o = 24,6 e^{B(Q_r - Q_F)^n}$$

where n , B and Q_F are factors which were evaluated using the available experimental data in a computer program. It

is found that n will take the value of a constant ($n=0,8$), whereas B will be a function of the mean condensation temperature and Q_F a function of X_B and \bar{t}_c .

The values of X_o computed with the above formula have been compared with the experimental values of X_o and the results are shown in tables as well as in diagrams for changing values of X_B and \bar{t}_c . The average deviation is less than 1,35% and is evenly distributed around the experimental values.

A computer program was derived to calculate the instantaneous efficiency of the collector η_{ta} , the instantaneous internal coefficient of performance of the system β_{ia} the instantaneous overall coefficient of performance of the system β_a , and the mean overall coefficient of performance of the system β_r . These calculations were made for various values of X_B , \bar{t}_c and for values of $Q_r > Q_B$. The results have been presented numerically as well as graphically as a function of the radiation energy Q_r .

The efficiency η_{ta} will be high at the beginning of radiation and then will decrease with rising collector temperature or with rising radiation energy Q_r . Under the assumption that the temperature across the collector changes linearly, the internal coefficient of performance β_{ia} will remain constant during condensation for a given value of X_B and \bar{t}_c . Since there is no condensation at the beginning of radiation, the overall coefficient of performance β_a will be zero. During the first hour of condensation the mass of the condensate water collected is the largest, thus causing β_a to reach a maximum value. β_a will then decrease as radiation continues and Q_r increases. Before condensation the mean overall coefficient of performance of the system β_r will be zero. Similarly at the beginning of condensation, β_r increases rapidly and reaches a maximum

value before dropping slowly with increasing Q_r .

It was observed that the efficiency of the collector η_{ta} and the coefficients of performance of the system β_a, β_r generally decreased when the initial water adsorption capacity of zeolite X_B was low or the mean condensation temperature \bar{t}_c was high. In a similar way the value of the radiation energy corresponding to maximum β_a and maximum β_r decreased when X_B was high or \bar{t}_c was low.

It is seen that using solar energy directly with the test collector, the best obtainable value for β_a is about 27% and for β_r is about 22%. Since β_{ia} is nearly constant during condensation for given values of X_B and \bar{t}_c , the rate of condensate water collected increases with the mean temperature of the collector ($\Delta m/\Delta \bar{t} \approx$ constant).

The effect of the air motion surrounding the experimental apparatus, the diffuse radiation and the variation in the room temperature were neglected during the measurements.

In order to show the effect of the decrease of the initial water adsorption capacity of the zeolite on the coefficients of performance of the system, the decrease in the instantaneous coefficient of performance β_a and the mean overall coefficient of performance β_r were expressed as ratios ϵ_a and ϵ_r . The relation between the radiation energy Q_r and these ratios are given in the form of tables as well as diagrams for different values of \bar{t}_c and for $X_B = 23,8\%$ and 23% . For the radiation energy $Q_r > Q_B$ and for all the three mean condensation temperatures \bar{t}_c investigated, it was seen that β_r becomes ~12% for $X_B = 23,8\%$ and ~27% for $X_B = 23\%$.

Finally it can be said that the lower the value of X_B the higher will be the decrease in the coefficients of performance, thus meaning that for better performance of

the system the zeolite must be brought to the saturation state at the beginning of the radiation phase.



SEMBOLLER

a	Angström bağıntısının katsayısı
a	Azaltma faktörü
A_C	Yutucu yüzey alanı (m^2)
b	Angström bağıntısının katsayısı
B	Formül katsayısı
B_{ad}	Adsorpsiyon için uygulanan Clapeyron bağıntısının katsayısı
B_O	Soğutucu akışkan için uygulanan Clapeyron bağıntısının katsayısı
C	Özgül ısı ($kJ/kg^{\circ}C$)
C_p	Sabit basınçta özgül ısı ($kJ/kg^{\circ}C$)
f	Düzelme faktörü
G	Ağırlık (kg)
H	Yatay birim düzleme düşen günlük tüm güneş ışınımı (kJ/m^2)
H_O	Atmosfer dışında yatay birim düzleme düşen günlük tüm ışınım (kJ/m^2)
H_S	Eğik birim düzleme düşen günlük tüm güneş ışınım (kJ/m^2)
I	İşinim şiddeti (W/m^2)
I_{sc}	Güneş sabiti (W/m^2)
I_{sco}	Ortalama dünya-güneş mesafesinde güneş sabiti (W/m^2)
k	Bağıntı katsayısı
k_t	Berraklık indeksi
k_u	Langmuir bağıntısının katsayısı
m	Optik hava kütlesi
m_v	Yoğun su hacmi (ml)
n	Molekül sayısı
n	Gün sayısı
n	Formül üssü olarak kullanılan sabit sayı
p	Basınç (kPa)
p_o	Doyma basıncı (kPa)
q_o	Toplayıcının özgül ısısı ($kJ/{\circ}C$)
q_x	Desorpsiyon ısısı ($kJ/kg \text{ adsorbet}$)
Q	İş enerjisi (kJ)
Q_a	Adsorpsiyon ısısı ($kJ/kg \text{ adsorbet}$)

Q_B	Yoğunmanın başlaması için toplayıcıya düşmesi gereken ışınım enerjisi (kJ)
Q_{Bt}	Yoğunmanın başlaması için teorik olarak toplayıcıya düşmesi gereken ışınım enerjisi (kJ)
Q_t	Toplayıcı ıslık kapasitesi (kJ)
Q_{td}	Toplayıcı ıslık kapasitesi ile desorpsiyon ısısının toplamı (kJ)
Q_1	İslık kayıpları (kJ)
Q_o	Buharlaşma gizli ısısı (kJ/kg)
Q_r	Toplayıcıya düşen ışınım enerjisi (kJ)
Q_u	Faydalı ısı enerjisi (kJ)
R	Gaz sabiti, üniversal (J/mol.K)
S	Düzlemin eğim açısı (derece)
t	Sıcaklık ($^{\circ}\text{C}$)
t_g	Güneşleme süresi (h)
t_o	Gündüz uzunluğu (h)
t_{ta}	Toplayıcı arka yüzey sıcaklığı ($^{\circ}\text{C}$)
t_{to}	Toplayıcı ön (yutucu) yüzey sıcaklığı ($^{\circ}\text{C}$)
T	Sıcaklık (K)
W	Yoğuturulabilir su buharı sütunu (mm)
X_o	Adsorpsiyon doyma kapasitesi
X_B	İşinlama başlangıcında zeolitin su adsorpsiyon kapasitesi
X_{BD}	İşinlama başlangıcında doymuş zeolitin su adsorpsiyon kapasitesi
Z	İşinlama süresi (h)
α	Yutma katsayısı (absorptans)
β	Soğutma etki katsayısı
β_{th}	Teorik soğutma etki katsayısı
β_a	Ani toplam soğutma etki katsayısı
β_{ia}	Ani iç soğutma etki katsayısı
β_r	Ortalama toplam soğutma etki katsayısı
γ	Azimut açısı (derece)
δ	Deklinasyon açısı (derece)

δ	Cam örtü kalınlığı (cm)
ΔZ_o	Işınlama başlangıcı ile zeolit sıcaklığının yükselmeye başladığı an arasındaki süre (h)
ΔZ_B	Zeolit sıcaklığının yükselmeye başladığı an ile yoğunlaşma başlangıcı arasındaki süre (h)
ΔZ_y	Yoğunluklu yüzeyin su damlacıkları ile örtülmesi için gereken süre (h)
ϵ	Neşretme oranı (emitans)
ϵ_a	Ani toplam soğutma etki katsayılarındaki düşme oranı
ϵ_r	Ortalama toplam soğutma etki katsayılarındaki düşme oranı
η_{ta}	Toplayıcı ani verimi
θ	Dolma oranı (degree of covering)
θ	Işinim düşüş açısı (derece)
θ_z	Zenit açısı (derece)
λ	Dalga boyu (μm)
ρ	Yansıtma oranı
σ	Stefan-Boltzman sabiti ($5,67 \cdot 10^{-8} \text{ W/K}^4 \text{ m}^2$)
σ	Adsorbe edilen moleküllerin sayısı
σ_o	Katı yüzeyi örten tek molekülü gaz tabakasındaki molekül sayısı
τ	Bekleme süresi (sec.)
τ	Geçirgenlik oranı
τ_a	Işinimin yutulmasından dolayı geçirgenlik oranı
τ_r	Işinim yansımاسından dolayı geçirgenlik oranı
\emptyset	Enlem açısı (derece)
ω	Saat açısı (derece)
ω_s	Güneş doğuş açısı (derece)
ω_{sl}	Eğik düzlem için güneş doğuş açısı (derece)

İNDİSLER

ad	Adsorpsiyon
adb	Adsorpsiyon başlangıcı
b	Direkt ışınım
c	Yoğuşturucu
d	Yaygın ışınım
ç	Çevre (ortam)
des	Desorpsiyon (yoğuşma)
desB	Desorpsiyon (yoğuşma) başlangıcı
D	Doymuş
e	Buharlaştırıcı
E	Doymamış
j	Toplayıcıda kullanılan malzeme sayısı
s	Soğutucu akışkan
Z	Adsorbent (zeolit)

1. GİRİŞ

Güneş enerjisi çok eskiden beri bilinen bir enerji kaynağıdır. İnsanoğlu bu enerjiyi, ilkin basit ve direkt olarak tahılların kurutulmasında ve suların ısıtılmasında kullanmıştır. Zamanla güneş ışınınından yararlanma yöntemleri geliştirilmiştir ve hatta buhar makinaları döneminde aynalar kullanılarak buhar elde edilmiş ve bir matbaa çalıştırılmıştır [1].

Diğer enerji kaynakları meyanında petrol enerjisi insan yaşantısının gerektirdiği ihtiyaçların hemen hemen tümünü ucuz ve kolay bir şekilde karşılamıştır. Ancak 1973'te büyük ölçüde artmaya başlayan petrol fiyatları karşısında yeni enerji kaynaklarının araştırılması ciddi bir şekilde ele alınmış ve özellikle güneş enerjisi dikkatleri üzerine çekmiştir.

Güneşin yerkabuğuna ulaşan enerjisi yaklaşık $1,2 \cdot 10^{12}$ GWh/yıl olur [2]. Bu enerji miktarının büyük olması, temiz olması, tükenmemesi, hemen her yerde bulunabilmesi, bakım masrafının az olması ve karmaşık bir teknolojiye gerek duymaması sebebiyle son zamanlarda güneş enerjisinden yararlanmak için yapılan araştırmalar yoğunlaşmıştır. Ancak güneş enerjisinden yararlanmadada iki güçlükle karşılaşılmaktadır. Birincisi, yeryüzüne düşen ışının zamana bağlı olarak değişmesi, ikincisi ise ışının şiddetinin düşük olmasıdır. Bu güçlüklerin giderilmesi için çeşitli araştırmalar yapılmaktadır.

Güneş enerjisinin ekonomik bir şekilde kullanılabilir enerji türüne dönüşmesinin sağlanması için kullanım yerinde yıl boyunca şiddet ve ışının periyodlarının bilinmesine gerek vardır. Ayrıca güneş ışınımı doğrudan doğruya kullanılabilir enerjiye çevrilmesi tercih edilmektedir [3, 4, 5, 6].

Genel olarak güneş enerjisi ile çalışan soğutma sistemleri, ısıtma sistemlerine nazaran daha karmaşık olduğundan daha yavaş gelişmektedir. Buna karşılık soğutma ihtiyacı, güneş ışınınının bol olduğu zamanlarda daha fazla olmak-

tadır. Bu durumda soğutmada güneş enerjisinden yararlanmak ısıtmaya nazaran daha uygun olur [7].

Soğutma işleminde, termodinamik çevrim gereğince, soğuk ortamdan (buharlaştırıcı) sıcak ortama (yoğunşturucu) ısı taşınmaktadır. Bu ısının taşınmasını sağlamak için, ya mekanik enerji (kompresyonlu çevrim) ya da ısı enerjisi (sorptionsiyonlu çevrim) kullanılabilir [5,8].

Günümüzde güneş enerjisi ile soğutmayı gerçekleştirmek için aşağıdaki yöntemler uygulanmaktadır [2,5,6,7,9,10].

- Güneş enerjisi mekanik işe dönüştürülerek kompresyonlu soğutma yapılması

- Fotovoltaik piller ile elektrik enerjisi üretecek kompresyonlu soğutma yapılması

- Güneş toplayıcısından elde edilen sıcak su ile jeneratörün ısıtılması ve absorpsiyonlu sistemle soğutma yapılması (Lityum bromid-Su, su-amonyak sistemleri gibi)

- Jeneratörde katı adsorbent kullanarak adsorpsiyonlu sistemle soğutma yapılması

Adsorpsiyonlu soğutma sistemi, katı-gaz çifti olarak alkali metal kloridleri-amonyak kullanılmak suretiyle 1920-1930 senelerinde Avrupa'da geliştirilmiştir [5]. Genellikle periyodik olarak çalışan böyle bir sistem adsorbenti ihtiyac eden bir jeneratör ile bir yoğunşturucu ve buharlaştırıcıdan oluşur ve sistem dışarıya karşı yalıtılmıştır. Jeneratöre ısı verilerek buhar (soğutucu akışkan) adsorbentten desorbe edilir ve sistemin basıncı yükselir. Bundan sonra buhar, yoğunşturucuda yoğunşturulur ve sıvı halde buharlaştırıcıda toplanır. Jeneratörün ısıtılması duruktan sonra sistem soğur ve basıncı düşer. Basınç buharlaşma basıncına düşünce, sıvı çevreden ısı çekerek buharlaşır ve katı adsorbent yeniden buhari emer [11,12]. Bu sistem günümüzde de basit olması nedeniyle güneş enerjisi tatbikatında yeniden önem kazanmaya başlamıştır. Ancak jeneratörün ısıtılması güneş ışınımlı ile yapılabilir.

Güneş enerjisinden yararlanarak ve çeşitli toplayıcılar vasıtası ile elde edilen ısı veya elektrik enerjisini kullanarak gerek mekanik soğutma ve gerekse adsorpsiyonlu soğutma yapılmasında toplam soğutma etki katsayısı β bir günde ortalama % 15 üzerine çıkamamaktadır. Bunun yerine adsorpsiyonlu soğutma sisteminde güneş toplayıcısı buhar jeneratörü olarak kullanıldığı zaman toplam soğutma etki katsayısı %15' in üzerine çıkabilemektedir. Adsorpsiyonlu sisteme güneşten başka bir ısı kaynağı kullanarak, jeneratör sıcaklığı 120-150°C yapıldığı zaman ve yoğunlaşma sıcaklığı 30°C olursa β %70-80'e kadar yükseltebilir. Halbuki ısı kaynağı olarak düz toplayıcı kullanılıncaya erişebilecek jeneratör sıcaklığı 90°C' nin altında olur. Ayrıca % 50 civarında bir toplayıcı verimi söz konusu olduğundan neticede soğutma etki katsayı % 15 düzeyinde kalır [5,7,13,14].

Adsorpsiyonlu soğutma sistemin diğer sistemlere nازaran daha etkili olması yanında bu sistemin yüksek yoğunlaşma sıcaklıklarında da soğutma etki katsayısının fazla azalmadığı görülür. Dolayısıyla sıcak iklimlerde adsorpsiyonlu sisteme hava ile soğutulan yoğunsturucu kullanılabilir. Ayrıca bu sisteme katı adsorbent, jeneratörde kaldığından pompaya dolayısiyle hareketli parçalara ihtiyaç göstermez. Neticede bakım masrafları ihmali edilebilecek derecede düşük olur [5, 8, 15, 16, 17, 18, 19].

Çalışmanın Amacı:

Adsorpsiyonlu soğutma sisteminin mekanizması karmaşık olduğundan olayı ifade etmek için kullanılan denklemlerin çözümü güç olmaktadır. Bu bakımından sistemin özelliklerini aydınlatmak için deneysel sonuçlardan yararlanılması gereklidir [16].

Güneş ışınımının zamana bağlı olarak değişmesi ve ışının bulutlardan ve rüzgar durumundan etkilenmesi laboratuvarlar dışında sistemin denemesini zorlaştırmaktır ve dolayısiyle pahalı bir tesisat gerektirmektedir. Bu nedenle güneş ışınımı ile ilgili olarak rasathanelerde toplanan ölçme ne-

ticelerini kullanarak yapay ışınlama ile güneş ışınımının simülasyonunu yapmak ve böylece deneyleri yürütmek daha uygun olmaktadır. Bu çalışmada da böyle bir yol takip edilmişdir.

Bu çalışmada tane halinde bulunan ZX-zeoliti adsorbent olarak kullanılmış ve periyodik adsorpsiyonlu bir soğutma sistemini geliştirmiştir. İstanbul için güneş ışınımının simülasyonu yapılarak sistemin çalışmasını ve çeşitli değişkenlerin soğutma etki katsayısı üzerindeki etkisini inlemek amaç edinilmiştir.

2. TEORİK ESASLAR

2.1. Giriş

Bu bölümde güneş enerjisi ile çalışan adsorpsiyonlu soğutma sistemleri teorik olarak ele alınacak ve uygulama bakımından en uygun çözüme ulaşabilmek için izlenmesi gereken yolun belirlenmesine çalışılacaktır. Bu amaçla önce güneş ışınımının özellikleri ve yutulma şekli ile sisteme ısı ve kütle transferini sağlayan adsorpsiyon olayına kısaca göz atılacak ve sistemin çalışma prensibi, adsorpsiyon çiftinin seçilmesi ve sistemin performansının değerlendirilmesi konularına değinilecektir.

2.2.1. Güneş Işınımını Etkileyen Faktörler

Güneş tarafından neşr olan ışınmlardan atmosfer dışında (ortalama dünya-güneş mesafesinde) bu ışınma dik düzümde bulunan birim düzleme düşen güneş ışınımı 1353 W/m^2 dir. Bu değer güneş sabiti adını alır ve I_{sco} ile gösterilir. Atmosfer dışındaki ışınımın yüzde 99 kadarının dalga boyu 0,2 ila 4 μm arasındadır, ve spektrum dağılımı 5762 K sıcaklığındaki siyah cismin spektrum dağılım eğrisine çok yakındır. Fakat yeryüzüne gelen güneş ışınımı miktarı ve dalga boyları genellikle aşağıdaki etkenlere bağlı olarak değişir:

- Yıl boyunca dünya güneş mesafesi değişir. Bu nedenle yazın,

$$I_{\text{sc}} = I_{\text{sco}} (1-0,03) \quad (2.1)$$

kışın ise,

$$I_{\text{sc}} = I_{\text{sco}} (1+0,03) \quad (2.2)$$

değerlerini alır.

- Güneş ışınımının geçtiği optik hava kütlesi m , zenit açısı Θ_z 'ye bağlıdır. $\Theta_z < 70^\circ$ için deniz seviyesinde,

$$m = 1/\cos \Theta_z \quad (2.3)$$

eşitliğine göre hesaplanır.

- Atmosferdeki hava molekülleri, su buharı ve tozların etkisiyle ışınım dağılır.

- Atmosferde, kırmızı ötesi ışınımın bir kısmı H_2O ve CO_2 , görülen ışınımın bir kısmı H_2O ve mor ötesi ışınımın bir kısmı da ozon tarafından yutulur.

- ışınım enerjisi, ışınımın düzleme düşüş açısı Θ 'ye bağlıdır. Θ ile, deklinasyon açısı δ , saat açısı ω , enlem açısı ϕ , azimut açısı γ ve düzlemin eğim açısı S arasında

$$\begin{aligned} \cos \Theta = & \sin \delta \cdot \sin \phi \cdot \cos S - \sin \delta \cdot \cos \phi \cdot \sin S \cdot \cos \gamma \\ & + \cos \delta \cdot \cos \phi \cdot \cos S \cdot \cos \omega + \cos \delta \cdot \sin \phi \cdot \sin S \cdot \cos \gamma \cdot \cos \omega \\ & + \cos \delta \cdot \sin S \cdot \sin \gamma \cdot \sin \omega \end{aligned} \quad (2.4)$$

bağıntısı bulunur.

- ışınım bulutlardan etkilenir.

- Çevreden olan yansımaya ışınımı etkiler.

Belirtilen bu etkenlerin hepsinin tesirini teorik olarak hesaplamak zordur. Bu sebeple, güneş ışınımı hesaplarında, daha çok, ölçülen güneş ışınımı verilerinden yararlanarak geliştirilen empirik bağıntılar kullanılır [20, 21, 22].

2.2.2. ışınım Enerjisinin Ölçülmesi

Yeryüzüne direkt olarak gelen güneş ışınımı H_b ile, yaygın olarak gelen güneş ışınımı H_d ile gösterilirse yatay yüzeye düşen tüm ışınım için,

$$H = H_b + H_d \quad (2.5)$$

eşitliği yazılabilir. Bu büyüklüklerin en emin bir şekilde belirlenmesi ölçmek ile olur. ışınım miktarını hesaplamak

icin verilen yöntemler de bu ölçmelere dayanır. Sözü geçen ölçmeleri yapan geliştirilmiş cihazların başlıcaları Piranometre (solarimetre) dir. Solarimetre ile toplam ışınım enerjisi ölçüldüğü gibi, gölgede yaygın ışınım enerjisi de ölçülür. Pirheliometre ise, yalnız direkt ışınım enerjisini ölçülmesinde kullanılır. Genellikle bu ölçmeler yatay yüzey için gerçekleştirir. Özel hallerde eğik yüzeylerde ölçme yapmak ta mümkündür [23].

2.2.3. Güneş Işınımının Tesbiti

Genellikle yatay düzleme düşen tüm ve direkt güneş ışınım değerleri, uzun yıllar yapılan ölçmelerde elde edilen değerlerini ortalamasından yararlanarak bulunur. Bu değerlerle dayanarak gün boyunca ve yıl boyunca ışınımın değişimi veren çok sayıda bağıntı geliştirilmiştir. Ölçüm yapılmayan yerlerde benzer özellikleri haiz yerler için bulunan bağıntılar kullanılabilir.

Pratikte, birim yatay düzleme düşen anlık ışınım şiddetti değerleri veya daha çok, aylık ortalamaları esas alan gün boyunca birim yatay düzleme düşen toplam ışınım değerleri kullanılır. Örneğin, İstanbul için 23 Haziran 1982 gününde saatlik tüm ışınım değerleri (I ışınım şiddeti) (Tablo 2.1)'de, 1982 yılı boyunca aylık ortalama esasına göre günlük tüm ışınım değerleri ise (Tablo 2.2)'de verilmiştir. Pratik olarak anlık tüm güneş ışınımı, günlük toplam tüm güneş ışınımını kullanarak hesaplanır. Eğer anlık ışınım şiddetinin gün boyunca değişimi bilinirse integral yolu ile günlük ışınım hesaplanabilir [21,24].

2.2.4. Eğik Düzleme Düşen Günlük Işınım

Eğik düzleme düşen ışınım, yatay düzleme düşen direkt ve yaygın ışınım değerlerine, gözüne alınacak güneş açılarına, enlem açısına ve düzlemin eğim açısına bağlı olarak hesaplanır. Düzlemin gün boyunca yutabileceği ışınım enerji-

Tablo 2.1
İstanbul için 23 Haziran 1982 gününde
saatlik tüm ışınım şiddeti [24].

Saat	4-5	5-6	6-7	7-8	8-9	9-10	10-11	11-12
I(Cal/cm ² h)	0	2	12	27	39	47	55	60

Saat	12-13	13-14	14-15	15-16	16-17	17-18	18-19	19-20
I(Cal/cm ² h)	62	61	55	49	40	28	17	6

Tablo 2.2
İstanbul için 1982 yılında günlük tüm ışınım [24].

Ay	1	2	3	4	5	6
H(Cal/cm ² gün)	93	129	199	276	377	471

Ay	7	8	9	10	11	12
H(Cal/cm ² gün)	430	370	305	183	124	75

sini maksimum yapmak için düzlem güneşe ($\gamma=0$) yöneltir.

Yeryüzünde bulunan ve yatay ile S açısı yapan güneşe yönlendirilmiş bir düzlemin birim alanına gelen günlük tüm ışınım miktarı H_s ile gösterilirse,

$$H_s = H_{sb} + H_d \left(\frac{1+\cos S}{2} \right) + H\rho \left(\frac{1-\cos S}{2} \right) \quad (2.6)$$

bağıntısı yazılabilir.

Bu bağıntıdaki birim eğik düzleme gelen günlük direkt ışınım miktarı H_{sb}

$$H_{sb} = H_b \cdot \bar{R}_b \quad (2.7)$$

ile hesaplanır. Burada H_b yatay düzlemin birim alanına gelen günlük direkt ışınımının değeri olup aylık ölçmelerin ortalaması olarak alınır veya mevcut bağıntılar ile hesaplanır H_b 'nin hesaplanması için

$$H_b = \frac{t}{t_o} H_o [0,6714 - 0,00423 W + 0,223 \ln \cos(\phi - \delta)] \quad (2.8)$$

şeklindeki bir empirik bağıntı kullanılabilir [25]. Bu bağıntıda t güneşleme süresi, $W(\text{mm})$ yoğunşturulabilir su buharı sütunu olur. Aynı bağıntıda δ , deklinasyon açısı olup 1. Ocaktan itibaren gün sayısı n 'ye bağlı olarak

$$\delta = 23,45 \sin [360 \frac{284 + n}{365}] \quad (2.9)$$

ile hesaplanır. (2.8) bağıntısındaki t_o ise, gündüz uzunluğu olup güneş batış (doğuş) açısı ω_s 'yi derece cinsinden

$$\omega_s = \arccos [-\tan \phi \cdot \tan \delta] \quad (2.10)$$

kullanarak

$$t_o = \frac{2}{15} \omega_s \quad (2.11)$$

eşitliğinden saat cinsinden bulunur. H_o da atmosfer dışında yatay birim düzleme gelen günlük tüm ışınımıdır ve aşağıdaki bağıntı ile hesaplanır:

$$H_o = \frac{24}{\pi} I_{SCO} f [\cos \phi \cos \delta \sin \omega_s + \frac{2\pi}{360} \omega_s \sin \phi \sin \delta] \quad (2.12)$$

Bu bağıntıdaki f düzeltme faktörü

$$f = 1 + 0,033 \cos (\frac{360}{365} n) \quad (2.13)$$

eşitliği ile hesaplanır. (2.7) bağıntısındaki \bar{R}_b faktörünü hesaplamak için

$$\bar{R}_b = \frac{\cos(\phi - S) \cos \delta \sin \omega_{sl} + \frac{1}{180} \omega_{sl} \sin(\phi - S) \sin \delta}{\cos \phi \cos \delta \sin \omega_s + \frac{1}{180} \omega_s \sin \phi \sin \delta} \quad (2.14)$$

bağıntısı kullanılır [3]. Burada eğik düzlem için batış açısı ω_{sl}

$$\omega_{sl} = \min (\omega_s, \omega_s^*)$$

ile bulunur. Burada ω_s , (2.10) bağıntısı ω_s^*

$$\omega_s^* = \arccos [-\tan(\phi - S) \cdot \tan \delta] \quad (2.15)$$

bağıntısı ile hesaplanır.

Yatay düzleme gelen aylık ortalama günlük tüm güneş ışınımı H , ölçülen değerlerden veya mevcut empirik bağıntılardan bulunur. Bu bağıntılar içinde en yaygını,

$$H = H_o \left(a + b \frac{t}{t_o} \right) \quad (2.16)$$

eşitliği ile verilen Angström bağıntısıdır. Burada a ve b söz konusu bölgeye bağlı sabitlerdir. H/H_o oranına berraklık indeksi denir ve k_t ile gösterilir.

Yatay düzleme gelen yaygın ışınım, H ve H_b 'nın hesaplanan değerlerinin farkı alınarak veya Page bağıntısı kullanılarak bulunur. Page, yaygın ışınımın berraklık indeksi ile değişimini,

$$H_d = H (1 - 1,13 k_t) \quad (2.17)$$

eşitliği ile vermiştir. (2.6) bağıntısındaki ρ ise, çevrenin yansıtma oranı olup, bitki örtüsüne, topografik yapıya ve kar durumuna bağlı olarak değişir [20, 21, 23].

2.2.5. Güneş Toplayıcısı

Güneş ışınımından yararlanmanın en basit şekli sabit düzlemsel toplayıcılar kullanımı olur. Pratikte toplayıcının optimum azimut açısı γ sıfır ve eğim açısı $S = \phi$ olarak alınır. Ayrıca toplayıcının eğim açısı yazın $S = \phi - (10^\circ \text{ ila } 15^\circ)$ kışın

ise $S=0+(10^\circ \text{ ila } 15^\circ)$ alınırsa daha fazla ışınım yutulması sağlanır. Bir düz toplayıcı genellikle aşağıdaki kısımlardan ibarettir [20,21].

- Güneş ışınımı geçiren ve ısıl kayıpları azaltan saydam örtü,
- ışınımı yutan siyah boyalı (yutucu) düz madeni levha,
- Isıtılacak madde (yutucu levhanın arkasında tutulur),
- Dış ortamdan muhafaza eden bir yalıtım tabaka (kaşa).

2.2.6. Saydam Örtünün Geçirgenliği

Toplayıcıda kullanılan saydam örtünün (camın) vazifesi ışınımı yutmadan geçirmek ve aynı zamanda yutucu yüzeyin dış ortama ısı kaybını azaltmaktadır.

Saydam örtüden geçen ışınım şiddeti, yansima ve yutulma sebebiyle azalır. Neticede geçirgenlik oranı, basit olarak

$$\tau = \tau_r \cdot \tau_a \quad (2.18)$$

şeklindeki bağıntı ile hesaplanır.

Sadyam örtünün iki yüzeyi arasındaki yansımadan sonra geçen ışınım oranını belirten τ_r , iki yüzün yansima oranlarına bağlıdır. Aynı ortamda (havada) bulunan örtü için, her iki yüzeye yansima oranı ρ aynı değeri alacağından

$$\tau_r = \frac{1 - \rho}{1 + \rho} \quad (2.19)$$

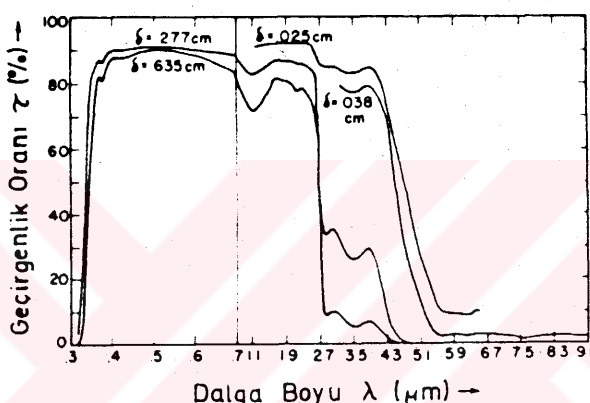
bulunur.

İşinim δ aralığında ve azaltma katsayısı a olan bir tabakadan geçen τ_a oranında yutulur ve,

$$\tau_a = e^{-a\delta} \quad (2.20)$$

eşitliği yardımı ile hesaplanır.

Gerçekte τ , kırılma indisi n ve azaltma katsayısı α 'nın fonksiyonu olduğundan aynı zamanda λ 'nın da fonksiyonu olur. Örnek olarak demir oksit oranı 0,1 olan bir cam için geçirgenlik oranı τ 'nun dalga boyu λ 'ya bağlı olarak değişimi (Şek. 2.1)' de verilmiştir. Görüldüğü gibi camlar genellikle güneş ışınımını büyük oranda geçirirken, yüksek dalga boyundaki ışınım camdan geçmez [20].



Şek. 2.1: Demir oksit oranı 0,1 olan bir cama ait geçirgenlik oranı τ 'nun dalga boyu λ 'ya bağlı olarak değişmesi [20].

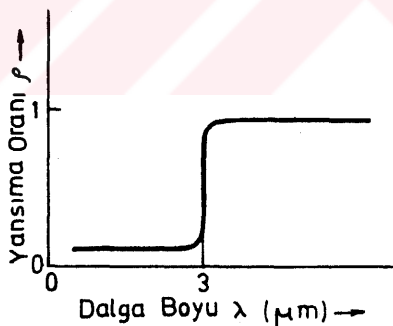
2.2.7. Yutucu Yüzey

Saydam olmayan bir yüzeye düşen belirli dalga boyundaki ışınımın bir kısmı yutulur diğer kısmı ise yansır. Yutulan ışınım şiddetinin düşen ışınım şiddetine oranı, bu yüzeyin yutma katsayısı ϵ ile ifade edilir. Bu katsayı, yüzeyin özelliğine ve düşen ışınımın dalga boyuna ve geliş açısına bağlıdır. Neşretme oranı ϵ ise, yüzeyden belirli bir sıcaklıkta neşrolan ışınım şiddetinin aynı sıcaklıklıtı sılaha cismin neşettiği ışınım şiddetine oranıdır. Bu oran yüzey durumuna, sıcaklığına ve ışınımın yönüne bağlıdır. Aynı şekilde yansyan ışınım şiddetinin düşen ışınım şiddetine oranı yü-

zeyin yansımıma oranı ρ ile gösterilir. Yansımıma oranı, yüzeyin durumuna ve düşen ışınımının dalga boyu ile yönüne bağlıdır. Kirchhoff kanununa göre, ıslıl denge halinde, belirli bir dalga boyunda ve belirli bir yöndeki ışınım için yüzeyin yutma ve neşretme oranları birbirine eşittir.

Siyah boyaların güneş ışınımını yutma oranı yüksek olduğu gibi ($20 + 120^{\circ}\text{C}$) sıcaklıklarında ışınım neşretme oranları da (uzun dalga boylu ışınım yutuculuğu) büyütür. Örneğin, mat siyah boyanın normal doğrultuda yutma oranı 0,94-0,98, ve neşretme oranı 0,88 dir. İzin normal doğrultuda yutma oranı ise 0,98 ve neşretme oranı 0,95 dir.

Toplayıcının yutucu levhasına düşen güneş ışınımını en büyük oranda toplamak için, levhanın yutuculuğu yüksek ve neşrediciliği düşük olmalıdır. Yani dalga boyları $0,3-3 \mu\text{m}$ olan güneş ışınımı büyük oranda levha tarafından yutulmalı ve levhanın bulunduğu sıcaklık sınırları içinde $3 \mu\text{m}'\text{den}\text{ }b\ddot{u}\text{yük dalga boyunda neşrolan ışınım minimum olmalıdır.}$



Şek. 2.2: İdeal bir yutucu yüzeyin yansımıma oranı ρ .

Güneş ışınımını büyük oranda yutan ve kendi sıcaklığında az ışınım neşreden yüzeye seçici yüzey denir. Başka bir deyimle ideal bir yutucu levhanın $0,3 \mu\text{m}$ dalga boyalarında yansımıma oranı ρ sıfıra yakın ve $3 \mu\text{m}'\text{den}\text{ }b\ddot{u}\text{yük dalga boyalarında da 1'e}\text{ }yakın\text{ olmalıdır. Dolayısıyle (Şek. 2.2)'de}$

görüldüğü gibi yüzeye dik ışınım ve $\lambda < 3 \mu\text{m}$ için α 'nın bire ve $\lambda > 3 \mu\text{m}$ için ϵ 'un sıfıra gittiği görülür. Pratikte α/ϵ büyülüğüne seçicilik oranı adı verilir. Bu oran pratikte ancak 13'e kadar yükselebilir yalnız yapılan seçici yüzeylerde neşretme oranı düşerken, yutma oranı da kısmen düşer ve dolayısıyla α/ϵ oranının büyülüğu çoğu zaman seçici yüzeyin daha iyi olduğunu belirtmez. Diğer taraftan seçici yüzeyler dayanıklı değildir [20,21,22,26].

2.2.8. Geçirgenlik-Yutuculuk Oranı

Saydam örtüden geçen ışınım levha tarafından α oranında yutulur. $(1-\alpha)$ oranında kalan kısım ise örtüye yansır ve örtü tarafından tekrar yaygın ışınım olarak ρ_d oranında levha'ya gönderilir. Bu işlem böylece tekrarlanır. Neticede cam örtüden geçen ve gerçekte levha tarafından yutulan ışınım için aşağıdaki geçirgenlik-yutuculuk oranı gösterilir.

$$(ta) = \frac{\tau\alpha}{1 - (1-\alpha)\rho_d} \quad (2.21)$$

Yüzey alanı A_c olan bir yutucu levhanın yuttuğu direkt ve yaygın ışınımının toplamı, faydalı ısı Q_u , toplayıcının ışınmasına harcanan Q_t ısısı ve çevreye kayıp edilen Q_1 ısılарının toplamına eşit olup,

$$A_c \{ [H_s(ta)]_b + [H_s(ta)]_d \} = Q_u + Q_t + Q_1 \quad (2.22)$$

eşitliği yazılır [20].

2.3. Adsorpsiyon

Gaz moleküllerinin bir katı yüzey tarafından kimyasal bileşim teşkil etmeden, yutulması olayına adsorpsiyon denir. Adsorbe edilen gaza adsorbet, adsorbe eden katı yüzeye adsorbent denir.

Adsorpsiyon olayı tabiatta ve birçok bilim dalında önemli rol oynar. Adsorbent, soğutma tekniğinde de soğutucu akışkanı sıcaklığa bağlı olarak emen ve geriye veren bir pompa vazifesi görür.

Adsorbe edilen gazın kütlesi gazın cinsine, olaydaki sıcaklığı, basıncı ve adsorbentin yapısına bağlıdır [8, 27, 28].

2.3.1. Adsorpsiyon İzoterm Bağıntısı

Adsorpsiyon izoterm bağıntısını elde edilmesinde: katı yüzeyin (adsorbentin) 1 cm^2 serbest alanına 1 saniyede n molekül çarptığı, çarpan moleküllerin bir kısmının hızlarının sıfıra düşüğü ve kinetik enerjilerinin Q_a adsorpsiyon ısısına dönüştüğü ve burada τ saniye kadar kaldıkten sonra buharlaşlığı ve moleküllerin diğer kısmı ise elastik olarak yansıldığı varsayılmıştır. Buna göre denge durumunda yüzeye düşen moleküllerin sayısı aynı yüzeyden buharlaşan moleküllerin sayısına eşit olur ve katı yüzey üzerindeki gazın konstantransiyonu artar. Böylece gazın denge durumu yüzeyin denge şartlarındaki doyma durumuna tekabül eder. Ayrıca gazların adsorpsiyon ısları buharlaşma gizli ısları mertebede olduğundan, gaz molekülünyü yüzeye bağlayan kuvvet, sıvı haldeki molekülleri birbirine bağlayan Van der Waals kuvvetleri mertebesinde olur.

Bundan ayrı olarak Langmuir, yüzeyin tümünü tek molekül kalınlığındaki bir gaz tabakası ile örtecek molekül sayısı σ_0 olduğunu ve daha önce adsorbe edilen moleküllerin üzerine düşen yeni moleküllerin adsorbe edilmeden yansındığını kabul etmiş ve 1 cm^2 de bulunan (adsorbe edilen) moleküllerin sayısını veren

$$\sigma = n \left(1 - \frac{\sigma}{\sigma_0}\right) \tau \quad (2.23)$$

bağıntısından hareketle kendi adı ile anılan

$$\Theta = \frac{\sigma}{\sigma_0} = \frac{k_u p}{1+k_u p} \quad (2.24)$$

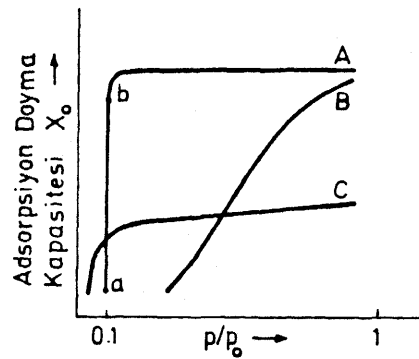
Şeklindeki adsorpsiyon izoterm bağıntısını elde etmiştir. Bu bağıntıda Θ dolma oranı (degree of covering) ve p gazın basıncıdır. k_u katsayısı ise çiftin özelliğinin ve yüzey sıcaklığının bir fonksiyonudur.

Bazı çiftler için ve yüksek basınçlarda Langmuir'in bağıntısı ile hesaplanan Θ değerleri deneyel olarak elde edilen izotermelere uymaz. Çünkü gerçekte adsorpsiyon olayında yüzey üzerinde birden fazla molekül tabakası teşekkül eder ve bu molekül tabaka sayısı gözenekli cisimlerde kanal çapı ile sınırlıdır. Dolayısıyla gerçege daha iyi yansitan ve daha yüksek basınçlarda da geçerli olacak hipotezlere gerek duyulmuş ve bu yönde çalışmalar yapılmıştır [27,28].

2.3.2. Gerçek Adsorpsiyon İzotermleri

Güneş enerjisi tatbikatlarında rastlanan adsorbentlerin gerçek adsorpsiyon izotermeleri ancak deney yolu ile bulunur. Ayrıca pratikte, dolma oranı Θ yerine, adsorbentin belirli bir denge durumuna tekabül eden adsorpsiyon doyma kapasitesi kullanılır. Adsorpsiyon doyma kapasitesi adsorbe edilen gazın ağırlığının adsorbentin ağırlığına oranıdır ve X_0 ile gösterilir. Güneş enerjisi açısından adsorbentlerin adsorpsiyon izotermelerini iki grupta toplamak mümkündür (Şek. 2.3)'te görülen B eğrisi, silikajel ve bazı karbonlar gibi adsorbentlerin örnek izoterm eğrilerini gösterir. C eğrisi ise zeolitlerin örnek izoterm eğrilerini göstermektedir. Adsorbentlerin izotermeleri adsorbentin yapısına ve içindeki kılcal ağına bağlıdır. Silikajel ve aktif kömür gibi adsorbentlerin gözenek boyutları $10A^{\circ}$ - $1000A^{\circ}$ gibi çok geniş sınırlar içinde değişirken, farklı zeolitin kristal yapısına bağlı olarak, $3A^{\circ}$ ile $10A^{\circ}$ sınırları içinde tek bir kanal çapı vardır. Bu nedenle zeolitlere moleküller elekler (sieves) denilmektedir. (Şek. 2.3)' te görüldüğü gibi zeolitlerin düşük basınçlardaki adsorpsiyon doyma kapasitesi di-

ğer adsorbentlere nazaran daha büyük olmaktadır.



Şek. 2.3: Adsorpsiyon izotermleri örnekleri.

Doymamış bir adsorbentin adsorpsion kapasitesinin birim zamandaki artma miktarına adsorpsiyon hızı, doymamış bir adsorbentin belirli koşullarda doyuma durumuna erişmesi için geçen zamana da adsorpsiyon süresi denir [8,16,29] .

2.3.3. Adsorpsiyon Isısı

Kuru bir katı yüzeyde ilk adsorbe edilen moleküller, maksimum, en son adsorbe edilen moleküller ise minimum adsorpsiyon ısısı verirler. Dolayısıyla adsorpsiyon ısısı, adsorbe edilen moleküllerin sayısına yani adsorpsiyon doyuma kapasitesine bağlı olur.

Adsorbe edilen gaz moleküllerinin sayısı sabit tutulduğunda basıncın sıcaklığa bağlı olarak değiştmesini veren eğrilere izoster eğrileri adı verilir. Bu eğriler,

$$p = k \sqrt{T} \cdot e^{-Q_{izos}/RT} \quad (2.25)$$

izoster bağıntısı yardımcı ile elde edilirler. burada k , adsorbe edilen moleküllerin sayısına bağlı bir katsayı, R gaz sabiti ve Q_{izos} ise izoster adsorpsiyon ısısı olur. \sqrt{T} 'in te-

siri e'nin kuvveti yanında ihmal edilebilirse izoster bağıntısı

$$\ln p = - \frac{Q_{izos}}{RT} + B_{ad} \quad (2,26)$$

şekline dönüşür. (2.26) bağıntısına göre p , $1/T$ 'nin lineer bir fonksiyonu olur ve buhar basıncı doğrusunun eğimi Q_{izos} izosterik adsorpsiyon ısısını verir.

Diğer yönden gazın sıvısı ile dengede bulunduğu (doyma hali için) basınç ile sıcaklık arasında

$$\ln p_o = - \frac{Q_o}{RT} + B_o \quad (2.27)$$

bağıntısı geçerlidir. burada Q_o buharlaşma gizli ısısı olup B_o sabit bir sayıdır.

Görüldüğü gibi her iki denge mekanizmasının birbirlerine benzemesi neticesinde elde edilen bağıntılar da birbirlerine benzemekte ve her iki hale de Clapeyron bağıntısı uygulanabilmektedir.

Temiz (kuru) bir yüzey tarafından adsorbe edilen əsaya molekül Q_{int} integral adsorpsiyon ısısını vererek yüzeyin sıcaklığını yükseltir. Diğer taraftan belirli bir sıcaklıkta bir molekülün verdiği difransiyel adsorpsiyon ıısı

$$Q_{dif} = \left(\frac{dQ_{int}}{d\sigma} \right)_T \quad (2.28)$$

eşitliği ile bulunur.

Adsorpsiyon ıısı kalorimetre ile ölçülürken sıcaklık sabit tutulduğundan Q_{dif} 'e ilave olarak RT kadar iş harcamaktadır. Dolayısıyle

$$Q_{izot} = Q_{dif} + RT \quad (2.29)$$

eşitliği yazılabilir. RT değeri Q_{izot} 'ye kıyasla küçüktür. Bir kalorimetre yardımcı ile ölçülen adsorpsiyon ıısı Q_a , Q_{izot} ile Q_{dif} arasında bir değer alır. Diğer taraftan

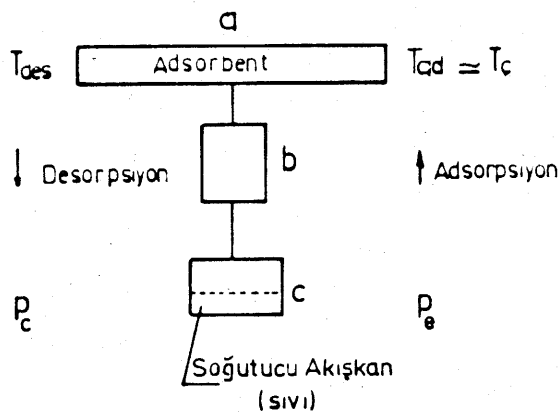
termodynamikten bilindiği gibi izoster adsorpsiyon ısısının izoterm adsorpsiyon ısısına eşit olduğu ve diferansiyel adsorpsiyon ısısının adsorpsiyon antalpisine eşit olduğu ispatlanmıştır. Bu çalışmada kalorimetre ile ölçülen Q_a değerleri kullanılacaktır [28].

2.3.4. Desorpsiyon

Herhangi bir adsorbentin adsorpsiyon izotermeleri incelenirse, düşük sıcaklıklarda adsorbe ettiği gaz ağırlığının (adsorpsiyon doyma kapasitesinin) yüksek sıcaklıklarda kine nazaran daha fazla olduğu görülebilir. Buna göre adsorbe edilen gaz moleküllerini geri vermesi için, adsorbenti ısıtmak yani adsorpsiyon ısısını adsorbente geri vermek gereklidir. Gazın basıncının düşmesi ile benzer netice elde etmek mümkündür. Fakat genel olarak adsorpsiyon doyma kapasitesinin sıcaklığa bağlı olarak değişmesi, basınçla bağlı olarak değişmesine nazaran çok daha hızlıdır ve ısıtma yolu pompalamaya nazaran daha kolaydır. Bu nedenle pratikte adsorbentler ısıtılarak adsorpsiyon kapasiteleri düşürülür ve buhar elde edilir. Buharın hem ısıtma hem de basıncın düşürülmesi yolu ile elde edildiği uygulamalar da mevcuttur. Adsorbentlerin adsorpsiyon doyma kapasitelerinin düşürülmesi ile buhar (gaz) elde etme işlemeye desorpsiyon denir. Bu çalışmada adsorbent güneş ışınımı ile ısıtılarak düşük basınçlar da desorpsiyon yapılmıştır [15,16,28].

2.4. Periyodik Adsorpsiyonlu Soğutma Makinası

(Şek. 2.4)' te görülen hermetik sistem içersinde adsorbent ile adsorbetin denge halinde bulunduğu varsayıyalım. a jeneratörü içersinde T_c sıcaklığında ve P_e basıncında olan soğutucu akışkan (adsorbet) ile doymuş halde bulunan adsorbent ısıtılrsa (örneğin güneş ışınımı ile) sıcaklığı T_{desB} değerine (desorpsiyon başlangıç sıcaklığına) ulaşır ulaşmaz



Sek. 2.4: Periyodik adsorpsiyonlu soğutma makinası çalışma şeması.

yoğuşma başlar. Bu sırada basınc p_e değerinden p_c değerine (yoğuşturucu basıncına) yükselir. p_c basıncı sabit tutularak ısıtma işlemeye devam edilirse adsorbent sıcaklığı (desorpsiyon sıcaklığı) T_{des} artar. p_c basıncında ve T_{des} sıcaklığında bulunan buhar b yoğuşturucusu içersinde yoğunşurulur ve elde edilen sıvı c kabı (buharlaştırıcı) içersinde toplanır. Soğutmanın gerçekleşebilmesi için buharlaştırıcı içersinde toplanan sıvının buharlaşması ve elde edilen gazların yeniden adsorbent tarafından adsorbe edilmesi gerekmektedir. Bunun için adsorbentin sıcaklığı T_{des} değerinden T_{adB} değerine (adsorpsiyon başlangıç sıcaklığına) düşürülür. (örneğin güneşin batması ile jeneratörün soğuması). Sicaklıkta meydana gelen bu düşme basıncın p_c değerinden p_e değerine düşmesi ile sonuçlanır ve buharlaştırıcı içersinde buharlaşma başlar. Buharlaşma ısısı soğutulması istenilen ortamdan çekilir. Gazın adsorbent tarafından adsorbe edilmesi sırasında açığa çıkan adsorpsiyon ısısının sürekli atmosfere iletilmesi, bunun için jeneratörün bu süre içersinde iyi bir şekilde soğutulması gerekmektedir. Bunun için çeşitli

yöntemler kullanılabilir. Yeteri kadar beklenirse adsorbent ortam sıcaklığında ve p_e basıncında soğutucu akışkanla doymuş hale gelir ve çevrim tamamlanır.

T_{desB} ve T_{adB} sıcaklıklarını tesbit etmek amacıyla desorpsiyon ve adsorpsiyon safhaları için

$$d \ln p = Q_a \frac{dT}{RT^2} \quad (2.30)$$

Clapeyron bağıntısı adsorbent ile soğutucu akışkana uygulanır. Bu desorpsiyon safhası için yapılırsa

$$d \ln p = \frac{Q_a}{R} \int_{T_\zeta}^{T_{desB}} \frac{dT}{T^2} \quad (2.31)$$

ve

$$d \ln p_o = \frac{Q_o}{R} \int_{T_e}^{T_c} \frac{dT}{T^2} \quad (2.32)$$

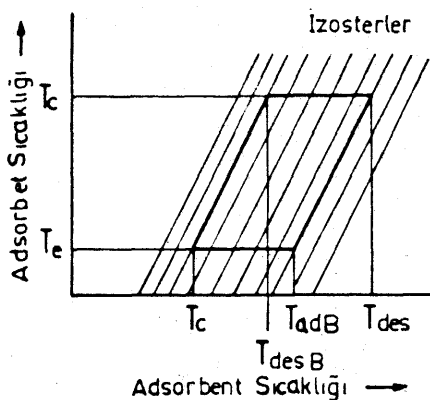
elde edilir. Aynı kap içersinde denge halinde bulunan adsorbent ile soğutucu akışkanın basınçları birbirine eşit ($p=p_o$) olur.

Dolayısıyla (2.31) ve (2.32) bağıntılarından

$$Q_a \left(\frac{1}{T_\zeta} - \frac{1}{T_{desB}} \right) = Q_o \left(\frac{1}{T_e} - \frac{1}{T_c} \right) \quad (2.33)$$

elde edilir.

(Şek. 2.5)' ten kolayca görüldüğü gibi adsorbentin sıcaklığı T_{desB} sıcaklığının üzerine çıkarsa adsorbent üzerindeki soğutucu akışkan (adsorbet) T_c sıcaklığında yoğunur ve adsorbentin adsorpsiyon doyma kapasitesi düşer.



Şek. 2.5: Soğutucu akışkan (Adsorbet) doyma sıcaklığının çevrim boyunca adsorbent sıcaklığına bağlı olarak değişmesi.

Clapeyron bağıntısı adsorpsiyon safhasına uygulanırsa benzer şekilde

$$Q_a \left(\frac{1}{T_{adB}} - \frac{1}{T_{des}} \right) = Q_o \left(\frac{1}{T_e} - \frac{1}{T_c} \right) \quad (2.34)$$

elde edilir. (2.34) bağıntısından adsorbentin adsorpsiyona başladığı T_{adB} sıcaklığı elde edilir [8,11,12].

2.5. Adsorpsiyon Çiftinin Seçilmesi

Adsorpsiyonlu soğutma sisteminde belirli çalışma koşullarında kullanılacak en uygun adsorbentin ve soğutucu akışkanın seçilmesi için aşağıdaki yöntem uygulanır.

Denge durumunda bulunan bir adsorpsiyon çiftinde T_s sıcaklığında sıvı haldeki soğutucu akışkanın basıncı p , ve adsorbent sıcaklığı T_z 'ye tekabül eden soğutucu akışkanın doyma basıncı p_o 'yu Clapeyron bağıntısına yerleştirince

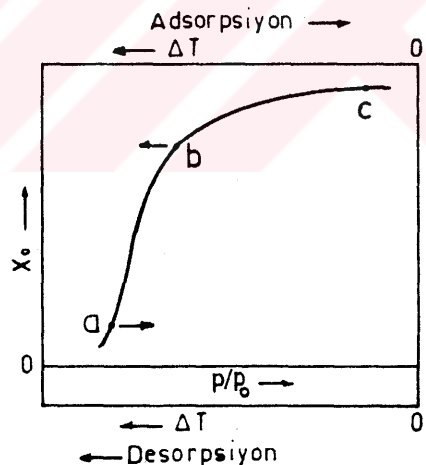
$$\ln \frac{p}{p_o} = - \frac{Q_o}{R} \frac{\Delta T}{T_z T_s} \quad (2.35)$$

elde edilir. Burada

$$\Delta T = T_z - T_s \quad (2.36)$$

tır. Görüldüğü gibi soğutucu akışkanın buharlaşma gizli ısısı Q_o ne kadar küçük ise adsorbent sıcaklığı ile sıvı haldeki soğutucu akışkan sıcaklığı arasındaki fark o kadar büyük olmaktadır. Bu taktirde adsorpsiyon daha yüksek ortam sıcaklığında gerçekleşebilir. Buna karşılık desorpsiyon (yoğuşma) için daha yüksek desorpsiyon sıcaklıkları gereklidir.

Bir çiftin adsorpsiyon doyma kapasitesi X_o , p/p_o oranına bağlı olarak (Şek. 2.6)'daki adsorpsiyon eğrisi ile gösterilir. Bu diyagramda p/p_o ekseni aynı zamanda (2.35) bağıntısına göre ΔT 'nin bir ölçüsüdür. Böylece verilmiş bir T_e ve $T_c = T_{\zeta}$ sıcaklık çifti için uygun adsorbentin seçilmesi mümkün olur. (Şek. 2.6)' da görüldüğü gibi adsorpsiyon (so-



Şek. 2.6: Adsorpsiyon doyma kapasitesinin sıvı soğutucu akışkan (adsorbet) sıcaklığı ve adsorbent sıcaklığı arasındaki farka bağlı olarak değişmesi.

ğutma) başında $\Delta T = T_{adB} - T_e$ eşitliği ile verilen ΔT değerleri zamanla azalarak $\Delta T = T_c - T_e$ değerine yaklaşır. İdeal bir adsorbent için adsorpsiyon (sogutma) esnasında doyma kapasitesi büyük olmalıdır. Bu da adsorpsiyon eğrisi üzerindeki b noktasının ΔT 'nin büyük değerlerine yaklaşmasını gerektirir. Aksi taktirde sistemin adsorpsiyon (soğutma) işlemeye başlayabilmesi için adsorbentin (jeneratörün) daha düşük sıcaklıklara soğutulması icap eder, bu da ortam sıcaklığının daha düşük olmasını gerektirir. Desorpsiyon (yoğuşma) safhasında ΔT , $\Delta T = T_{desB} - T_c$ değerinden başlayarak sürekli olarak artar. Yoğuşmanın mümkün olduğu kadar erken başlayabilmesi için $\Delta T = T_{desB} - T_c$ değerinin küçük olması istenir, bu da adsorpsiyon eğrisi üzerindeki a noktasının ΔT 'nin küçük değerlerine yaklaşmasını gerektirir. Ayrıca soğutma safhasında soğutucu akışkanın adsorbent tarafından hızla ve büyük miktarda adsorbe edebilmesi için b noktasının, X_o 'ın büyük değerlerine yükselmesi gerekir. Diğer taraftan basıncın desorpsiyona etkilememesi için adsorpsiyon eğrisinin bc kısmının doğrusal olması gerekir [18].

2.6. Güneş Enerjisi İle Çalışan Adsorpsiyonlu Soğutma Sisteminde Toplayıcı Verimi Ve Sistemin Soğutma Etki Katsayıısı

(Bölüm 2.4)'te izah edilen basit periyodik adsorpsiyonlu soğutma sisteminde jeneratörün ısıtılması sonucu serbest kalan soğutucu akışkanın yoğuşup kaptı (buharlaştırıcıda) toplanması sistemin çalışmasının bir safhasını teşkil eder. Kaptaki (buharlaştırıcındaki) toplanan sıvı soğutucu akışkanın buharlaşarak adsorbent tarafından adsorbe edilmesi sonucu soğutma yapılması sistemin çalışmasının diğer safhasını (adsorpsiyon veya soğutma safhasını) teşkil eder. Diğer bazı sistemlerde jeneratör ısıtılp soğutucu akışkan serbest kalırken aynı zamanda buharlaştırıcıda toplanan sıvı soğutucu akışkan da buharlaştırılır. Ancak bu buhar jeneratöre gönderilmeyip uygun başka bir adsorbent ihtiva eden bir ara

kapta depo edilir ve jeneratör ısıtılması süresi sona erince depolanan soğutucu akışkan bu sefer jeneratöre gönderilerek buradaki adsorbent tarafından yutulur. Buna benzer başka farklı uygulamalarda olmakla beraber, bu sistemlerle soğutma elde edilmesi daha karmaşık yöntemlerin kullanılmasını gerektirir.

Jeneratörün ısıtılmasında ışınım (güneş) enerjisinin kullanıldığı sistemlerde, içinde adsorbentin bulunduğu jeneratör aynı zamanda toplayıcı görevini yapar. Bu bakımdan toplayıcının ışınım yutabilme gücü ve kayıpları içeren bir toplayıcı verimi tanımlanır.

İşınım ile çalışan adsorpsiyonlu soğutma sisteminin performansının incelenmesi ışınlama safhasında yapılır. Böylece yukarıda söz konusu edilen iki farklı prensiple çalışan sistemler için geçerli olmak üzere ışınlama safhasında yoğun suyun hepsinin aynı zamanda buharlaştiği (soğutma gerçekleştiği) kabul edilir ve buna göre soğutma etki katsayıları genelleştirilmiş bir şekilde hesaplanır.

Adsorpsiyonlu bir soğutma makinası için teorik soğutma etki katsayısı

$$\beta_{th} = \frac{Q_o}{Q_a} \quad (2.37)$$

ile ifade edilir. Burada Q_o soğutucu akışkanın buharlaşma gizli ısisini Q_a ise desorpsiyon ısisini (- adsorpsiyon ısisini) gösterir.

Sistemin toplam soğutma etki katsayısı üzerinde sistemi oluşturan elemanların çevrim boyunca davranışının etkisi büyüktür. Bu nedenle bunların ayrı ayrı ele alınarak bu bakımdan incelenmesi gerekmektedir.

2.6.1. Toplayıcı Verimi

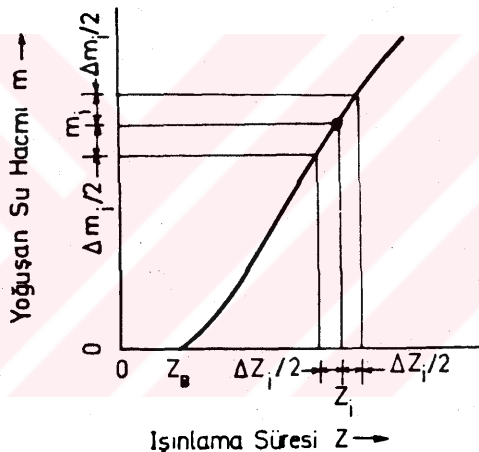
(Şek. 2.7)' de görüldüğü gibi ΔZ_i ışınlama süresinde ($\approx 15-30$ dak.) buharlaşan suyun desorpsiyon ısisi (ΔQ_{des})_i ile toplayıcının toplam ısil kapasitesi (ΔQ_t)_i ile ve topla-

yıcı yüzeyine düşen ışınının enerjisi $(\Delta Q_r)_i$ ile gösterilir. Toplayıcının söz konusu sürede aldığı toplam ısı için

$$(\Delta Q_{td})_i = (\Delta Q_{des})_i + (\Delta Q_t)_i \quad (2.38)$$

yazılabilceğinden, toplayıcının Z_i anında (ani) verimi aşağıdaki bağıntı ile ifade edilir

$$(\eta_{ta})_i = \frac{(\Delta Q_{td})_i}{(\Delta Q_r)_i} \quad (2.39)$$



Şek. 2.7: Desorpsiyon eğrisi.

ΔZ_i ışınlama süresinde Δm_i kadar soğutucu akışkanın desorbe edildiği ve bu aralıkta adsorbentin doyma kapasitesi X_{oi} 'ye tekabül eden desorpsiyon ısısının (adsorpsiyon ısisi) $(q_x)_i$ olduğu düşünülürse,

$$(\Delta Q_{des})_i = (q_x)_i \Delta m_i \quad (2.40)$$

yazılabilir.

Adsorbentin adsorpsiyon doyma kapasitesi x_o 'yoğuşan su m'nin bir fonksiyonu olur. Bunun için toplayıcı içersindeki adsorbentin ağırlığı G_z olduğu ve ΔZ_i süresinde adsorpsiyon doyma kapasitesi, yüzde olarak ΔX_{oi} kadarının düştüğü göz önüne alınırsa

$$\Delta X_{oi} = 100 \frac{\Delta m_i}{G_z} \quad (2.41)$$

bulunur.

Toplayıcının toplam ısıl kapasitesi $(\Delta Q_t)_i$ toplayıcının yapısını teşkil eden elemanların ağırlıklarını ve özgül ıslarını kullanarak hesaplanabilir. Örneğin, içersinde bakır, aliminyum, zeolit ve su bulunan bir toplayıcı için,

$$\begin{aligned} (\Delta Q_t)_i &= [G_b C_b + G_{AL} C_{AL} + G_z C_z + (G_s)_i C_s] \Delta \bar{t}_i \\ (\Delta Q_t)_i &= \Delta \bar{t}_i \sum_{j=1}^n G_j C_j \end{aligned} \quad (2.42)$$

olur. Burada $\Delta \bar{t}_i$, ΔZ_i süresinde ortalama toplayıcı sıcaklığının değişmesini göstermektedir. Adsorbent tarafından adsorbe edilen soğutucu akışkan miktarı, aşağıdaki şekilde

$$(G_s)_i = G_z \frac{x_{oi}}{100} \quad (2.43)$$

hesaplanır. (2.42) eşitliğindeki diğer terimler ise sabit olduğuna göre

$$\sum_{j=1}^n G_j C_j = (q_o)_i \quad (2.44)$$

yazılabilir. Buradaki $(q_o)_i$ 'zı anında toplayıcının özgül ıslısını ifade eder.

$$(\Delta Q_t)_i = (q_o)_i \Delta \bar{t}_i \quad (2.45)$$

yazılırsa,

$$(\Delta Q_{td})_i = (q_o)_i \Delta \bar{t}_i + (q_x)_i \Delta m_i \quad (2.46)$$

bulunur ve neticede

$$(n_{ta})_i = \frac{(q_o)_i \Delta \bar{t}_i + (q_x)_i \Delta m_i}{(\Delta Q_r)_i} \quad (2.47)$$

elde edilir. Burada $(\Delta Q_r)_i$ ısınım enerjisi ΔZ_i süresinde I ısınım şiddetinin sabit kaldığı varsayılmaması halinde

$$(\Delta Q_r)_i = I \Delta Z_i \quad (2.48)$$

ile hesaplanır.

2.6.2. Sistemin Ani İç Soğutma Etki Katsayısı

(Şek. 2.7)'de görülen ΔZ_i ışınlama süresinde (Bölüm 2.6)'da belirtildiği gibi yoğun suyun tümünün aynı zamanda buharlaştırıcıda buharlaştığı kabul edilir ve bu arada çevreden çekilen $(\Delta Q_e)_i$ ısısının toplayıcının aynı ışınlama süresinde almış olduğu toplam $(\Delta Q_{td})_i$ ısısına oranına sistemin Z_i anında (ani) iç soğutma etki katsayısı adı verilir ve

$$(\beta_{ia})_i = \left(\frac{\Delta Q_e}{\Delta Q_{td}} \right)_i \quad (2.49)$$

ile ifade edilir. Bazı literatürlerde toplayıcı kabının ısıl kapasitesi dikkate alınmayarak

$$(\beta_{ia})_i = \left(\frac{\Delta Q_e}{\Delta Q_{des} + (G_z C_z + G_s C_s) \Delta \bar{t}} \right)_i \quad (2.50)$$

bağıntısı ile adsorpsiyon çifti için bir soğutma etki katsayısı tanımlanlığına rastlanmıştır.

Buharlaştırıcının çevreden çekenliği soğutma enerjisi ise

$$(\Delta Q_e)_i = \Delta m_i [Q_o - c_p (\bar{t}_c - t_e)] \quad (2.51)$$

olur. Burada Q_o buharlaştırıcı basıncında bulunan akışkanın

buharlaşma gizli ısısı, C_p ise özgül ısısını göstermektedir. (2.46) ve (2.51) bağıntısı (2.49) bağıntısına taşınırsa

$$(\beta_{ia})_i = [Q_o - C_p (\bar{t}_c - t_e)] \left(\frac{\Delta m}{q_o \Delta \bar{t} + q_x \Delta m} \right)_i \quad (2.52)$$

bulunur.

2.6.3. Sistemin Anı Toplam Soğutma Etki Katsayısı

ΔZ_i ışınlama süresinde yoğun suyun buharlaştırıcıda buharlaşarak çevreden aldığı ısının, toplayıcıya düşen ısınım enerjisine oranına sistemin anı toplam soğutma etki katsayısı adı verilir ve

$$(\beta_a)_i = \left(\frac{\Delta Q_e}{\Delta Q_r} \right)_i = (\eta_{ta})_i \cdot (\beta_{ia})_i \quad (2.53)$$

veya

$$(\beta_a)_i = [Q_o - C_p (\bar{t}_c - t_e)] \left(\frac{\Delta m}{\Delta Q_r} \right)_i \quad (2.54)$$

şeklinde ifade edilir.

2.6.4. Sistemin Ortalama Toplam Soğutma Etki Katsayısı

Sistemin soğutma etki katsayısının hesaplanmasıında (Şek. 2.7)'de görüldüğü gibi ışınlama başlangıcından itibaren ve Z_i ışınlama süresi içersinde [deneylerde 1 ila 6 saat arasında değişir] yoğun suyun (Bölüm 2.6)'da belirtildiği gibi aynı zamanda buharlaştığı kabul edilir. Bu taktirde söz konusu süre içersinde yoğun suyun toplam buharlaşma ısısının, aynı süre içersinde toplayıcıya düşen toplam ısınım enerjisine oranına sistemin ortalama toplam soğutma etki katsayısı adı verilir ve

$$(\beta_r)_i = \left(\frac{Q_e}{Q_r} \right)_i \quad (2.55)$$

şeklinde ifade edilir. Burada $(Q_e)_i$, Z_i işinlama süresi içerisinde yoğunlaşan su miktarı m_i olmak üzere

$$(Q_e)_i = [Q_o - C_p (\bar{t}_c - t_e)] m_i \quad (2.56)$$

ile hesaplanır. Aynı işinlama süresi içerisinde toplayıcıya düşen ışınım enerjisi $(Q_r)_i$ ise

$$(Q_r)_i = I \cdot Z_i \quad (2.57)$$

eşitliği ile hesaplanır. Neticede β_r

$$(\beta_r)_i = [Q_o - C_p (\bar{t}_c - t_e)] \frac{(m)}{Q_r}_i \quad (2.58)$$

ile ifade edilir.

3. KAYNAK ARAŞTIRMASI

3.1. Giriş

Adsorpsiyonlu soğutma sisteminde cereyan eden en önemli olay adsorpsiyon olayıdır. Bu olay ilk olarak Faraday tarafından açıklanmıştır. Daha sonra Langmuir, (1916) yılında katı cisimlerin adsorpsiyon doyma kapasitelerini veren bağıntıyı elde etmiştir.

Adsorpsiyonlu soğutma sisteminde pompa rolünü adsorbent bir ortam görür. Bu amaçla önceleri 1920-1930 yıllarında çeşitli alkali klorürleri, örneğin CaCl_2 kullanılmış daha sonra bunların yerini silikajel ve sentetik zeolitler almıştır. Bugün tabii zeolitler tercih edilmektedir. Soğutucu akışkan (adsorbet) olarak amonyak, kükürt dioksid, freon, metanol veya su kullanılmaktadır.

Prensibi eskiden beri bilinen fakat güneş enerjisi tatlıkatlarında önem kazanan adsorpsiyonlu soğutma makinaları üzerinde yapılan çalışma ve araştırmalar aşağıdaki alanlarda yürütülmektedir [4,8,16,17,27].

- 1- Periyodik çalışmaya karşı uzun zaman dayanabilen ucuz adsorbentlerin bulunması
- 2- Her adsorbent için uygun bir adsorbet (soğutucu akışkan) seçilmesi
- 3- Seçilen çiftler için maliyet ve bakım açısından ekonomik bir sistem geliştirilmesi

3.2. Adsorbentler

Adsorbentlerin çeşitli uygulamaları gözönünde tutularak,

- 1- Gazların tasfiyesi ve kurutulmasında filtre etmeye uygun olmaları
- 2- Güneş enerjisini depo etme özelliğine haiz olmaları
- 3- Isıtma ve soğutma sırasında gazları neşretme ve yutma nitelikleri

yönünden incelenmişlerdir. Bunun dışında bazı adsorbentlerin iyon değiştirme ve reaksiyonlarda katalizatör olarak kullanılması da araştırılmaktadır. Bugüne kadar yapılan araştırmalar sonucunda çeşitli çiftlerin özellikleri belirlenmiş ve bu özellikler yayınlanmıştır [4,16,28,29,30].

D.W. Berck, ZX ve ZA zeolitinin su buhari adsorpsiyon ıslarının adsorpsiyon doyma kapasitesine bağlı olarak değişimini vermiştir. Berck'e göre yıpratıcı etken bulunmadıkça adsorpsiyon-desorpsiyon işlemi zeolitlerin yapısını bozmaz, ancak 600 °C'nin üstünde zeolitin kristal yapısı şekil değiştirmeye başlar [4,31].

D.I. Tchernev, Sentetik zeolit ZA, ZX ve silikajel için çeşitli sıcaklıklarda adsorpsiyon doyma kapasitesinin su buhari basıncına bağlı olarak değişmesini (izoterm eğrilerini) ve muhtelif adsorbentlerin adsorpsiyon ıslarını yayınlamıştır. Ayrıca soğutma tekniğinde zeolitlerin adsorpsiyon ile desorpsiyon arasında histeresis göstermediklerini kabul etmiştir [15,16].

R.A. Shigeishi ve C.H. Langford, enerji depolamak maksadı ile bazı adsorbentlerin özelliklerini deneysel olarak test etmişlerdir. Çeşitli adsorbentlerin oda sıcaklığında ve 24 torr basınçta su buhari adsorpsiyon sürelerini ilk olarak Shigeishi ölçmüştür. Ayrıca çeşitli adsorbentlerin değişik sıcaklıklarda 24 saat kurutulduktan sonra tekrar 24 ve 48 saat su buhari adsorpsiyonuna maruz kaldıkları zaman adsorpsiyon kapasitelerini incelemiştir. Shigeishi güneş enerjisi depolama alanında kullanılacak uygun adsorpsiyon çiftlerinin seçilmesi için bir yöntem teklif etmiştir [4].

J.J. Guilleminot ve F. Meunier ZX-zeoliti için ve sabit adsorpsiyon doyma kapasitelerinde (izosterler) su buhari basıncının (veya ona tekabül eden doyma sıcaklığının) zeolitin sıcaklığına bağlı olarak değişimini Clapeyron bağıntısını kullanarak hesaplamışlar ve neticelerini LiBr-Su diyagramına benzer bir diyagramda göstermişlerdir [8,18,19].

R. Gopal ve B.R. Hollebone'nin deneylerinde, ZX-zeolitin periyodik çalışmasında adsorpsiyon doyma kapasitesinin zamanla, iki değer arasında değiştiğini fakat ortalama değerinin sabit kaldığını ve uzun çalışmadan sonra zeolitin yapısının değişmediğini görmüşlerdir. Doymuş ZX-zeolitinin çeşitli sabit sıcaklıklarda desorpsiyon sürelerini ölçmüşler ve 24 torr basıncında, su buharı ihtiiva eden bir kaptı, ZX-zeolitin çeşitli kapasiteleri için, kaptaki basıncın zamana bağlı olarak düşmesini incelemişlerdir. Gopal ve Hollebone, ZX-zeolitin 25°C izoterm deneylerinde 1 torr basıncındaki su adsorpsiyon doyma kapasitesinin, maksimum kapasitenin % 75'i olduğunu ve soğutma tekniğinde zeolitin düşük basınçlarda da adsorpsiyon hızının yüksek olduğunu görmüşlerdir. Ayrıca ZX-zeolitin su adsorpsiyon ısısının doyma kapasitesine bağlı olarak değişimini göstermiştir [32].

R. Scarmozzino ve R. Aiello güneş enerjisini tabii zeolitte (Çabazitte) depolamak maksadı ile 80°C sabit sıcaklıkta desorpsiyon eğrisini vermişlerdir. Yine aynı araştırmacılar zeolitin kendi suyunun $20\text{--}80^{\circ}\text{C}$ aralığında % 0,3 merkebesinde azaldığını belirtmişlerdir [33].

A. Şenatalar, V. Candar ve E. Kadioğlu doğal zeolitlerin tarihçesi, yapıları, özellikleri, kullanım alanları ve Türkiye'de değerlendirilme imkânları hakkında bilgi vermektedirler [29].

3.3. Adsorbetler

Close ve Dunkle'in araştırmalarına göre suyun bir adsorbet olarak alınması ısıtma ve kurutma açısından uygundur [34].

Texas Üniversitesinde Hugo Steinfik yönetiminde freon gazlarının zeolitler tarafından adsorbe edilmesi incelenmiştir. Zeolitlerin değişik basınçlarda yaklaşık % 30 freon adsorbe ettikleri görülmüştür [16].

F. Meunier ve B. Mischler, CH_3OH soğutucu akışkanını bir adsorbet olarak denemişler ve düşük buharlaştırıcı sıcaklıklarına inebilmişlerdir. Ayrıca soğutma tekniğinde adsorpsiyon çiftinin seçimi için bir kriter bulmuşlardır [8,18].

3.4. Sistem

Güneş enerjisi kullanarak çalışan adsorpsiyonlu soğutma sisteminin çalışma prensibi; genellikle klasik adsorpsiyonlu soğutma sisteminin prensibinin aynıdır. Ancak burada jeneratör kabı bir güneş toplayıcısı olarak düşünülmüştür. Mevcut sistemler henüz araştırma safhasındadırlar ve genellikle her biri üç ana kısımdan meydana gelir: toplayıcı, yoğunlaştırıcı ve buharlaştırıcı. Bu üç kısımdan en önemlisi toplayıcıdır.

3.4.1. Tchernev'in Sistemi

Adsorpsiyonlu soğutma sistemi karmaşık bir sistem olduğu için D.I. Tchernev performanslarını teorik yol yerine gerçek sistem üzerinde deneysel olarak incelemenin daha güvenilir olduğu görüşündedir. Tchernev bu iş için bir güneş simülasyonu yaparak $0,093 \text{ m}^2$ alanı bulunan bir toplayıcı kullanmıştır. Adsorbent-soğutucu akışkan çifti olarak da zeolit-su çifti ile çalışmıştır. Işınlama safhasında ışınınım şiddetini sabit ve 1 kw olarak tutulmuştur.

Tchernev, toplayıcının bazı konstrüksiyon özelliklerini incelemiştir. Toplayıcı içersinde sık kafes yapılı aliminium bölmeler (eggcrate) kullanılması ile, rijitlik ve iletkenlik sağlanır. Tchernev'in deneylerinde maksimum günlük ışınınım enerjisi 34 MJ/m^2 için optimum tabii zeolit tabakası kalınlığı 63,5 mm seçilmiştir.

Bu sistemin anı toplam soğutma etki katsayısının toplayıcı sıcaklığına bağlı olarak değişimi verilmiştir. Sisteme adsorbent olarak, adsorpsyon ısısı sentetik zeolitin adsorpsiyon ısısının yaklaşık üçte ikisi olan çabazit (tabii zeolit) kullanıldığında, yoğunlaşma sıcaklığı 50°C iken maksimum anı toplam soğutma etki katsayısının 0,4 olduğu görülür [15,16].

3.4.2. F. Meunier ve J.J. Guilleminot'un İlk Sistemi

Meunier ve Guilleminot'un ilk kurdukları sistemde ZX-zeoliti-su çifti kullanılarak ısıtma verimini ve soğutma etki katsayısını incelemiştir.

Sistemin toplayıcı alanı 1 m^2 'dir. Rijitliği, iletkenliği ve buhar akışını sağlamak için toplayıcı kabının içine omega şeklinde delikli kanallar yerleştirilmiştir. Toplayıcıının içinde zeolit tabakası kalınlığı 30 mm dir. Toplayıcıda yutucu levha olarak hem siyah boyalı yüzey ve hem de seçici yüzey kullanılmıştır. Konstrüksiyonun sistemin performansı üzerindeki etkisini göstermek maksadı ile, zeolitin ve toplayıcının iç soğutma etki katsayısı ayrı ayrı olarak tesbit edilmiştir.

Soğutma etki katsayısını iyileştirmek için, sistemin bir evvelki çalışması sırasında tankta depolanan duyular ısısını geri alarak zeolitin desorpsiyon başlangıcında 30°C den 60°C 'a kadar ısıtılması temin edilir [8,18,19].

3.4.3. Meunier ve Guilleminot'un İkinci Sistemi

Meunier ve Guilleminot'un ilk yaptıkları sisteme yakın bir soğutma etki katsayısı sağlayan ve sadece soğutma yapan daha basit bir sistem kurmuşlardır.

Alanı $0,8 \text{ m}^2$ olan toplayıcı ve seçici yüzey kullanılmıştır. Toplayıcı kabının içinde 80 mm aralıklı madeni bölmeler vardır ve 40 mm kalınlıkta ZX-zeoliti ve soğutucu akışkan olarak ta su kullanılmıştır.

İşinim şiddeti 800 W/m^2 , $t_e = 5^\circ\text{C}$ ve $t_c = 31^\circ\text{C}$ için, sistemin anı toplam soğutma etki katsayısı, toplayıcının ön yüzey sıcaklığına göre verilmiştir. Bu koşullar altında sistemin soğutma etki katsayısının maksimum değeri 0,21 olmuştur [17].

3.5. Araştırmalardan Elde Edilen Sonuçlar

Adsorpsiyonlu soğutma sisteminin performansını etkileyen en önemli faktörlerin adsorbent, soğutucu akışkan ve toplayıcı olduğu yapılan araştırmalarda görülmüştür. Adsorpsiyonlu sistemde adsorbentin ve soğutucu akışkanın (adsorbetin) özellikleri müsterek olduğundan adsorpsiyon çifti olarak ele alınmalıdır.

1- Adsorpsiyon çifti: Uygulamada kullanılan çiftler hakkında aşağıdaki bilgiler verilebilir.

- Sistemin soğutma kapasitesi büyük olabilmesi için soğutucu akışkanın adsorbent tarafından büyük bir oranda adsorbe edilmesi gereklidir. ZX-zeoliti sentetik zeolitler içinde en büyük maksimum adsorpsiyon doyma kapasitesine sahiptir. Genel olarak ise kullanılan adsorbentler içinde silikajelin en büyük maksimum adsorpsiyon doyma kapasitesine sahip olduğu bilinmektedir.

- Soğutucu akışkanın buharlaşma gizli ısısının büyük olması sistemin soğutma kapasitesini ve etki katsayısını yükseltir.

- Araştırmaların çoğunda su buharı ele alınmıştır. Ucuz olması, soğutucu akışkanlar içinde en büyük buharlaşma gizli ısısına sahip bulunması ve özelliklerinin çok iyi bilinmesi nedeniyle soğutma sistemlerinde suyun soğutucu akışkan (adsorbet) olarak kullanılması avantajlidir. Buna karşılık vakum altında çalışma zorunluğu nedeniyle su buharı ile çalışan sistemlerde çok düşük sıcaklıklara inilemez.

Soğutucu akışkanın adsorbent tarafından adsorbe edilme hızının yüksek olması istenir. Adsorpsiyon hızını artırmak için çiftin buharlaştırıcı basıncındaki adsorpsiyon doyma kapasitesi büyük olmalıdır ve çiftin adsorpsiyon izotermi ideal olarak (Şek. 2.3)'teki A tipinde bir eğriye yaklaşmalıdır. Güneş enerjisi tatbikatlarında A eğrisinin ab parçası $P/P_{\infty} = 0,1$ civarında bir doğru olur. Adsorpsiyon çiftlerinde bazı aktif karbonlar-su çiftinin adsorpsiyon doyma kapasitesi eğrisi kısmen yaklaşıklar olarak ab doğrusuna benzediği görülür.

- Silikajel, ve aktif aluminada hem adsorpsiyon hem de desorpsiyon düşük sıcaklık farkları altında meydana gelir. Bu na karşılık ortam sıcaklığının ve yoğunsturucu sıcaklığının düşük olması gerekli olduğundan silikajel ve aktif alumina soğutma sistemleri için kullanışlı olmamaktadır [(Şek. 2.3)' teki B eğrisi].

- Soğutma safhasında belirli bir buharlaştırıcı sıcaklığında genel olarak zeolitlerin diğer adsorbentlere hazırlan da ha büyük ortam sıcaklıklarında adsorpsiyona gecebilme üstünlüğü vardır. Desorpsiyon sırasında da yüksek yoğunlaşma sıcaklığında çalışabilme imkanı gösterirler. Buna karşılık büyük desorpsiyon sıcaklıkları gerektiğinden ısınım enerjisinin büyük olması zorunludur. [(Şek. 2.3)' teki c eğrisi].

- Silikajel, aktif alumina ve bazı kömürlerin düşük basınçlardaki adsorpsiyon hızları, zeolitlerin düşük basınçlardaki adsorpsiyon hızlarına nazaran daha küçüktürler.

- Genellikle soğutma safhasında toplayıcılardaki adsorpsiyon ısısından yararlanılmamaktadır. Bu taktirde sistemin toplam soğutma etki katsayısının büyük olabilmesi için, soğutucu akışkanın belirli bir adsorbent için adsorpsiyon ısısının küçük olması gereklidir. Pratikte tabii zeolitlerin suya karşı gösterdikleri adsorpsiyon ısısı sentetik zeolitlerin verdiği adsorpsiyon ısısından daha küçük olması nedeni ile adsorpsiyonlu sistemde çabazit gibi tabii zeolit tercih edilmektedir.

- Araştırmalarda adsorpsiyon süreleri gibi bazı özelliklerin yeterli olarak incelenmediği görülür.

- Bazı çiftlerin muhtelif literatürlerde adsorpsiyon ısları ve adsorpsiyon doyma kapasiteleri için farklı değerler verilmektedir.

- Adsorpsiyon çiftlerinin özellikleri, soğutma sisteminin çalışma koşullarından farklı koşullarda incelenmiştir.

2- Toplayıcı: Pratikte adsorpsiyonlu soğutma sisteminde adsorbentin katı olmasından istifade edilerek sistemin jeneratörü bir düz güneş toplayıcısı olarak yapılmaktadır.

Toplayıcının yutucu yüzeyinin seçici veya siyah mat boyalı oluşu sistemin performansını fazla etkilemez. Mat boyanın avantajı, düşük sıcaklıklarda emitansının büyük olması sebebiyle, soğutma safhasında toplayıcının soğumasını kolaylaştırmasıdır. Isıyı, yutucu yüzeyden adsorbente iyi bir şekilde iletmek için yutucu yüzeyin arka tarafına metalden yapılmış bir petek (ağ, bölmeler ve benzeri) yerleştirilmelidir. Aynı zamanda bu petek yapısı buharın akışına mani olmamalıdır. Ayrıca sistemin vakum altında çalışması şartı, toplayıcının konstrüksiyonunu ve deneylerindeki ölçmeleri zorlaştırır.

3- Soğutma sistemlerinde desorpsiyon sonucu buharın yoğunrasında serbest kalan ısının çoğulukla değerlendirilmesi yapılmamıştır. İşinim kaynaklı adsorpsiyonlu sistemlerde buharlaştırıcıda soğutma, işinlama olmadığı zaman yani adsorpsiyon (soğutma) safhasında yapılır. Bundan başka (Bölüm 2.6)'da izah edilen ve jeneratörde desorpsiyon yapılırken aynı zamanda buharlaştırıcıda bularlaşmanın yapıldığı sistemlerde işinlama safhasında da soğutma yapıldığı görülmüştür.

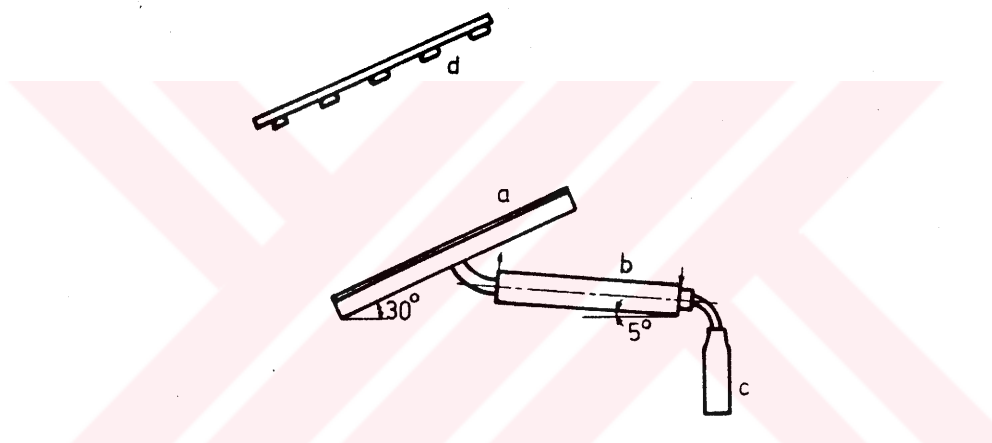
4- Absorpsiyonlu sistemle mukayese: Absorpsiyonlu soğutma sisteminde maksimum yoğunma sıcaklığı 40°C olduğu halde $\text{ZX}-\text{H}_2\text{O}$ çifti içeren adsorpsiyonlu soğutma sisteminde yoğunma sıcaklığı 40°C üstüne çıkabilemektedir.

5- Daha önce yapılan çalışmalarda değişik yoğunma sıcaklıkları denenmemiş ve adsorbentin işinlama başlangıcında doyma durumunu dikkate alınmamıştır. Bu çalışmada ise değişik ortalama yoğunma sıcaklıklar ($\bar{t}_c = 36^{\circ}\text{C}, 43^{\circ}\text{C}, 47^{\circ}\text{C}$) ve zeolitin işinlama başlangıcında değişik su adsorpsiyon kapasiteleri ($X_B = \% 24,6, \% 23,8, \% 23$) kullanılmıştır.

4. DENEYLER

4.1. Deney Tesisatı

Bu güne kadar yapılmış olan teorik ve deneysel araştırmalar dikkate alınarak ve elde mevcut imkanlar gözönünde tutularak aşağıda açıklanan basit bir deney tesisatı geliştirilmiştir. (Şek. 4.1)'de görülen sistem tasarlanırken yukarıda belirtilen amaca tam olarak uygun olması yanında ucuz olması ve yerli imkanlarla temini hususuna itina gösterilmiştir.



Şek. 4.1: Işınım ile çalışan periyodik adsorpsiyonlu soğutma sistemi prensibi.

(Şek. 4.1)'de görüldüğü gibi ışınım enerjisi ile çalışan periyodik adsorpsiyonlu soğutma sistemi esas itibarıyle a, b ve c elemanlarından oluşmaktadır. Bu elemanların yapılış şekli (Bölüm 4.5, 4.6 ve 4.7)'de ayrıntılı olarak açıklanacaktır. Işınlama sırasında a toplayıcısında buharlaşan su b yoğunşturucusunda yoğunştuktan sonra c kabında toplanır. Adsorpsiyon (soğutma) safhasında c kabında (buharlaştırıcıda) buharlaşan soğutucu akışkan b borusundan (yöneticiden) geçerek toplayıcıda bulunan adsorbent tarafından adsorbe edilir. Yaptıkları görev açısından a elemanı bir topla-

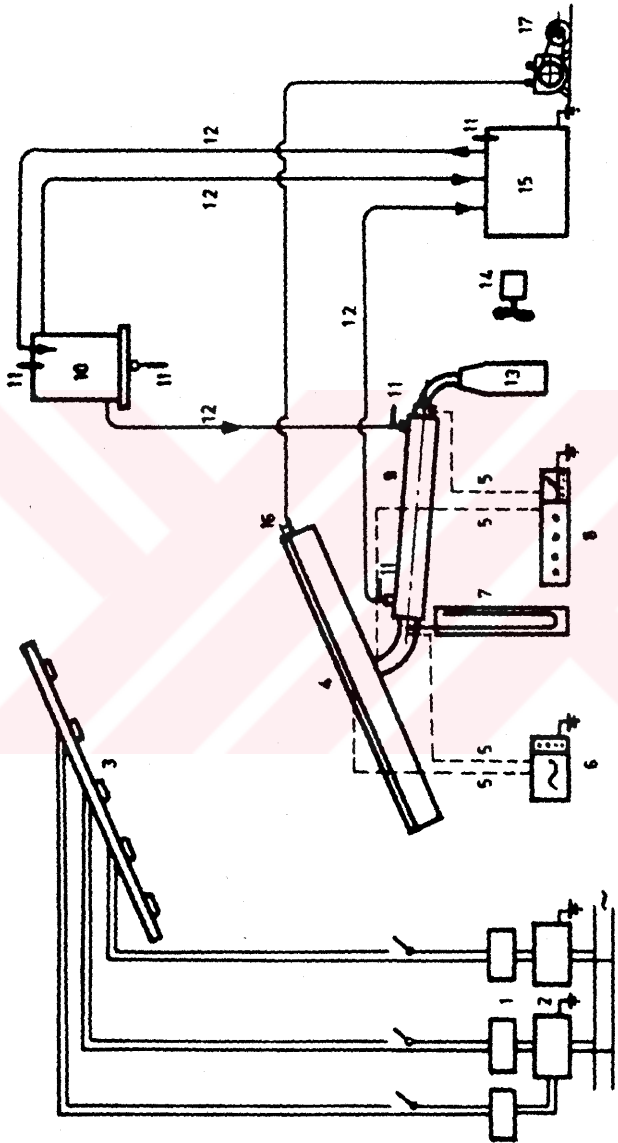
yıcı ve bir jeneratör, ve c elemanı da bir toplama kabı ve bir buharlaştırıcı gibi çalışmaktadır. Sistemde valf kullanılmaması, akışa karşı dirençlerin azaltılması yanında gi-diş ve dönüşün aynı borudan yapılabilmesini sağlamıştır.

Laboratuvara dış hava koşullarına bağlı olmaksızın deneylerin yürütülebilmesi için sistemde yapay ışınlama kullanılmıştır (Şek. 4.1), de d narfi ile işaretlenmiş bulunan yapay ışınlama düzeni, toplayıcı yüzeyine paralel olarak yerleştirilmiş olup bu yüzeyden en kısa mesafesi 1 m olacak şekilde hareket ettirebilmektedir. Ampul sayısı ve ışınlama düzenninin toplayıcı yüzeyine olan mesafesi değiştirilerek söz konusu yüzeye şiddeti 700 ila 1000 W arasında değişen homojen bir ışınınım gelmesi sağlanmıştır. Deney sırasında ampullerin ışınım şiddetini sabit tutabilmek için (Şek. 4.2)' de 2 ile işaretlenen voltaj regülatörü kullanılmıştır. Sisteme ilave edilen 3 adet variyak yardımı ile şebeke gerilimi ayarlanabilmektedir.

4.2. Deney Tesisiyatının Boyutlandırılması İle İlgili Kabuller

Sistem tasarılanırken daha önce yapılan araştırmaların sonuçları gözönünde tutularak aşağıdaki kabuller yapılmıştır:

- 1- Sistemin sağlayacağı maksimum soğutma yükü 2100 kJ/gün olur.
- 2- 41° enleminde bulunan İstanbul için yaz aylarında en uygun toplayıcı eğim açısı 30° olur.
- 3- İstanbul'da 30° eğik bir düzleme yaz aylarında gelen maksimum toplam ışınım enerjisi 19440 kJ/gün olur.
- 4- Yoğunlaşma sırasında sistem içersindeki ortalama basınç (6 kPa) dolaylarında olur (- suyun 36°C sıcaklığındaki doyma basıncı).
- 5- Buharlaştırıcı ortalama sıcaklığı 5°C civarında bulunur.
- 6- Benzer sistemleri gözönünde tutularak yukarıdaki



Şek. 4.2: Deney tesisi; 1-Tesisatı, 2-Variyak, 3-Voltaj regülatörü, 3-Işının ampulları, 4-Toplayıcı, 5-Termokupplar, 6-Yazıcı potansiyometre, 7-Civilı manometre, 8-Göstergeli potansiyometre, 9-Yoğuşturucu, 10-Taşma kabı, 11- Civalı termometreler, 12-Su boruları, 13-Buharlaştırıcı, 14-Fan, 15-Termostat, 16-Vakum vanası, 17-Vakum pompası.

ışının enerjisi için zeolitin sıcaklığının en çok 110°C olacağı kabul edilmiştir.

4.3. Adsorpsiyon Çiftinin Seçimi

Daha önce yapılmış olan teorik ve deneysel çalışmalar- dan kullanma amacımız için sentetik zeolitin en uygun adsorbent olduğu ve suyun en uygun adsorbet (soğutucu akışkan) olacağı görülmüştür. ZX simbolu ile gösterilen sentetik zeolit kristal yapısı X tipinde olan ve kimyasal bileşimi $\text{Na}_{86}[(\text{AlO}_2)_{86}(\text{SiO}_2)_{106}] \cdot x \text{H}_2\text{O}$ formülü ile verilen bir al- kali metal alimino silikattır. Linde firmasından temin edi- len sentetik zeolitin kataloğuunda verilen değerlere göre kapiler çapı 10°A , yoğunluğu 640 gm/dm^3 , tane çapı yaklaşık $3,2 \text{ mm}$ uzunluğu yaklaşık 6 mm olur. ZX- H_2O çiftinin adsorpsiyon izotermeleri (Ek 1)'de verilmiştir. 2100 kJ/gün'lük soğutma yükünü karşılayabilmek için günde $0,84 \text{ kg}$ su buharını adsorbe ve desorbe etmek gerekektir. Adsorpsiyon (so- gutma) sırasında zeolitin sıcaklığının 25°C , sistem içeri- sindeki basıncın yaklaşık $0,87 \text{ kPa}$ [-suyun 5°C sıcaklığında- ki doyma basıncı] olduğu varsayılrsa (Ek 1)'deki izoterm- lerden ZX'in su adsorpsiyon doyma kapasitesinin % 24,6 old- uğu görülür. Diğer taraftan desorpsiyon sonunda zeolitin sı- caklığının 110°C ve sistem içersindeki basıncın 6 kPa (45 mmHg) olduğu gözönünde tutulursa zeolitin su adsorpsiyon doyma kapasitesi yaklaşık olarak % 19 olur. Dolayısı ile günde $0,84 \text{ kg}$ su adsorbe ve desorbe edebilmek için toplayıcıda kullanılacak zeolit miktarı 15 kg olmaktadır. Top- playıcı sıcaklığını daha küçük tutabilmek için sisteme $17,5 \text{ kg}$ zeolit kullanılmıştır. Bu miktar zeolit yukarıda verilen adsorpsiyon koşullarında $4,3 \text{ kg}$ su adsorbe edecektir. Desorpsiyon sonunda zeolitin kapasitesi % 19,8 kg su/kg ZX olur ve sıcaklığı da 110°C altına düşer.

4.4. Elemanların Kapasitelerinin Belirlemesi

Yukarıda belirtilen soğutma yükünü karşılayabilecek toplayıcı ve yoğunşturucuyu boyutlandırmak için her şeyden önce toplayıcı ve yoğunşturucunun ısı yüklerini tesbit etmek gereklidir.

Daha önce yapılan araştırmalarda benzer tesisatlarda elde edilen neticeleri gözönüne alarak bir günde toplam soğutma etki katsayısı ortalama değerinin 0,19 olduğu tahmin edilmiştir. Buna göre 2100 kJ/gün'lük bir soğutma yükü için toplayıcı yüzeyine düşen ışınım enerjisi yaklaşık 11053 kJ/gün olmalıdır.

Yoğunşturucunun ısı yükünün hesaplanması için ilk, yoğunlaşma sırasında yoğunşturucu girişinde su buharının ortalama sıcaklığı belirlenmesi gereklidir. (2.33) bağıntısı kullanılarak yoğunlaşma başlangıcında zeolitin sıcaklığının yaklaşık $t_{desB} = 48^{\circ}\text{C}$ olduğu hesaplanmıştır. Zeolitin erişebileceği maksimum sıcaklığın 110°C olduğu dikkate alınırsa yoğunlaşma sırasında buharın ortalama sıcaklığı için yaklaşık 79°C bulunur. Su buhari cetvellerinden 79°C sıcaklığında ve 6 kPa basıncındaki su buharının antalpisi için 2224 kJ/gün ve 36°C sıcaklığında ve 6 kPa basıncındaki suyun antalpisi için de 126 kJ/gün okunur. Dolayısıyla su debisi 0,84 kg/gün'lük olduğu zaman yoğunşturucu yükü için 2098 kJ/gün bulunur.

4.5. Toplayıcının Şekillendirilmesi

İşinlama sırasında toplayıcının yutucu yüzeyinin yutma katsayısının (absorbtansının) büyük olması istenir. Buna karşılık soğutma sırasında adsorpsiyon ışısını ışınım yolu ile çevreye atması gereken yüzeyin neşretme katsayısının (emitansının) büyük olması istenmektedir. Toplayıcının yutucu yüzeyi seçilirken bu iki farklı uygulamanın gerektirdiği koşulların birbirleri ile bağıdaştırılması ve ortalama bir çözüm yolu bulunması gerekmektedir. Bu amaçla toplayıcı yüzeyine absorbtansı ve emitansi yüksek olan bir mat si-

yah boyanın sürülməsi düşünülmüştür. Piyasada 120°C 'ye kadar dayanan mat siyah boyanın bulunmadığı için bir gaz sobası içersinde oluşan is alınarak gaz yağı ile karıştırılmış ve toplayıcının ön yüzeyine iki defa sürülmüştür. Taşınım kayıpları ile büyük dalga boylarındaki ışınım kayıplarını azaltabilmek için kalınlığı 4 mm olan bir cam örtü kullanılmıştır. Yutucu yüzey ile cam arasındaki aralık 50 mm olarak seçilmiştir.

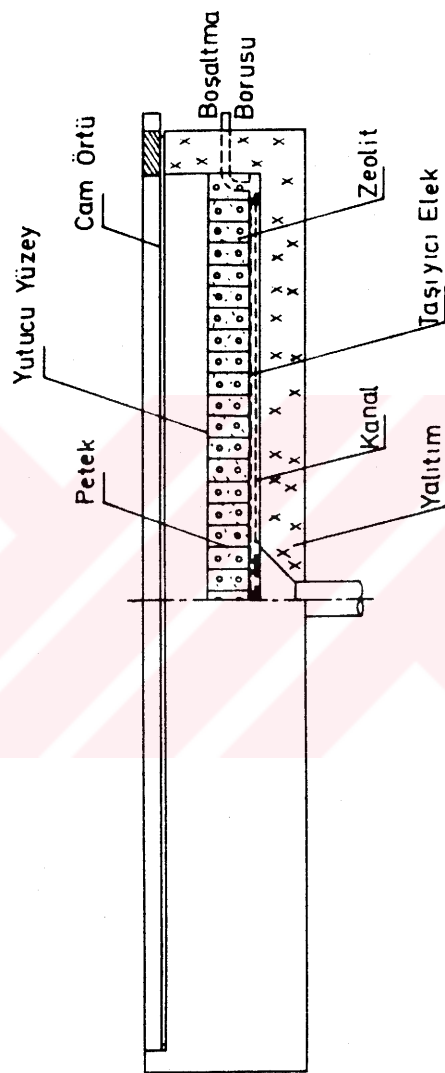
İstanbul'da 30° eğik düzleme düşen maksimum ışınım enerjisi ile toplayıcı yüzeyine düşmesi gereken ışınım enerjisi gözönüne alınarak toplayıcının yüzey alanı ($0,975 \times 0,595$) = $0,58 \text{ m}^2$ olarak seçilmiştir. Kullanılan ZX-zeolitinin özgül ağırlığı $0,64 \text{ kg/dm}^3$ olduğundan, zeolit tabakası kalınlığının 47 mm olması gerekmektedir. Toplayıcı içine yerleştirilecek aliminyum petek nedeni ile bu kalınlık 50mm olur.

Toplayıcı kabı 0,5 mm'lik bakır levhadan imal edilmişdir. $980 \times 600 \times 60$ mm boyutlarında olup yalnız dik kenarlarından lehimlenmiştir. İç yüzeyi tamamen kalayla kaplanmıştır.

İsıyı yutucu yüzeyden zeolite iyi ve uniform bir şekilde iletmek, toplayıcı kabını vakuma karşı mukavim yapmak ve aynı zamanda buhar akışını kolaylaştmak için (Şek. 4.3)'te görüldüğü gibi toplayıcı içersine kalınlığı 1 mm olan aliminyumdan delikli bir petek yerleştirilmiştir.

Peteğin boşlukları içeresine zeolit doldurulmuştur. Zeolitten çıkan buharı toplamak için peteğin arka tarafı 1mm aralıklı pirinç tellerden imal edilmiş bir taşıyıcı elek ile örtülmüştür. Su buharını toplayıcının çıkış borusuna geçmesi için ayrıca ortaya doğru yönlendirilmiş aliminyum kanallar yerleştirilmiştir. Toplayıcı, ortasına çıkış (giriş) borusu lehimlenmiş 0,5 mm'lik bakır kapak ile lehimleyerek kapatılmıştır.

Toplayıcının arka ve yan yüzeyleri kalınlığı 50 mm olan cam yünü ile yalıtılmıştır. Yalıtım tabakası kalınlığı 0,1 mm olan bir aliminyum levha ile örtülerek muhafaza edilmiştir. Muhafaza ile toplayıcı arasındaki temas yüzeylerinde ısı transferini önlemek için araya 2 mm kalınlığında koruyucu



Şek. 4.3: Toplayıcı.

yalıtım bandı yerleştirilmiştir.

Toplayıcının yutucu yüzeyi ile arka yüzeyinin orta noktalarının sıcaklıklarını ölçmek için iki adet demir-konsstantan termokupl bağlanmıştır. Ayrıca termokuplun ışınımı maruz olan kısımları aliminyum kağıt ile sarılmıştır.

Sistemi boşaltmak maksadı ile toplayıcı kabinin en üst noktasına iç çapı 8 mm bir boru lehimlenmiştir. Civalı manometreyi bağlamak için çıkış borusuna iç çapı 2 mm uzunluğu 40 mm bir boru kaynak edilmiştir.

4.6. Yoğunurucunun Şekillendirilmesi

Desorpsiyon sırasında meydana gelen su buharını yoğunurmak ve soğutma sırasında buharlaştırıcıdan gelen su buharının toplayıcıya akışını sağlayan yoğunurucuda, basınç kayıplarının en az olması için gerekli tedbirler alınmıştır. Yoğunurucu içerisinde akışın düzgün olmasına dikkat edilmiş ve ısı geçişini arttırmak üzere ısı geçiş yüzeyi imkan verdiği derecede büyük tutulmuştur.

Deneylerde toplayıcıya düşen ışınımın şiddeti ortalamaya olarak 900 W/m^2 (Bölüm 4.10.1) olup, toplayıcının ısı kapasitesi yaklaşık $44,17 \text{ kJ}/^\circ\text{C}$ ve ışınlama başlangıcında toplayıcının anı verimi n_t yaklaşık 0,8 olur. Bu durumda zeolitin ışınlama başlangıcından itibaren $t_{desB} = 48^\circ\text{C}$ sıcaklığına kadar yükselmesi için geçecek zaman yaklaşık olarak 40 daka olur. $19440 \text{ kJ/m}^2\text{ gün'lük}$ toplam ışınım enerjisi elde edebilmek için yukarıda belirtilen ışınım şiddetinde 6 saat süre ile ışınlama yapmak gerekmektedir. Dolayısıyle yoğunlaşma zamanının yaklaşık 5,35 saat dolaylarında olacağı görülür. Buradan yoğunurucunun ortalama ısıl gücü veya birim zaman da yuttuğu yoğunlaşma ısısı 392 kJ/h olur ve buna bağlı olarak yoğunsan su miktarının ortalama $0,157 \text{ kg/h}$ olduğu hesaplanır.

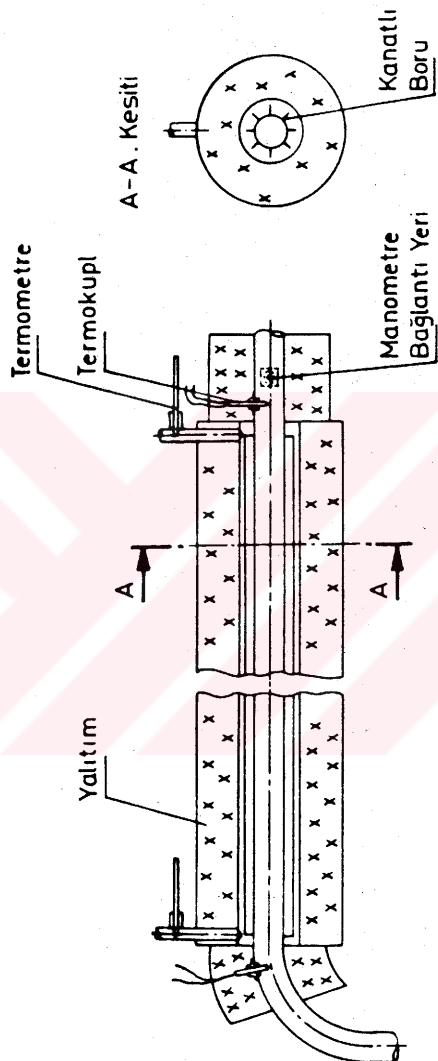
Yoğunurucuda 32 mm çapında bir bakır boru kullanılmıştır. Yukarıda verilen değerler gözönüne alınırsa boru içerisindeki akışın laminer olduğu görülür. Soğutma suyu,

sisteme bir sabit seviye kabindan ve sabit sıcaklıkta verilmekte olup suyun debisi 1,85 lt/dak'dır.

Sistemde kullanılan yoğunsturucu (Şek. 4.4)' te görülmektedir. Yoğunsturucu gömleği 70 mm çapında olan P.V.C. plastik borudan yapılmış olup ısı transferi yüzeyini oluşturan bakır boru üzerine sekiz adet 1 mm kalınlığında ve 10 mm genişliğinde bakır şerit lehimlenmiş ve böylece yüzey alanı genişletilmiştir. Yukarıda verilen değerler gözönüne alınarak yoğunsturucu borusunun uzunluğu 85 cm olarak hesaplanmıştır. Yoğun suyun kolayca akabilmesi için boru 5° meyilli olarak yerleştirilmiştir. (Şek. 4.4)' te görüldüğü gibi girişe ve çıkışa yerleştirilen termokupller ve termometreler yardımı ile buhar ve soğutma suyu giriş ve çıkış sıcaklıklarını ölçmektedir. Yoğunsturucu çevresinde 50 mm kalınlığında cam yünü yalitim kullanılmaktadır.

4.7. Buharlaştırıcı

Adsorpsiyon (soğutma) sırasında buharlaştırmanın meydana geldiği buharlaştırıcı aynı zamanda desorpsiyon sırasında yoğun suyu depolamak için bir kap olarak kullanılmaktadır. Kap (buharlaştırıcı) içersinde su miktarının sürekli olarak ölçülmesi amacı ile üzerinde taksimat bulunan 2 lt hacminde bir cam kap kullanılmıştır. Adsorpsiyon (soğutma) safhasında sistem içersindeki basınç yaklaşık olarak 0,87 kPa kaldığından buharlaştırıcıda birim zamanda buharlaşan su miktarı zeolitin birim zamanda adsorbe ettiği su miktarına yaklaşık olarak eşittir. Kuru ZX-zeolitin yanlız Shigeishi [4] tarafından verilmiş bulunan ve 10 mmHg basınçta adsorpsiyon kapasitesinin zamana bağlı olarak değişimini veren eğri mevcuttur. Deney koşullarının da buna yakın olduğu gözünden tutulunca ZX-zeolitinin kapasitesinin $X_o = 19,8$ (doymamış) olan $X_o = 24,6$ (doymuş) değerine yükselebilmesi için yaklaşık 16 saat geçeceği hesaplanır. Sistemde saatte ortalama ~ 52 gm su buharlaşmaktadır. Buna göre 0,87 kPa basıncında buharlaştırıcı soğutma gücü yaklaşık 131 kJ/h ve toplam soğutma



Sek. 4.4: Yoğuşturuucu.

enerjisi ~ 2100 kJ/gün'dür.

(Şek. 4.5)' de deney tesisatının genel görünüşü bulunmaktadır.



Şek. 4.5: Tesisatın genel görünümü.

4.8. Deneylerin Yapılışı

0,87-6 kPa basınçlar arasında çalıştırılan sistemin ek yerleri lehimle ve özel yapıştırıcılar kullanarak sızdırmaz hale getirildikten sonra (Şek. 4.2)' de 17 ile işaretlenmiş bulunan vakum pompası çalıştırılır ve sistem boşaltılır. Sistem yaklaşık 24 saat vakum altında tutulduktan sonra sızdırmazlık kontrolu yapılır.

4.8.1. Zeolitin Su İle Doyurulması

Buharlaştırıcı kabı üzerinde su seviyesi işaretlen dikten sonra vakum pompası bir süre çalıştırılır ve sistemin basıncı ortalama olarak 0,87 kPa 'a düşürülerek suyun buharlaşması sağlanır. Bu işlem su seviyesinde herhangi bir

değişiklik meydana gelmeyinceye kadar aralıklı olarak 3 gün süre ile tekrarlanır. Böylece toplayıcı içersinde bulunan zeolitin su ile doyması sağlanmış olur.

4.8.2. Işınım Şiddetinin Ölçülmesi

Toplayıcı yüzeyi simetrik olarak dört eşit parçaya ayrıldıktan sonra bu parçalardan her biri üzerinde cama paralel olarak gezdirilen bir piranometre ve buna bağlı olan digital bir integratör yardımı ile çok sayıda noktada ışınım şiddetini ölçülür. Bu ölçmelerde yapılan hata $\pm 4\%$ mertebindedir.

4.8.3. Yoğunlaşma Basıncının Kontrolu

Bir taşmalı kap kullanılarak ışınlama sırasında yoğunturucudan geçen soğutma suyunun debisi sabit tutulmuştur. Soğutma suyu sıcaklığı ise (Şek. 4.2)'de 15 ile gösterilen termostat yardımı ile $\pm 0,5^{\circ}\text{C}$ mertebesinde sabit tutulabilmektedir. ışınlama safhasında belirli bir soğutma suyu sıcaklığı için 7 ile işaretlenen manometrede (Şek. 4.2) yoğunlaşma basıncı okunur. Atmosfer basıncı İ.T.Ü. Meteoroloji laboratuvarında kalibre edilen bir barometre yardımı ile ölçülmüş ve yoğunlaşma basıncının hesaplanması kullanılmıştır. Böylece buhar tabloları yardımı ile yoğunlaşma sıcaklığının $\pm 2,5\%$ hata ile belirlenmesi mümkün olmuştur.

4.8.4. Toplayıcı Sıcaklığının Ölçülmesi

(Şek. 4.2)'de görüldüğü gibi toplayıcı ön (yutucu) yüzeyinin sıcaklığı ile toplayıcı çıkış sıcaklığı iki girişli kaydedici bir potansiometre yardımı ile, toplayıcı arka yüzey sıcaklığı ile yoğunturucu çıkış sıcaklığı ise göstergeli bir potansiyometre yardımı ile ölçülmüştür. Kullanılan termokupplar ve potansiyometreler, topraklama koşulları ve sistemdeki diğer cihazların durumu dikkate alınarak,

deneylelerden önce benzer şartlarda kalibre edilmiştir. Bu ölçmelerdeki hata $\pm 2\%$ mertebesindedir. Soğutma suyunun giriş ve çıkış sıcaklıklarını okuma hassasiyeti $\pm 0,1^{\circ}\text{C}$ olan cıvalı termometreler ile ölçülmüştür.

4.8.5. Yoğun ve Buharlaşan Su Miktarlarının Belirlenmesi

Buharlaştırıcı kabı üzerine yerleştirilen verniye taksimatlı bir ölçek yardımı ile ışınlama ve adsorpsiyon (soğutma) safhalarında yoğun ve buharlaşan su miktarı $\pm 2\text{ ml}$ hassasiyetle her yarım saatte bir ölçülmüştür. Bu ölçmeler yapılırken sıcaklık ve basıncılar da kaydedilmiştir.

4.9. Deneyleerde Kullanılacak Parametrelerin Tayini

Sistemin davranışını izlemek ve parametreleri tayin etmek amacıyla, deneyleerde ışınlama safhasında ortalama yoğunsa sıcaklığı T_c ve başlangıç adsorpsiyon kapasitesi X_B değişken olarak seçilmiştir. Ayrıca ışınım şiddeti I ve ışınlama süresi Z ile birlikte toplayıcıya düşen ışınım enerjisi Q_r değiştirilmiş ve ışınlama süresince her yarım saatte bir yoğun suyun hacmi, sıcaklıklar ve basıncılar ölçülmüştür. Adsorpsiyon (soğutma) safhasında zeolitin başlangıç adsorpsiyon kapasitesi ve ortalama buharlaşma sıcaklığı değiştirilmiş ve her yarım saatte bir adsorbe edilen suyun hacmi ile buharlaşma basıncı ölçülmüştür. Yapılan deneyleerde aşağıdaki hususlar tesbit edilmiştir.

1- Adsorpsiyon (soğutma) safhasında toplayıcının zeolitin su adsorpsiyon hızı; hava şartlarına, bu safhadaki adsorpsiyon çiftinin davranışına ve sistemin özelliklerine bağlıdır. Ayrıca buharlaştırıcıda buharlaşma geç başlatılması veya adsorpsiyon (soğutma) safhasının kısa tutulması zeolitin doymuş hale gelmesine zaman bırakmaz. Bu taktirde zeolit ortam sıcaklığında ve doymaması durumunda ışınlama başlarsa zeolitin adsorpsiyon kapasitesi aynı koşullardaki doyma kapasitesinden daha küçük olur. Burada zeolitin ışınlama baş-

langıçında adsorpsiyon kapasitesi genel olarak X_B ile, doymuş zeolitin adsorpsiyon kapasitesi ise X_{BD} ile gösterilir.

Işınlama başlangıcında zeolitin adsorpsiyon kapasitesi X_B , aynı sıcaklıktaki doyma kapasitesi X_{BD} 'ye ne kadar yakınsa, sistemin soğutma etki katsayısı da o kadar büyük olmaktadır. Bunun nedeni başlangıçta zeolitin doymuş olarak bulunması halinde desorpsiyon sıcaklığının ve ısısının daha küçük olmasıdır. Zeolit doymadan işinlamaya başlanırsa doyma sıcaklığına erişilmesi için zeolitin ayrıca ısıtılması gereklidir. Bu şekilde doymuş zeolit kullanıldığı halden farklı olarak zeolitin desorpsiyon yapmadan işinim ile ısıtılması sistemin soğutma etki katsayısını düşürür.

2- Yoğunlaşma basıncının yükselmesi sistemin desorpsiyon başlangıç sıcaklığının yükselmesine ve yoğunmanın gecikmesine neden olur. Ayrıca yüksek basınçta zeolitin adsorpsiyon doyma kapasitesi daha büyük olduğundan desorbe edilen su miktarı daha az olur.

3- Yoğunlaşma sıcaklığının ortalama değeri sabit kalmak şartı ile farklı yoğunlaşma basınçlarında yapılan deneylerde, eşit zaman aralıklarında yoğunsan su miktarının yaklaşık olarak aynı kaldığı görülmüştür.

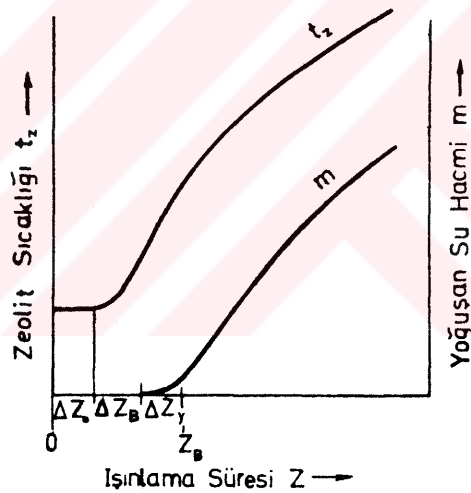
4- Adsorpsiyon (soğutma) safhasında buharlaştırıcı sıcaklığına tekabül eden basınç küçüktür. Bu basıncın daha hassas ölçülebilmesi için (Mc Leod) manometresi [35] ve ci-vali barometre gibi ölçü cihazları gerekmektedir.

5- Adsorpsiyon (soğutma) safhasında buharlaştırıcı sıcaklığı yükselse sistemin basıncı da yükseldiğinden zeolitin adsorpsiyon kapasitesi ve adsorpsiyon hızı artar. Neticede birim zamanda buharlaştırıcıda buharlaşan su ve çevreden çekilen ısı da artar.

6- Adsorpsiyon (soğutma) safhasına geçildiği zaman toplayıcının cam örtüsü kaldırılırsa ısı geçişinin iyileşmesi neticesi adsorpsiyon hızı da artar.

7- İşinim şiddetini arttıkça birim zamanda yoğunan su miktarı da artar. Ancak deney değişik işinim şiddetini kullanarak ve işinim süresini değiştirmek suretiyle tekrarlanırsa belirli bir toplam işinim enerjisi ile elde edilen yoğunan su miktarı da yaklaşık olarak aynı kalır. Bu nedenle deneylerde işinim şiddetini sabit tutmak ve işinlama süresini değiştirmek yeterli olmaktadır.

8- İşinimin toplayıcıya ilk düşüğü anda yutucu yüzeyle metal kısımların sıcaklığı artmaya başlar (Şek. 4.6)'da görüldüğü gibi doymuş zeolit halinde zeolitin sıcaklığının artması belirli bir ΔZ_0 işinlama süresi geçtikten sonra başlar. Bundan sonra sistemin ΔZ_B süresi içersinde basıncı



Şek. 4.6: Zeolit sıcaklığı t_z ve yoğunan su miktarı m 'nin zamana bağlı olarak değişmesi.

P_e 'den \bar{P}_c 'ye yükselirken zeolitin sıcaklığı da t_{ζ} 'den t_{desB} ye yükselir ve yoğunma başlar. Bundan sonra yoğunturucu yüzeyleri üzerinde su damlacıkları belirir ve belirli bir ΔZ_y süresi içersinde söz konusu yüzeyler bir miktar su damlacıkları ile örtüldükten sonra taksimatlı cam kabına su akmaya

başlar. Yoğunluk yüzeylerde biriken su miktarı ihmali edilirse, cam kaba akan ilk su daması, sistemde desorbsiyonun (yoğuşmanın) başladığı anı gösterir. Dolayısıyla cam kabta toplanan su miktarı zeolitte eksilen su miktarına eşit olduğu kabul edilebilir.

9- Sistem vakum altında bulunması ve vakumun deneylerde değişmesi nedeniyle sistemin tüm ekyerlerinin aralıklı olarak sızdırmazlık kontrolü yapılması gereklidir.

4.10. Deney Değişkenlerinin Tesbiti

Yukarıda açıklanan bulgular göz önüne alınarak deneyler I ısınım şiddeti sabit tutularak değişik ısınlama süresi Z, başlangıç adsorbsiyon kapasitesi, X_B ve ortalama yoğunlaşma sıcaklığı, \bar{t}_c değerlerinde tekrarlanmıştır. Deney sonuçları bu parametrelerin fonksiyonu olarak değerlendirilerek her birinin etkisi ayrıntılı olarak incelenmiştir (Bölüm 5).

4.10.1. Işınım Siddetinin Tesbiti

Deneylerde Tchernev 1000 W/m^2 lik Guilleminot ise 800 W/m^2 lik sabit ısınım şiddeti kullanılmışlardır [16, 17]. İstanbul'da yaz aylarında ölçülen en yüksek ısınım şiddeti göz önünde tutularak bu çalışmada yapılan deneylerde ayrıca 900 W/m^2 'lik sabit ısınım şiddeti kullanılmıştır. Bu koşulda $Z=0-6$ saatlik bir ısınlama süresi için toplayıcıya düşen maksimum ısınım enerjisi $Q_r = 11275,2 \text{ kJ}$ olur.

4.10.2. Işınlama Başlangıcındaki Adsorbsiyon Kapasitesinin Seçimi

(Bölüm 4.3)' te açıklandığı gibi Zeolitin $t_{ad}=25^\circ\text{C}$ ve $P_e=0,87 \text{ kPa}$ 'a tekabül eden adsorbsiyon doyma kapasitesi $X_{BD}=\% 24,6$ olur. Işınlama safhasında desorbe edilen suyun tümü soğutma safhası yaklaşık 16 saat içersinde adsorbe edilir. Deneyler ayrıca kısa adsorbsiyon süresi sonunda elde

edilen ve adsorpsiyon kapasitesi $X_B = \% 23,8$ ve $X_B = \% 23$ olan doymamış zeolit için de tekrarlanmıştır.

4.10.3. Yoğuşma Sıcaklığının Seçilmesi

Absorpsiyonlu soğutma sisteminde maksimum yoğunlaşma sıcaklığının 40°C olduğu dikkate alınarak deneyler $\bar{t}_c = 36^\circ\text{C}$, $\bar{t}_c = 43^\circ\text{C}$ ve $\bar{t}_c = 47^\circ\text{C}$ ortalama yoğunlaşma sıcaklıklarında tekrarlanmıştır.

Yukarıdaki koşullara uygun ölçme değerleri (Bölüm 5)'te değerlendirilmiştir.

5. DENEY SONUÇLARI

5.1. Bulgular

(Bölüm 4.10)'da açıklandığı üzere işinlama safhasında seçilen işinlama süresi Z'nin, işinlama başlangıcındaki zeolitin su adsorpsiyon kapasitesi X_B 'nin ve ortalaması yoğunlaşma sıcaklığı \bar{t}_C 'nin muhtelif değerleri için yapılan deneylerde elde edilen sonuçlar (Tablo 5.1-5.3)'te verilmiş ve (Şek.5.1-5.9)'daki diyagramlarda gösterilmiştir. Bu tablolarda ve diyagramlarda yoğunsan su miktarı ile (Bölüm 4.8.4)'te belirtiliği gibi kalibrasyon eğrisi yardımcı ile tespit edilen toplayıcı ön (yutucu) ve arka yüzey sıcaklıklarının işinlama süresine bağlı olarak değişmesi görülmektedir.

Başlangıçta henüz yoğunmanın başlamadığı süre içinde alınan enerji duyulur ısuya dönüşür. Ayrıca toplayıcı sıcaklığının düşük olması nedeniyle toplayıcı verimi de yüksektir. Dolayısıyla işinlama başlangıcından itibaren yoğunma başlangıcına kadar toplayıcı sıcaklığı hızla yükselir. Yoğunluk çıkışında ilk su damlacığının belirmesi ile deney koşullarında toplayıcının desorpsiyon sıcaklığına eriştiği anlaşılır. Bu andan itibaren toplayıcı sıcaklığındaki artma hızı azalır.

Yoğunma başlangıcında henüz sıcaklığın düşük olması nedeniyle toplayıcı verimi yüksek olur ve zeolitin adsorpsiyon doyma kapasitesinin büyük olması nedeniyle de desorpsiyon (veya adsorpsiyon) ısısı küçük olur. Dolayısıyle birim zamanda yoğunsan su miktarı fazla olur. İşinlama süresi büyüdükçe toplayıcı ani veriminin düşmesi ile toplayıcı (veya zeolit) sıcaklığının artışı yavaşlar ve neticede yoğunsan su azalır.

(Şek. 5.1-5.3)'te $\bar{t}_C=36^\circ\text{C}$ ortalaması yoğunma sıcaklığına ait desorpsiyon eğrileri incelenirse, zeolitin işinlama başlangıcındaki adsorpsiyon kapasitesi X_B 'nin % 24,6'dan % 23'e kadar azalması sonucunda 6 saatlik işinlama süresinde yoğunsan toplam su miktarının 0,243 oranında azaldığı görülür. Bu oran $\bar{t}_C=43^\circ\text{C}$ için 0,260 ve $\bar{t}_C=47^\circ\text{C}$ için de 0,283

Tablo 5.1

$\bar{t}_c = 36^\circ C$ sıcaklığında ışınım enerjisi Q_r 'ye tekabül eden toplayıcı sıcaklıklarını $t_{tö}$, t_{ta} ve yoğuşan su miktarı m_v

			$X_B = \% 24,6$			$X_B = \% 23,8$			$X_B = \% 23$		
Zaman	Q_r		$t_{tö}$	t_{ta}	m_v	$t_{tö}$	t_{ta}	m_v	$t_{tö}$	t_{ta}	m_v
Saat	kJ		oC	oC	ml	oC	oC	ml	oC	oC	ml
1,0	1879,2		57,0	45,5	154	61,5	49,0	106	65,0	52,0	50
1,5	2818,8		65,5	52,5	260	69,5	56,0	200	72,5	58,5	146
2,0	3758,4		73,0	59,5	354	77,0	61,5	290	79,5	63,5	232
2,5	4698,0		79,5	65,0	442	83,0	67,0	364	85,0	68,5	304
3,0	5637,6		86,0	70,5	522	89,0	72,0	438	90,5	73,5	370
3,5	6577,2		92,0	75,5	596	94,0	76,5	502	96,0	78,0	432
4,0	7516,8		97,0	80,0	666	99,0	80,5	562	100,5	82,0	484
4,5	8456,4		101,5	84,0	726	103,0	84,5	618	105,0	85,5	532
5,0	9396,0		105,5	87,5	776	107,0	87,5	672	109,0	89,0	576
5,5	10335,6		109,5	90,5	818	110,0	90,5	712	112,0	92,0	616
6,0	11275,2		112,5	93,0	856	113,0	93,0	748	115,0	95,0	648

Tablo 5.2

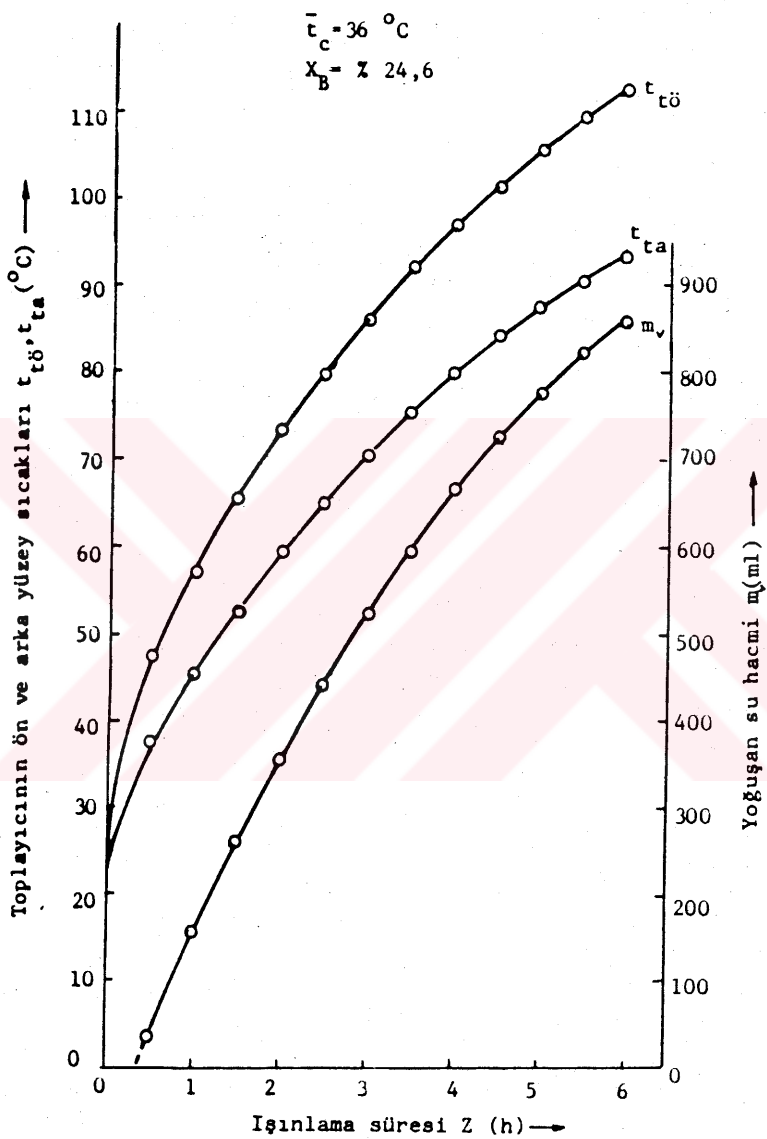
$\bar{t}_c = 43^{\circ}\text{C}$ sıcaklığında işinim enerjisi Q_r 'ye tekabül eden toplayıcı sıcaklıklarını $t_{tö}$, t_{ta} ve yoğuşan su miktarı m_v

$X_B = \% 24,6$			$X_B = \% 23,8$			$X_B = \% 23$				
Zaman	Q_r	$t_{tö}$	t_{ta}	m_v	$t_{tö}$	t_{ta}	m_v	$t_{tö}$	t_{ta}	m_v
Saat	kJ	$^{\circ}\text{C}$	$^{\circ}\text{C}$	ml	$^{\circ}\text{C}$	$^{\circ}\text{C}$	ml	$^{\circ}\text{C}$	$^{\circ}\text{C}$	ml
1,0	1879,2	59,5	47,5	100	62,5	49,5	50	66,0	51,5	14
1,5	2818,8	67,5	55,0	194	70,5	56,5	142	74,5	59,0	94
2,0	3758,4	75,0	62,0	282	78,0	62,5	232	80,5	65,0	172
2,5	4698,0	82,0	67,5	360	85,5	67,5	314	87,0	70,5	242
3,0	5637,6	88,5	72,5	434	91,5	72,5	388	93,0	75,5	308
3,5	6577,2	94,0	77,5	500	97,0	77,5	454	98,5	80,0	370
4,0	7516,8	99,0	82,0	564	102,0	82,5	514	103,0	84,5	426
4,5	8456,4	103,5	85,5	624	106,0	86,5	560	106,5	88,5	466
5,0	9396,0	107,0	89,0	674	109,5	90,0	600	110,0	92,0	506
5,5	10335,6	110,0	92,0	720	112,5	93,5	636	112,5	94,5	536
6,0	11275,2	113,0	94,5	754	115,0	96,0	656	115,0	97,0	558

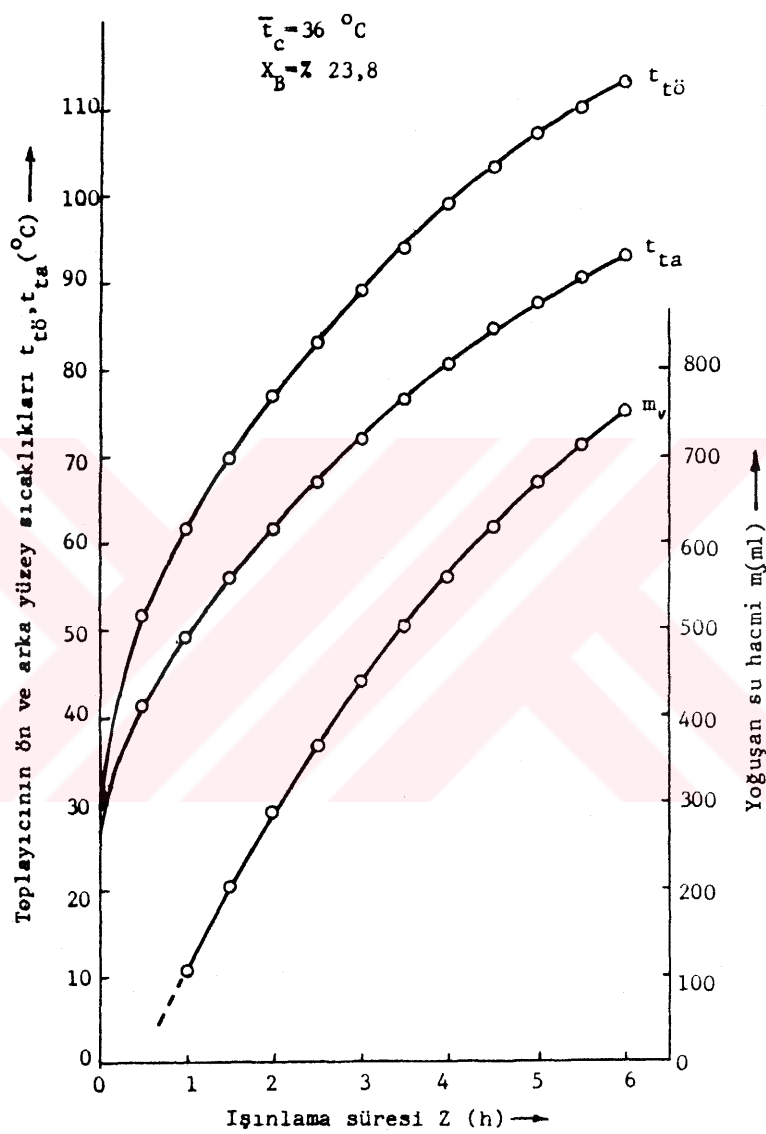
Tablo 5.3

$\bar{t}_c = 47^\circ C$ sıcaklığında ışınınım enerjisi Q_r 'ye tekabül eden toplayıcı sıcaklıklarını $t_{tö}$, t_{ta} ve yoğunsan su miktarı m_v

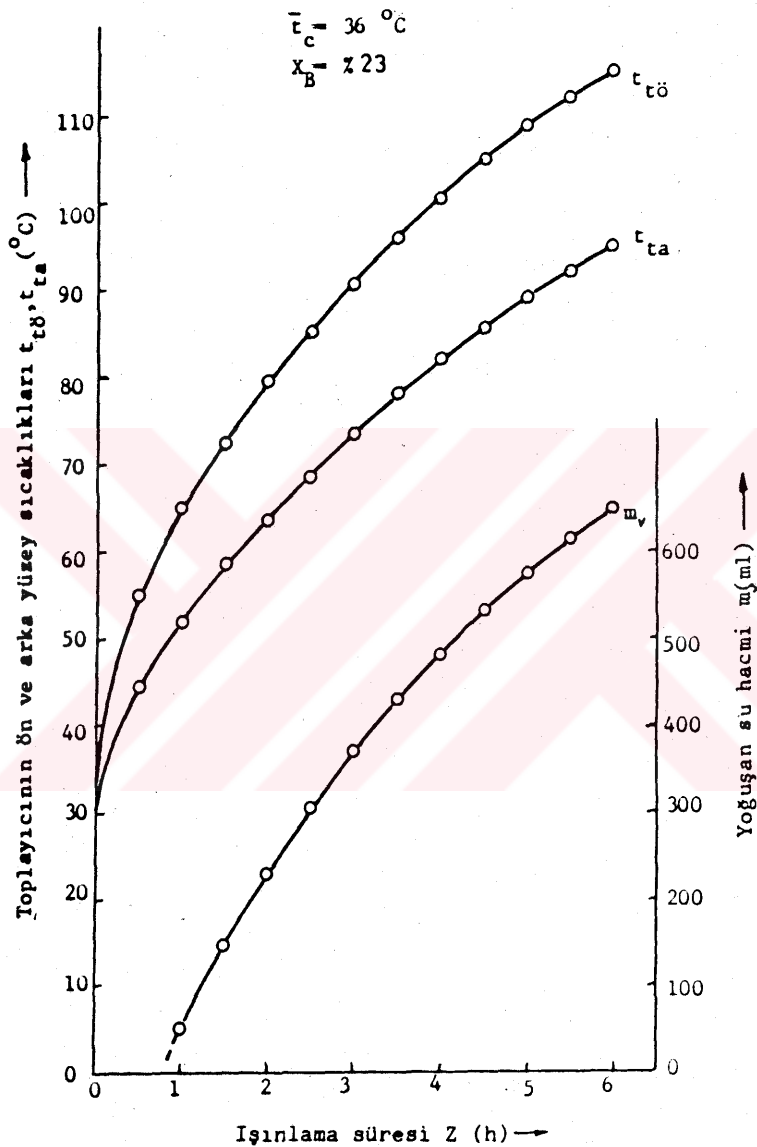
			$X_B = \% 24,6$			$X_B = \% 23,8$			$X_B = \% 23$		
Zaman	Q_r		$t_{tö}$	t_{ta}	m_v	$t_{tö}$	t_{ta}	m_v	$t_{tö}$	t_{ta}	m_v
Saat	kJ		$^{\circ}C$	$^{\circ}C$	ml	$^{\circ}C$	$^{\circ}C$	ml	$^{\circ}C$	$^{\circ}C$	ml
1,0	1879,2		62,0	49,5	52	64,5	51,5	16	66,5	53,5	0
1,5	2818,8		70,0	56,0	144	72,5	59,5	108	75,0	60,5	50
2,0	3758,4		77,0	62,0	224	79,5	65,5	188	82,0	66,0	132
2,5	4698,0		83,5	67,5	306	85,5	71,0	264	88,0	72,0	196
3,0	5637,6		90,0	72,5	384	91,5	76,0	330	93,5	77,0	254
3,5	6577,2		95,0	77,5	452	97,0	81,0	394	98,5	81,5	306
4,0	7516,8		99,5	82,5	512	101,5	85,5	452	103,0	85,5	354
4,5	8456,4		104,5	86,5	568	105,5	89,5	500	108,0	89,5	398
5,0	9396,0		109,0	90,0	620	110,0	93,0	542	112,5	93,0	438
5,5	10335,6		112,5	93,0	660	113,5	96,0	574	115,5	96,0	470
6,0	11275,2		115,5	95,5	692	116,5	98,5	600	118,5	98,5	496



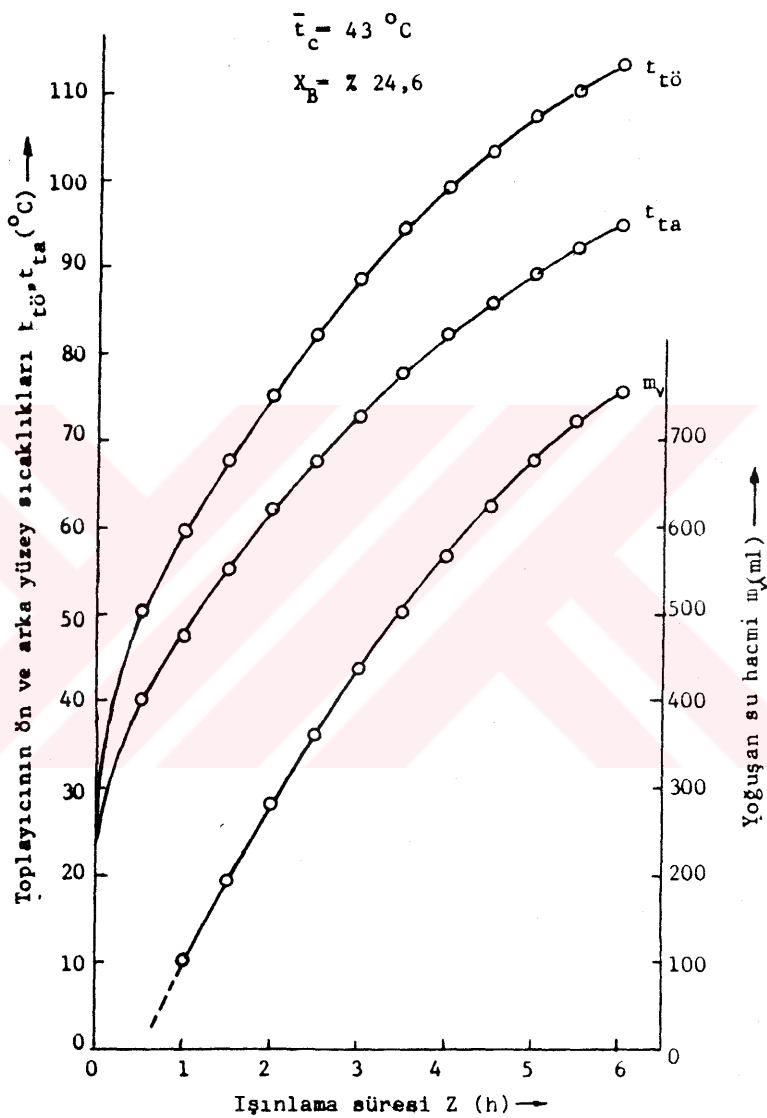
Şek. 5.1 : Toplayıcı yüzey sıcaklıklarları ve yoğuşan su hacminin ışınlama süresine bağlı olarak değişmesi.



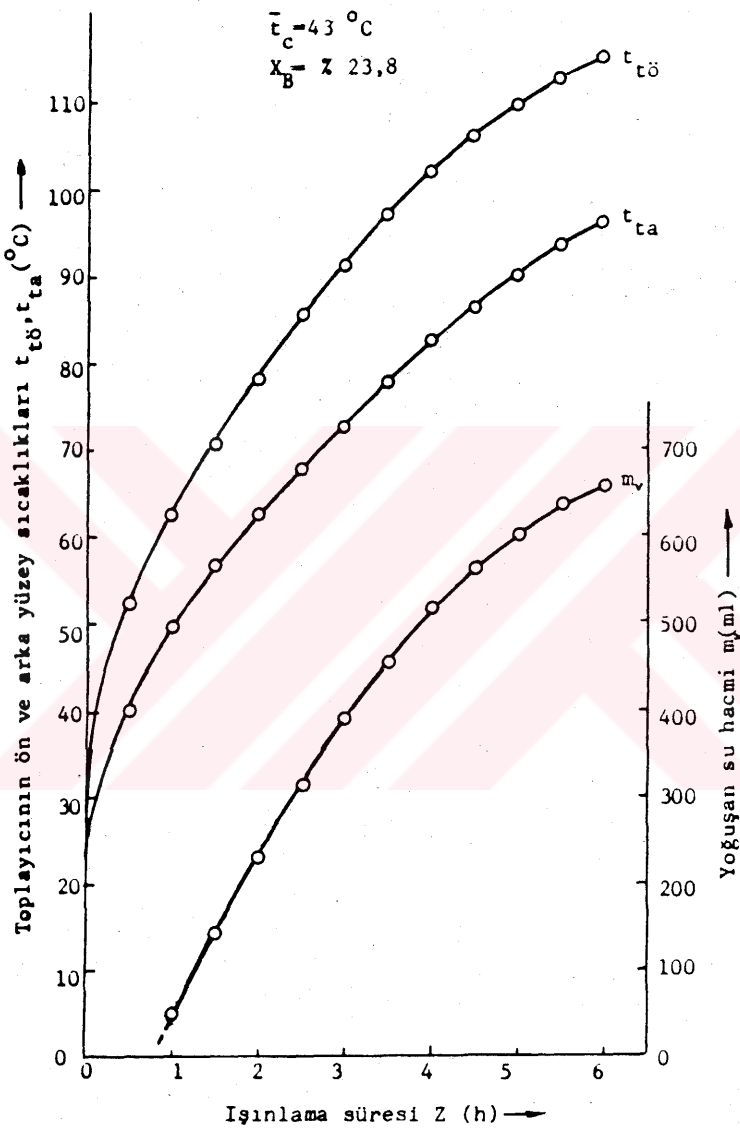
Şek. 5.2 : Toplayıcı yüzey sıcaklıklarları ve yoğunlaşan su hacminin ışınlama süresine bağlı olarak değişmesi.



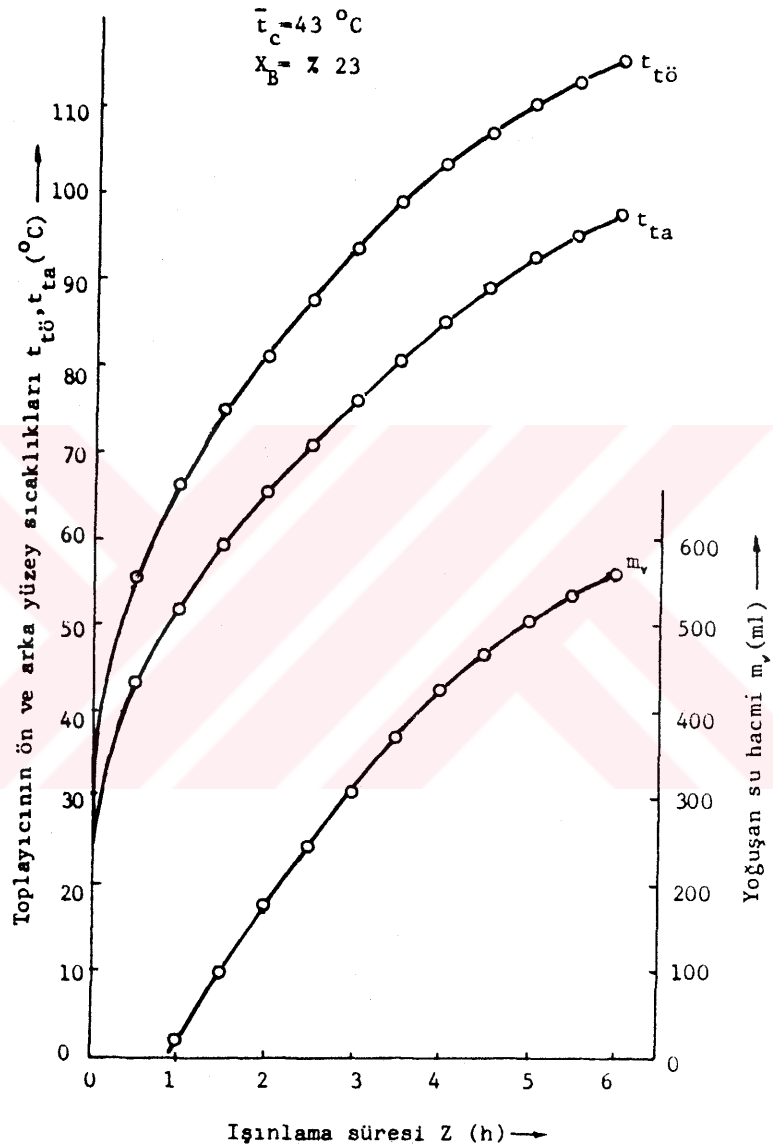
Şek. 5.3 : Toplayıcı yüzey sıcaklıklarını ve yoğunan su hacminin ışınlama süresine bağlı olarak değişmesi.



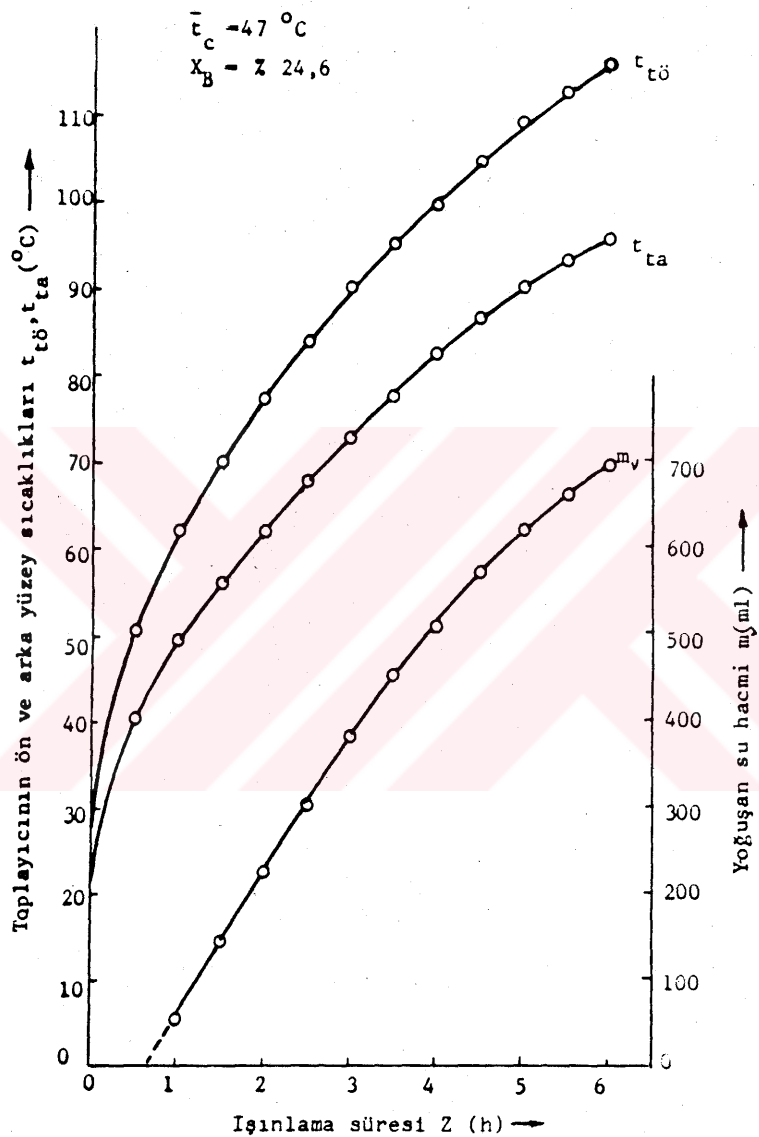
Şek. 5.4 : Toplayıcı yüzey sıcaklıklarları ve yoğunan su hacminin ıshınlama süresine bağlı olarak değişmesi.



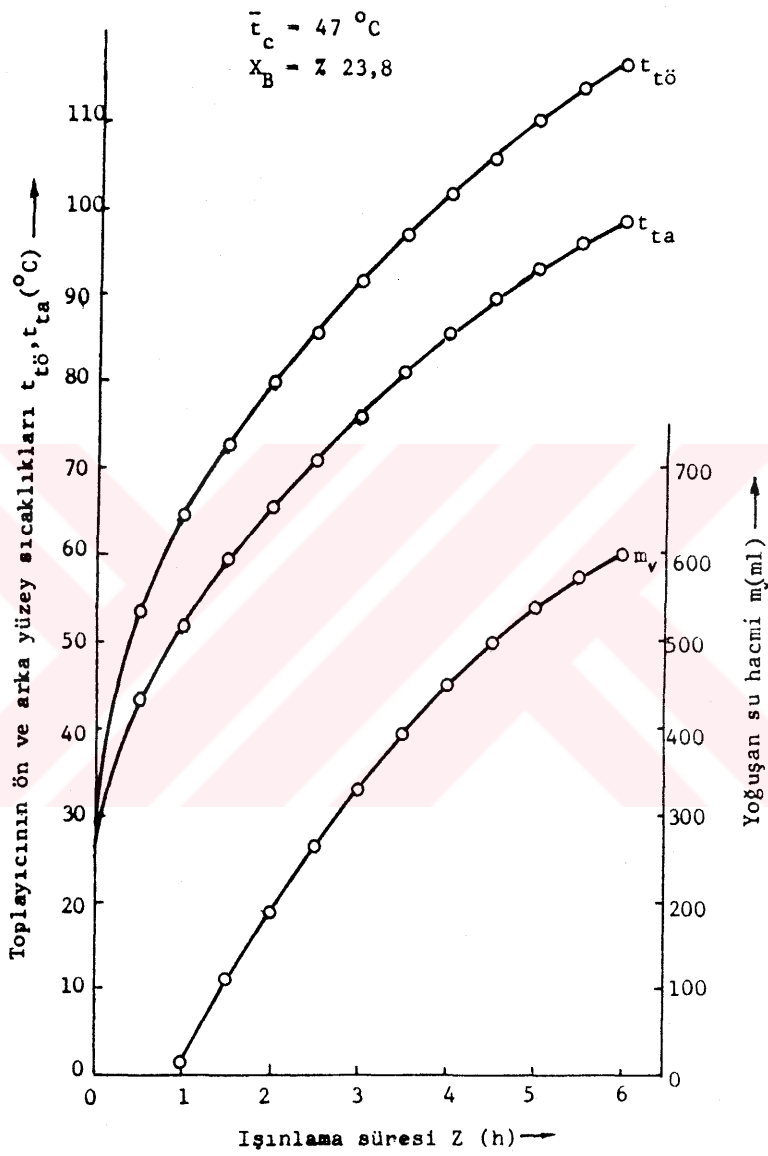
Şek. 5.5 : Toplayıcı yüzey sıcaklıklarları ve yoğunsan su hacminin ışınlama süresine bağlı olarak değişmesi.



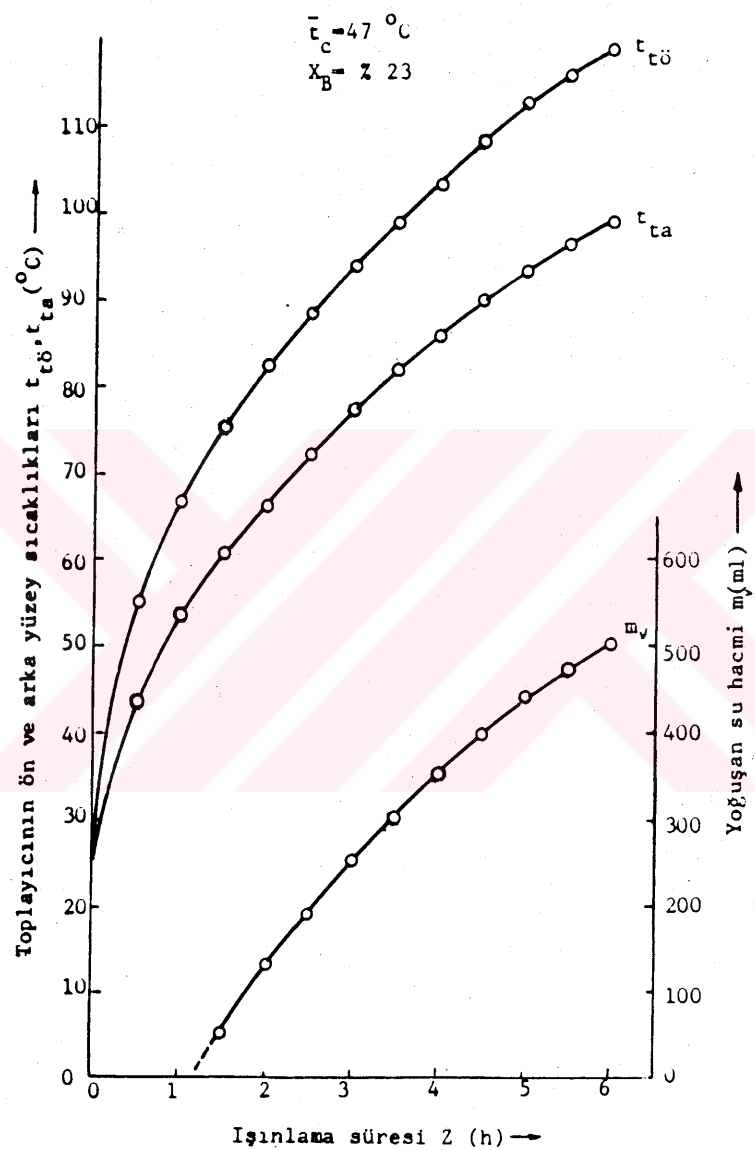
Şek. 5.6 : Toplayıcı yüzey sıcaklıklarları ve yoğunsan su hacminin ışınlama süresine bağlı olarak değişmesi.



Şek. 5.7 : Toplayıcı yüzey sıcaklıklarları ve yoğunan su hacminin ışınlama süresine bağlı olarak değişmesi.



Şek. 5.8 : Toplayıcı yüzey sıcaklıklarları ve yoğunan su hacminin ıshınlama süresine bağlı olarak değişmesi.



Şek. 5.9 : Toplayıcı yüzey sıcaklıklarları ve yoğunan su hacminin ışınlama süresine bağlı olarak değişmesi.

olur. Görülür ki \bar{t}_c 'nin büyümesi ile söz konusu oranda büyümektedir. Neticede belirli bir Z işinlama süresi için X_B 'nin küçülmesi ile \bar{t}_c 'nin büyümesi yoğunsan su miktarını azaltacak yönde etki yapmaktadır. Ayrıca işinlama başlangıcından itibaren yoğunsa (veya desorpsiyon) başlayıncaya kadar toplayıcıya düşmesi gereken Q_B işinim enerjisi X_B 'nin küçülmesi ve \bar{t}_c 'nin büyümesi ile daha büyük olmaktadır. Desorpsiyon eğrisinin Z eksenini kestiği nokta Z_B 'yi verir ve burada $Q_B = IZ_B$ olur.

5.2. Zeolitin Adsorpsiyon Doyma Kapasitesi

Işinlama safhasında yoğunsan su miktarının ölçülen değerlerini kullanarak zeolitin adsorpsiyon doyma kapasitesi

$$X_o = X_B - \frac{m}{G_z} 100 \quad (5.1)$$

bağıntısı yardımı ile hesaplanabilir. Elde edilen değerler (Tablo 5.4-5.6)'da verilmiş ve (Şek. 5.10-5.12)'deki diyagramlarda işinim enerjisi Q_r 'ye bağlı olarak gösterilmiştir. X_o 'ın değişimi incelenirse, X_o 'in yoğunsa başlangıcında hızlı daha sonra yavaş yavaş azaldığı görülür. Belirli bir \bar{t}_c 'ye ait desorpsiyon eğrileri (X_o) incelenirse, X_B 'nin küçülmesi ile birim işinim enerjisinde X_o 'ın düşmesinin azaldığı görülür. Ayrıca \bar{t}_c 'nin büyümesi ile birim işinim enerjisinde X_o 'ın düşmesi daha az olmaktadır.

5.3. Adsorpsiyon Doyma Kapasitesinin Q_r , \bar{t}_c ve X_B Cinsinden İfade Edilmesi

(Şek. 5.10-5.12)'de belirli bir ortalama yoğunsa sıcaklığında ve işinlama başlangıcında gözönüne alınan zeolitin su adsorpsiyon kapasitesinin değişik değerleri için bulunan adsorpsiyon doyma kapasitesi X_o değerleri Q_r üzerine taşınmış ve birbirlerine benzer bir eğriler demeti elde edilmiştir.

Table 5.4
 x_o değerleri ($\bar{t}_c = 36^{\circ}\text{C}$)

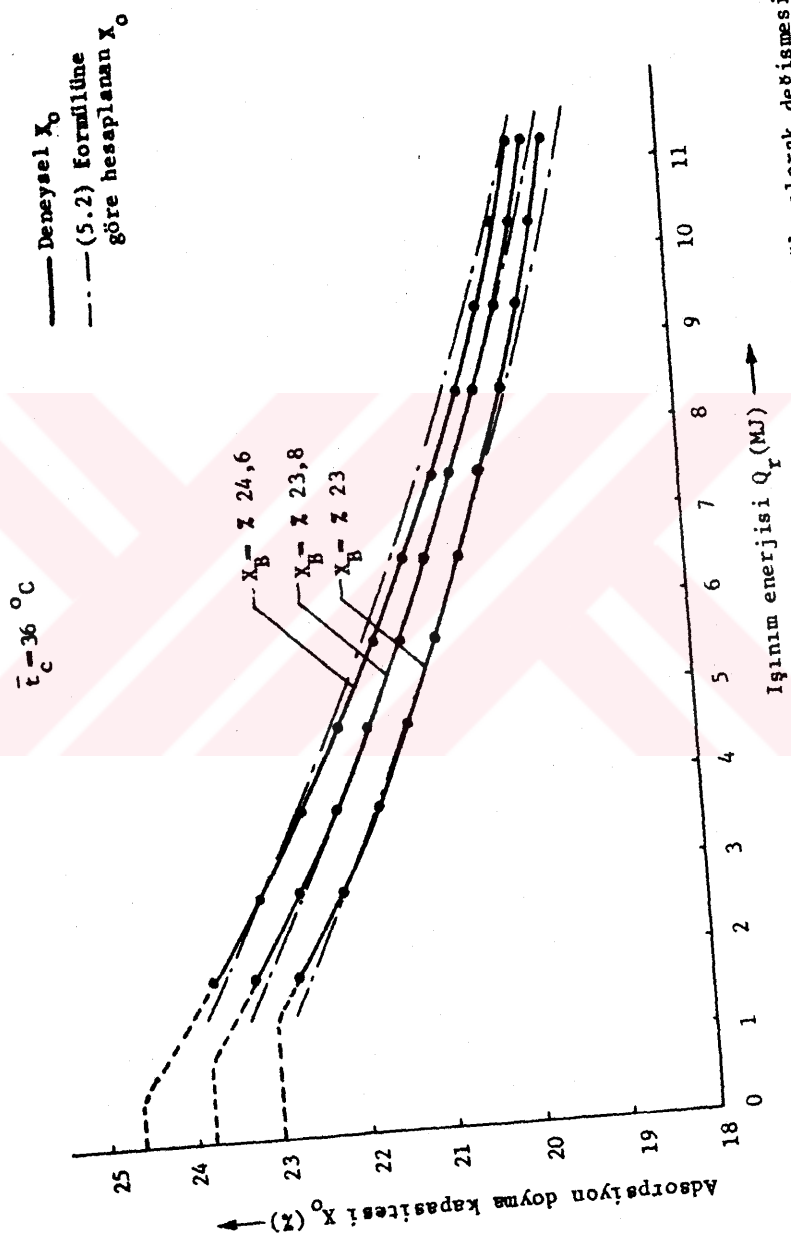
B = -0.13363546F-63				B = 0.8007			
YR = % 24,6				YR = % 25,6			
Or KJ	X DIENEY FORTRAN	X FABR	X DERKEY FORTRAN	X FABR	X DIENEY FORTRAN	X FABR	X DIENEY FORTRAN
46879.2	23.72	23.62	-0.44	23.49	23.66	0.56	22.74
23418.6	23.41	23.99	6.49	22.68	22.53	0.39	22.45
33758.4	22.58	22.62	-0.17	22.44	22.48	-0.05	21.67
34698.6	22.67	22.18	-9.46	21.72	21.74	-0.11	21.26
68687.6	21.62	21.77	-6.69	21.36	21.36	-0.28	20.89
858577.2	21.19	21.58	-9.01	20.99	20.99	-0.67	20.64
77516.8	20.79	21.61	-1.62	20.59	20.63	-0.22	20.23
44456.4	20.45	20.65	-6.79	20.27	20.39	-0.15	19.96
25596.0	20.17	20.31	-6.73	19.96	19.97	-0.04	19.71
03335.6	19.93	19.69	-6.54	19.73	19.65	-0.39	19.49
275.2	19.71	19.67	-6.49	19.53	19.55	0.94	19.39

Tabelo 5.5
 X_o değerleri ($t_c=43^{\circ}C$)

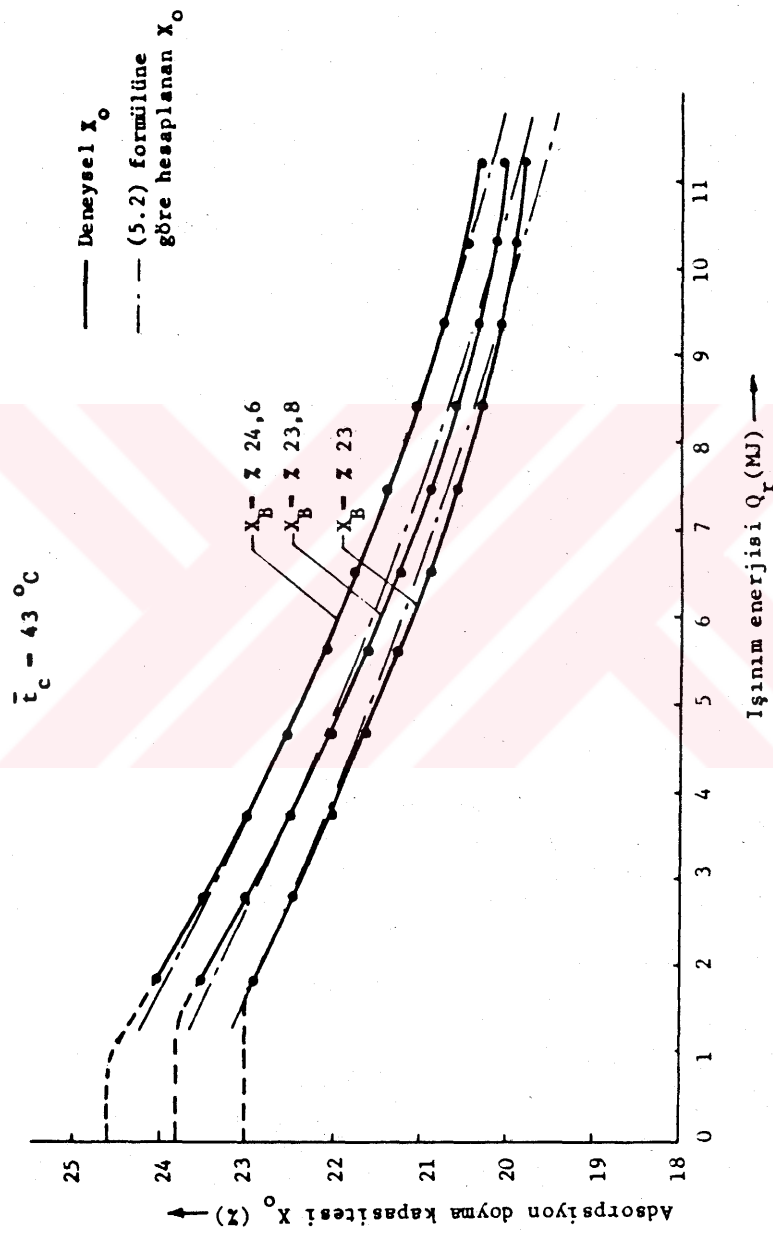
Gr KJ	$R = -0.12239782E-03$			$n = 0.8003$		
	$XB = \% 24,6$	$XB = \% 23,8$	$XB = \% 23,9$	$XB = \% 23,8$	$XB = \% 23,9$	$XB = \% 23,9$
	X DENNEY FORMÜL	X FARK	Z DENNEY FORMÜL	X FARK	Z DENNEY FORMÜL	X FARK
1979,2	24,63	23,92	0,45	23,54	23,38	0,59
2818,8	23,49	23,40	0,38	22,99	22,92	0,29
3758,4	22,99	22,95	0,18	22,47	22,51	-0,15
4698,0	22,54	22,53	0,06	22,61	22,42	-0,52
5637,6	22,12	22,14	-0,09	21,58	21,75	-0,79
6577,2	21,74	21,77	-0,14	21,21	21,49	-0,94
7516,8	21,38	21,42	-0,22	20,86	21,67	-1,00
8456,4	21,03	21,09	-0,26	20,69	20,75	-6,75
9396,0	20,75	20,77	-0,10	20,37	20,44	-0,55
10335,6	20,49	20,46	0,13	20,47	20,45	0,10
11275,2	20,29	20,16	0,64	20,05	19,86	0,97

Tablo 5.6
 χ_0 değerleri ($t_c = 47^\circ C$)

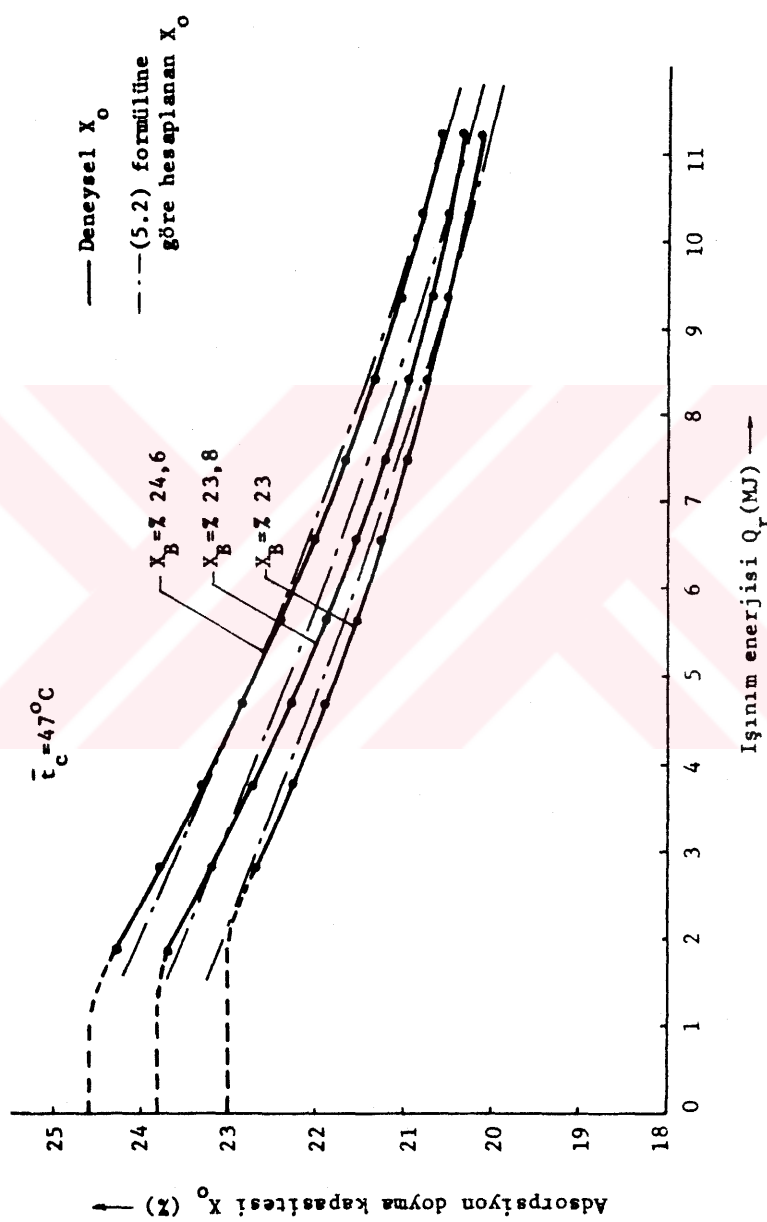
$\bar{G}T$ KJ	$\chi_{\text{R}} = \frac{\chi_0}{24}, \frac{\chi_0}{6}$			$\chi_{\text{R}} = \frac{\chi_0}{24}, \frac{\chi_0}{6}$			$\chi_{\text{R}} = \frac{\chi_0}{24}, \frac{\chi_0}{6}$		
	χ	χ_{DEFY}	χ_{FAR}	χ	χ_{DEFY}	χ_{FAR}	χ	χ_{DEFY}	χ_{FAR}
4879,9	24,79	24,47	9,47	33,74	33,74	23,69	14,47	23,69	14,47
2818,8	23,78	23,62	9,65	23,48	23,47	23,47	23,66	23,74	23,74
3758,4	23,37	23,19	6,45	32,73	32,73	22,74	22,73	22,73	22,73
4698,16	22,85	22,85	6,23	32,79	32,79	22,81	21,53	21,53	21,53
5533,8	22,44	22,43	9,42	31,91	31,91	23,67	19,74	21,56	19,74
6577,2	22,02	22,02	6,52	31,53	31,53	21,74	16,90	21,25	16,91
7516,8	21,67	21,76	9,49	21,22	21,43	21,43	11,93	21,41	11,93
8456,4	21,35	21,45	9,44	20,84	20,84	21,15	9,89	20,73	9,88
9396,19	21,94	21,45	6,42	20,76	20,76	20,64	9,67	20,55	9,67
10335,6	20,83	20,86	6,44	20,52	20,52	20,50	9,26	20,31	9,26
11275,7	20,45	20,45	9,35	20,37	20,37	20,37	9,40	20,17	9,40



Şek. 5.10 : Adsorpsiyon doyma kapasitesinin iginim enerjisine bağlı olarak değişmesi.



Sek. 5.11 : Adsorbsiyon doyma kapasitesinin ıstinim enerjisine bağlı olarak değişmesi.



Şek.5.12: Adsorpsiyon doyma kapasitesinin ışınım enerjisine bağlı olarak değişmesi.

Diğer taraftan X_o değerleri logoritmik olarak $(Q_r - Q_B)^n$ üzerine taşınırsa n'in yaklaşık 0,8 değeri için birbirlerine paralel bir doğrular demeti elde edilir. Q_B (Bölüm 5.1)'de açıklandığı gibi sisteme yoğunmanın başlaması için toplayıcıya düşmesi gereken ışının enerjisidir. Dolayısıyla ışınlama başlangıcında doymuş zeolitin adsorpsiyon kapasitesi için $X_{BD} = \% 24,6$ değeri kullanılrsa

$$X_o = 24,6 e^{B(Q_r - Q_F)^n} \quad (5.2)$$

şeklinde bir formül elde edilir. Bu ışınlama başlangıcında zeolit doymuş halde ise $Q_F = Q_B$ olur. Formüldeki n'nin değeri (Ek 2)'de verilen hesap makinası programı ile belirlenmiş ve bu çalışmada söz konusu olan deney şartları için $n=0,8003$ elde edilmiştir. Söz konusu programdan hesaplanan B değerleri \bar{t}_c üzerine taşınırsa elde edilen eğrinin

$$B = 6,793 \cdot 10^{-7} (\bar{t}_c - 36)^{1,442} - 13,364 \cdot 10^{-5} \quad (5.3)$$

şeklindeki bir bağıntı ile ifade edilebileceği görülür.

Doymuş zeolit halinde Q_F değerini hesaplayabilmek için önce ışınlama başlangıcında sisteme yoğunmanın başlaması için toplayıcının alması gereken Q_{Bt} ısısı hesaplanmıştır. Bunun için yoğunlaşma başlangıcına kadar zeolitin sıcaklığında meydana gelen değişmenin Δt_{desB} olduğu ve sıcaklığın toplayıcındaki zeolit tabakası kalınlığı boyunca lineer değiştiği varsayılmıştır. Bu koşullarda söz konusu aralıkta zeolitin doymuş olması halinde toplayıcının aldığı ısı

$$Q_{Bt} = q_o \Delta t_{desB} \quad (5.4)$$

kadardır. Deney tesisatı için $q_o = 44,17 \text{ kJ}/{}^\circ\text{C}$ hesaplanmıştır. Ayrıca $T_c = 298,15 \text{ K}$, $T_e = 278,15 \text{ K}$ ve $Q_o/Q_a = 0,63$ için (2.33) bağıntısından zeolitin sıcaklığında meydana gelen değişme

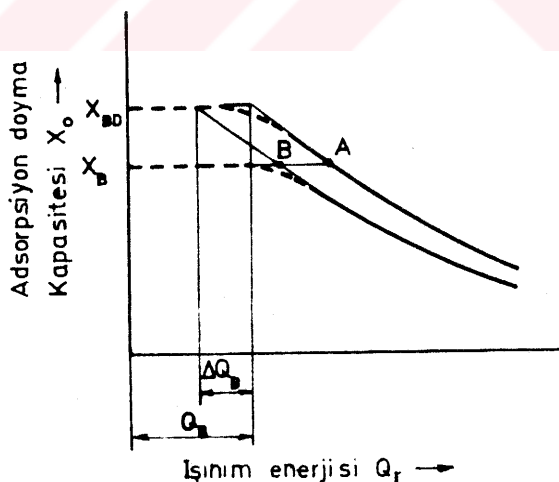
$$\Delta t_{desB} = \frac{1}{1,09 \cdot 10^{-3} + \frac{0,63}{\bar{T}_C}} - 298,15 \quad (5.5)$$

eşitliğinden hesaplanabilir. (5.4) bağıntısından hesaplanan Q_{Bt} değerleri ile (Bölüm 5.1)'de açıklanan şekilde elde edilen Q_B değerleri kullanılarak

$$\alpha = \frac{Q_B}{Q_{Bt}} = 0,03 \bar{\epsilon}_c - 0,433 \quad (5.6)$$

bağıntısı elde edilir. Böylece (5.2) formülünde Q_F yerine αQ_{Bt} konur.

B_c Işınlama başlangıcında doymamış halde ($X_B < X_{BD}$) bulunan zeolitte yoğunlaşma başlangıcına kadar verilen ışınım enerjisi sıcaklığın artmasına ve dolayısıyla yoğunmanın ışınlama başlangıcında doymuş halde bulunan zeolite ait desorpsiyon eğrisinin A noktası yerine B noktasında başlamasına neden olur (Şek. 5.13). BA aralığına ΔQ_B ısı miktarı tekabül eder. Bu taktirde ışınlama başlangıcında doymamış halde



Şek. 5.13: Belirli ortalama yoğunlaşma sıcaklığında başlangıç adsorpsiyon kapasitesinin değişmesinin desorpsiyon eğrilerine etkisi.

bulunan zeolit için (5.2) formülünde Q_F yerine ($\alpha Q_{Bt} - \Delta Q_B$) değeri kullanılır. Bu hesaplar yapılarken ΔQ_B 'nin sadece ($24,6 - X_B$) farkına bağlı olduğu kabul edilmiştir. ($24,6 - X_B$) kadar suyun duyulur ısısı Q_1 aynı miktar buharın antalpisi Q_2 ve desorpsiyon ısısı Q_3 'ün toplamı ΔQ_B ısısına eşittir. Bu ıslar kJ cinsinden

$$\begin{aligned} Q_1 &= 10 (24,6 - X_B) \\ Q_2 &= 500 (24,6 - X_B) \\ Q_3 &= 730 (24,6 - X_B) \end{aligned}$$

yazılırsa

$$\Delta Q_B = 1240 (24,6 - X_B) \quad (5.7)$$

elde edilir. Dolayısıyle ışınlama başlangıcında doymuş halde bulunan zeolit ile doymamış halde bulunan zeolit için geçerli olmak üzere (5.2) formülünde Q_F yerine

$$Q_F = \alpha Q_{Bt} - \Delta Q_B \quad (5.8)$$

büyüklüğü kullanılabilir. $X_B = \% 24,6$ için $\Delta Q_B = 0$ olacağından $Q_F = Q_B = \alpha Q_{Bt}$ olur. Belirli bir t_c 'de Q_F 'nin $X_B = \% 23,8$ ve $\% 23$ e ait değerleri (5.2) formülüne taşınmış ve $X_B = \% 23,8$ ve $\% 23$ e ait desorpsiyon eğrileri elde edilmiştir (Şek. 5.10-5.12).

İşınlama safhasında zeolitin (5.2) formülüne göre hesaplanan adsorpsiyon doyma kapasitesi ile deneysel olarak bulunan adsorpsiyon doyma kapasitesi ve her ikisinin arasındaki sapma yüzdeleri (Tablo 5.4-5.6)'da verilmiştir. Ayrıca (5.2) formülüne göre zeolitin adsorpsiyon doyma kapasitesinin Q_r 'ye bağlı olarak değişimi (Şek. 5.10-5.12)'de de kesik çizgili eğrilerle gösterilmiştir. En büyük sapma $\% 1,35$ tir ve sapmaların eğri etrafında oldukça üniform bir şekilde dağıldığı görülmektedir.

5.4. Toplayıcı Ani Verimi

Yukarıda belirtildiği gibi toplayıcıya belirli bir Q_B ısınım enerjisi düştükten sonra yoğunlaşma başlar. Bu nedenle toplayıcı verimi ve sistemin soğutma etki katsayıları yoğunlaşma başlangıcından sonrası için hesaplanabilir ve $Q_r > Q_B$ için sonuçlar diyagramlarda gösterilebilir (Bölüm 5.4-5.8). Toplayıcı verimi ve sistemin soğutma etki katsayılarının hesaplanması (Bölüm 2.6)'da açıklanan yöntem uygulanmıştır.

Toplayıcının η_{ta} ani veriminin (2.47) bağıntısı ile hesaplanan değerleri (Tablo 5.7-5.9)'da verilmiş ve (Şek. 5.14-5.22)'deki diyagramlarda gösterilmiştir. Hesaplar yapılırken zeolitin adsorpsiyon doyma kapasitesi ile adsorpsiyon ısları [4,15,32] kaynaklarından alınmıştır. Bu eğrilerde görülen Q_r 'ler için ($\Delta Z_i = 30$ dak.) zaman aralığının ortasındaki değerler alınmıştır.

Toplayıcının ani verimi çizilirken (2.47) bağıntısındaki q_o ve q_x büyüklüklerinin deney sırasında çok az değiştiği gözönünde tutulmuş ve $(\Delta Q_r)_i = 939,6$ kJ alınmıştır. Ani verimin sadece $\Delta \bar{t}$ ve Δm 'nin bir fonksiyonu olduğu gözönünde tutulmuştur. Sisteme ait q_o ve q_x değerleri (Ek 2)'deki hesap makinası programı ile bulunmuştur. $\Delta \bar{t}$ hesaplanırken yoğunlaşma sırasında sıcaklığın toplayıcı ön yüzeyi ile arka yüzeyi arasında lineer olarak değiştiği kabul edilmiştir.

Ani verim diyagramları incelenirse ıslık kayıpların az olması nedeniyle yoğunlaşma başlangıcında toplayıcının ani veriminin maksimum olduğu, Q_r 大幅度 toplayıcı sıcaklığının yükselmesi nedeniyle düşüğü görülür.

(Şek. 5.14-5.16)'da $\bar{t}_c = 36^\circ C$ ye ait toplayıcı verim eğrilerinden, X_B 'nin % 24,6'dan % 23'e kadar azalması halinde toplayıcının ani veriminin ortalama olarak 0,50'den 0,44'e kadar düşüğü görülür. Ayrıca doymuş zeolite ait (Şek. 5.14) ve (Şek. 5.17) ve (Şek. 5.20)'de \bar{t}_c 'nin $36^\circ C$ den $47^\circ C$ ye yükselmesi sonucu toplayıcı ani verimi ortalama olarak 0,50 den 0,476 ya kadar düşmektedir. Görüldüğü gibi X_B 'nin azal-

Tablo 5.7

α_r 'ye tekabül eden n_{ta} , β_{ia} ve β_a değerleri ($\bar{t}_c = 36^\circ C$).

XR (%)	OR (cd)	n_{ta}	β_{ia}	β_a
24,6	2349,00	0,7718	0,3453	0,2664
	3288,60	0,6996	0,3380	0,2363
	4228,20	0,6188	0,3587	0,2712
	5167,80	0,5834	0,3447	0,2011
	6107,40	0,5359	0,3471	0,1869
	7047,00	0,4856	0,3623	0,1759
	7986,60	0,4232	0,3564	0,1568
	8926,20	0,3610	0,3481	0,1257
	9865,80	0,3112	0,3321	0,1056
	10805,40	0,2692	0,3548	0,0955
23,8	2349,00	0,7107	0,3324	0,2363
	3288,60	0,6473	0,3494	0,2262
	4228,20	0,5489	0,3388	0,1866
	5167,80	0,5362	0,3468	0,1860
	6107,40	0,4823	0,3479	0,1669
	7047,00	0,4345	0,3471	0,1568
	7986,60	0,3959	0,3553	0,1467
	8926,20	0,3656	0,3713	0,1357
	9865,80	0,2879	0,3491	0,1065
	10805,40	0,2602	0,3467	0,0965
23,0	2349,00	0,6937	0,3479	0,2413
	3288,60	0,6073	0,3559	0,2161
	4228,20	0,5171	0,3692	0,1816
	5167,80	0,4921	0,3371	0,1659
	6107,40	0,4663	0,3357	0,1558
	7047,00	0,3909	0,3343	0,1307
	7986,60	0,3634	0,3319	0,1206
	8926,20	0,3361	0,3290	0,1106
	9865,80	0,2875	0,3497	0,1005
	10805,40	0,2553	0,3150	0,0864

Tablo 5.8

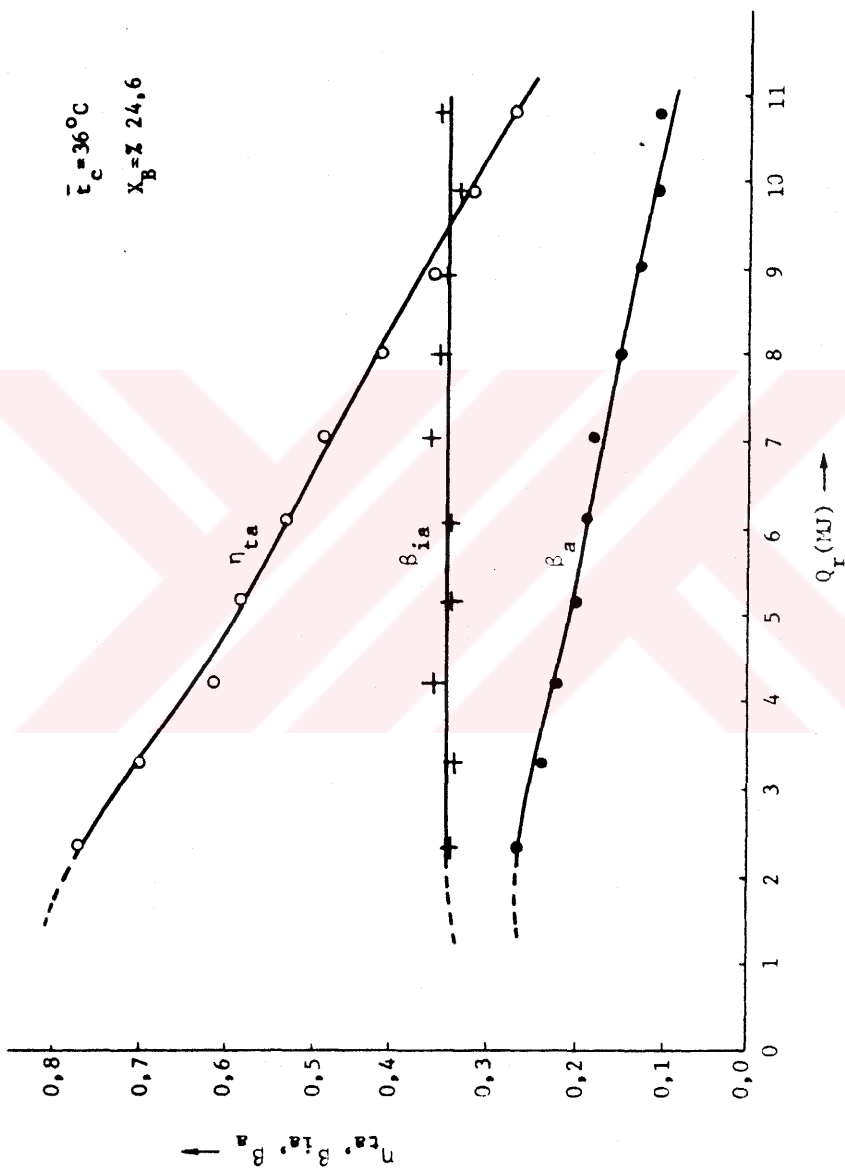
Q_r 'ye tekâbul eden n_{ta} , β_{ia} ve β_a değerleri ($\bar{t}_c = 43^{\circ}\text{C}$).

XB (%)	QR (kJ)	n_{ta}	β_{ia}	β_a
24,6	2349,00	0,7262	0,3213	0,2333
	3288,60	0,6772	0,3225	0,2184
	4228,20	0,5903	0,3280	0,1936
	5167,80	0,5563	0,3338	0,1837
	6107,40	0,4950	0,3310	0,1638
	7047,00	0,4636	0,3426	0,1589
	7986,60	0,4136	0,3600	0,1489
	8926,20	0,3514	0,3532	0,1241
	9865,80	0,3131	0,3647	0,1142
	10805,40	0,2543	0,3318	0,0844
23,8	2349,00	0,7044	0,3242	0,2284
	3288,60	0,6600	0,3385	0,2234
	4228,20	0,6040	0,3376	0,2035
	5167,80	0,5372	0,3419	0,1837
	6107,40	0,4932	0,3322	0,1638
	7047,00	0,4573	0,3257	0,1489
	7986,60	0,3572	0,3197	0,1142
	8926,20	0,3119	0,3193	0,0993
	9865,80	0,2838	0,3149	0,0894
	10805,40	0,1876	0,2647	0,0498
23,0	2349,00	0,6773	0,2932	0,1986
	3288,60	0,5770	0,3355	0,1926
	4228,20	0,5439	0,3195	0,1787
	5167,80	0,5044	0,3248	0,1638
	6107,40	0,4653	0,3307	0,1530
	7047,00	0,4186	0,3324	0,1396
	7986,60	0,3718	0,3085	0,0993
	8926,20	0,3164	0,3199	0,0993
	9865,80	0,2770	0,3280	0,0745
	10805,40	0,1954	0,2799	0,0546

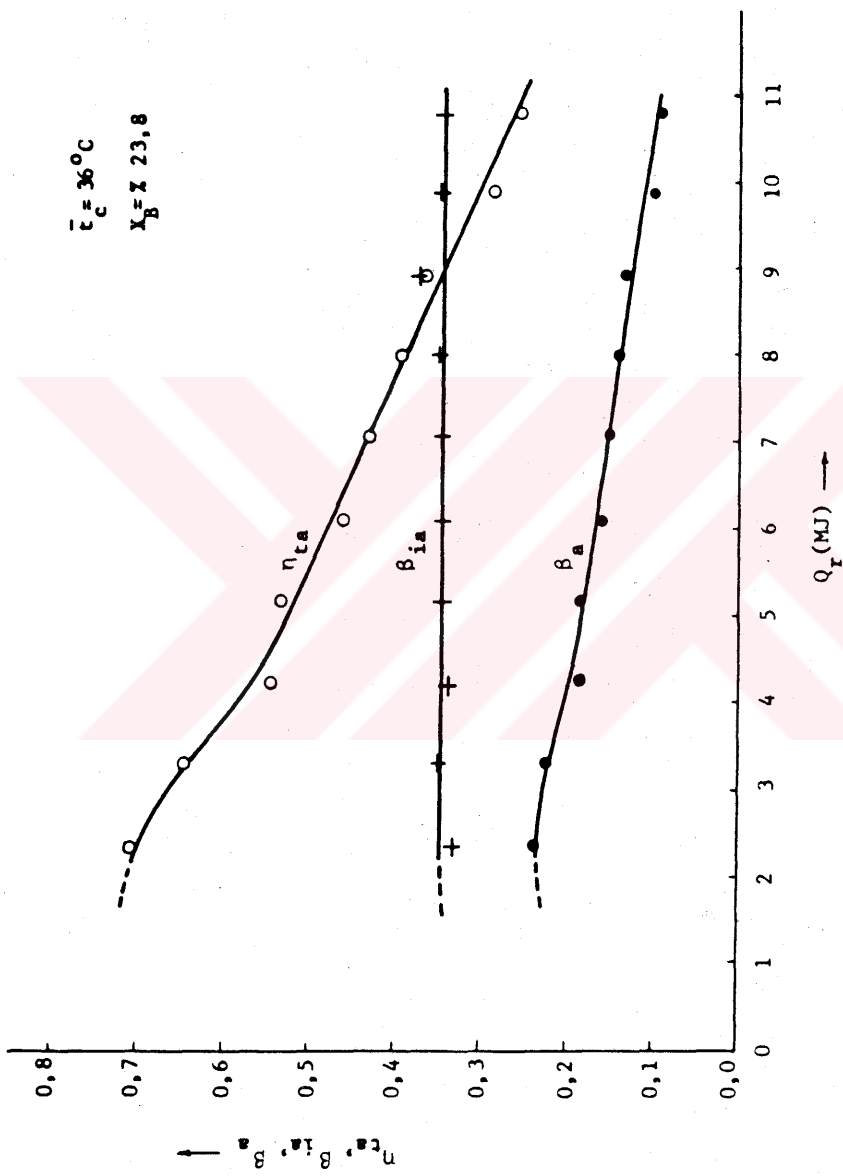
Tablo 5.9

Ω_r 'ye tekâbül eden n_{ta} , β_{ia} ve β_a değerleri ($\bar{t}_c = 47^\circ C$)

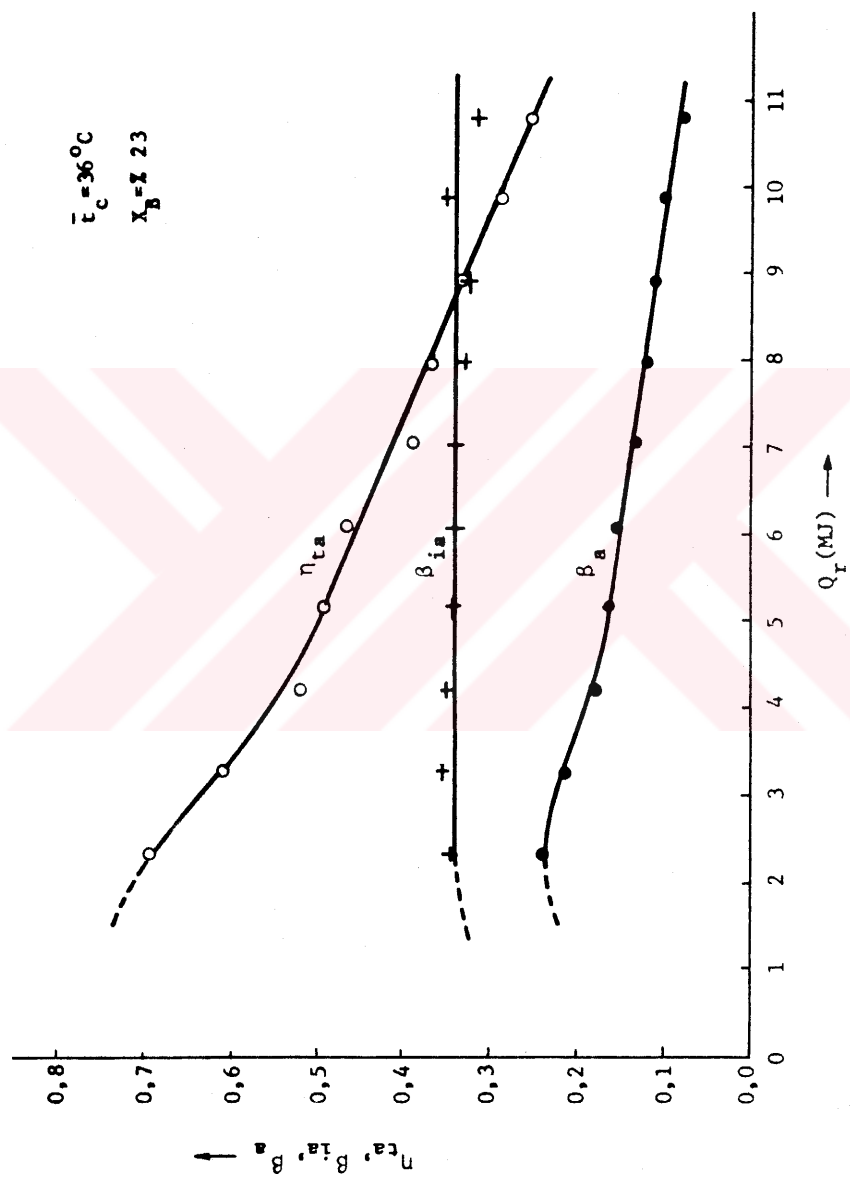
XB (%)	QR (kJ)	n_{ta}	β_{ia}	β_a
24,6	2349,00	0,6966	0,3255	0,2267
	3288,40	0,6128	0,3217	0,1971
	4228,20	0,5959	0,3391	0,2021
	5167,80	0,5671	0,3389	0,1922
	6107,40	0,4925	0,3492	0,1676
	7047,00	0,4487	0,3295	0,1478
	7986,60	0,4268	0,3279	0,1380
	8926,20	0,3821	0,3354	0,1281
	9865,80	0,3610	0,3275	0,0986
	10805,40	0,2470	0,3192	0,0789
23,8	2349,00	0,7293	0,3113	0,2187
	3288,40	0,6103	0,3230	0,1971
	4228,20	0,5580	0,3354	0,1873
	5167,80	0,5083	0,3269	0,1626
	6107,40	0,4864	0,3242	0,1577
	7047,00	0,4283	0,3337	0,1429
	7986,60	0,3880	0,3232	0,1183
	8926,20	0,3418	0,3039	0,1035
	9865,80	0,2687	0,2935	0,0789
	10805,40	0,2228	0,2876	0,0641
23,6	2521,00	0,6619	0,2932	0,1941
	3288,60	0,6649	0,3360	0,2021
	4228,70	0,5212	0,3028	0,1577
	5167,80	0,4627	0,3089	0,1429
	6107,40	0,4178	0,3082	0,1281
	7047,00	0,3771	0,3137	0,1183
	7986,60	0,3715	0,2918	0,1084
	8926,20	0,3331	0,2959	0,0986
	9865,80	0,2573	0,3064	0,0789
	10805,40	0,2224	0,2881	0,0641



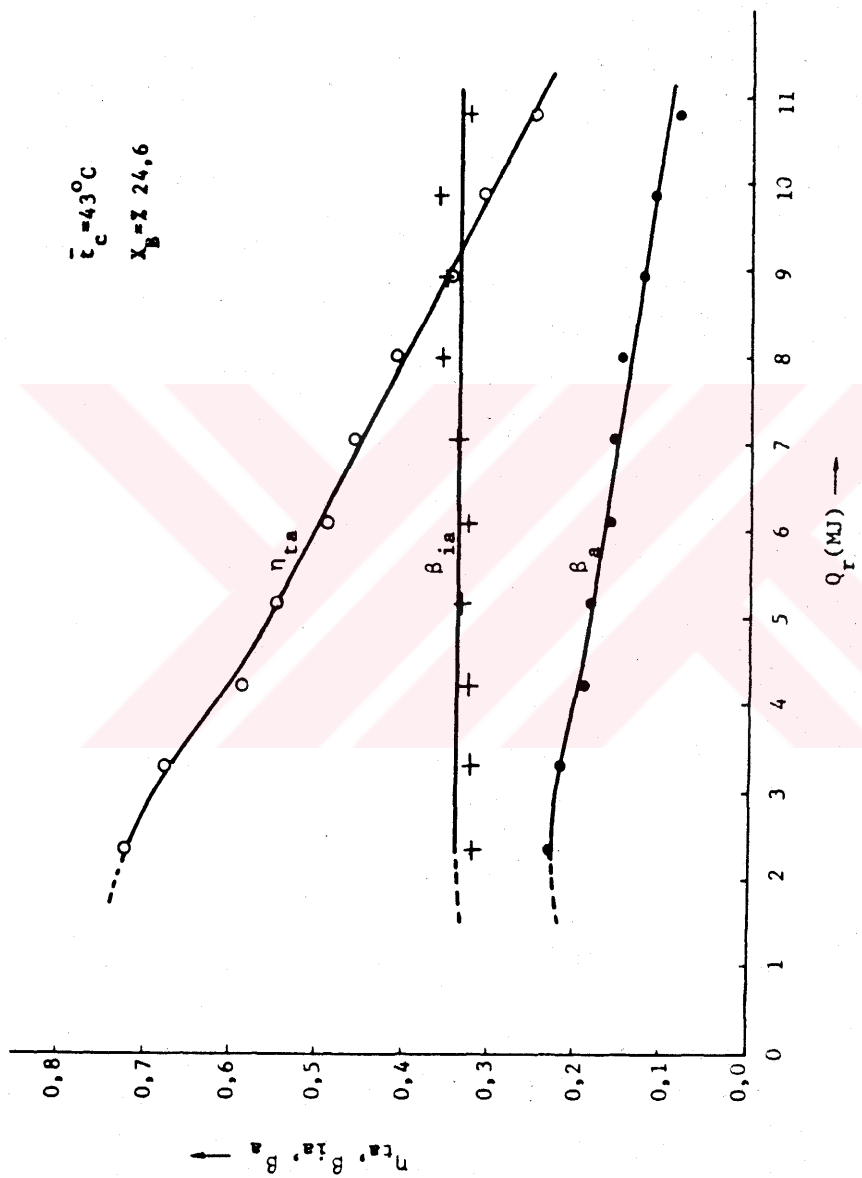
Şek.5.14: Toplayıcı anı verimi η_{ta} , ani iç soğutma etki katsayısı β_{iia} ve anı toplam soğutma etki katsayısı β_a 'nın ışınım enerjisi Q_f 'ye bağlı olarak değişmesi.



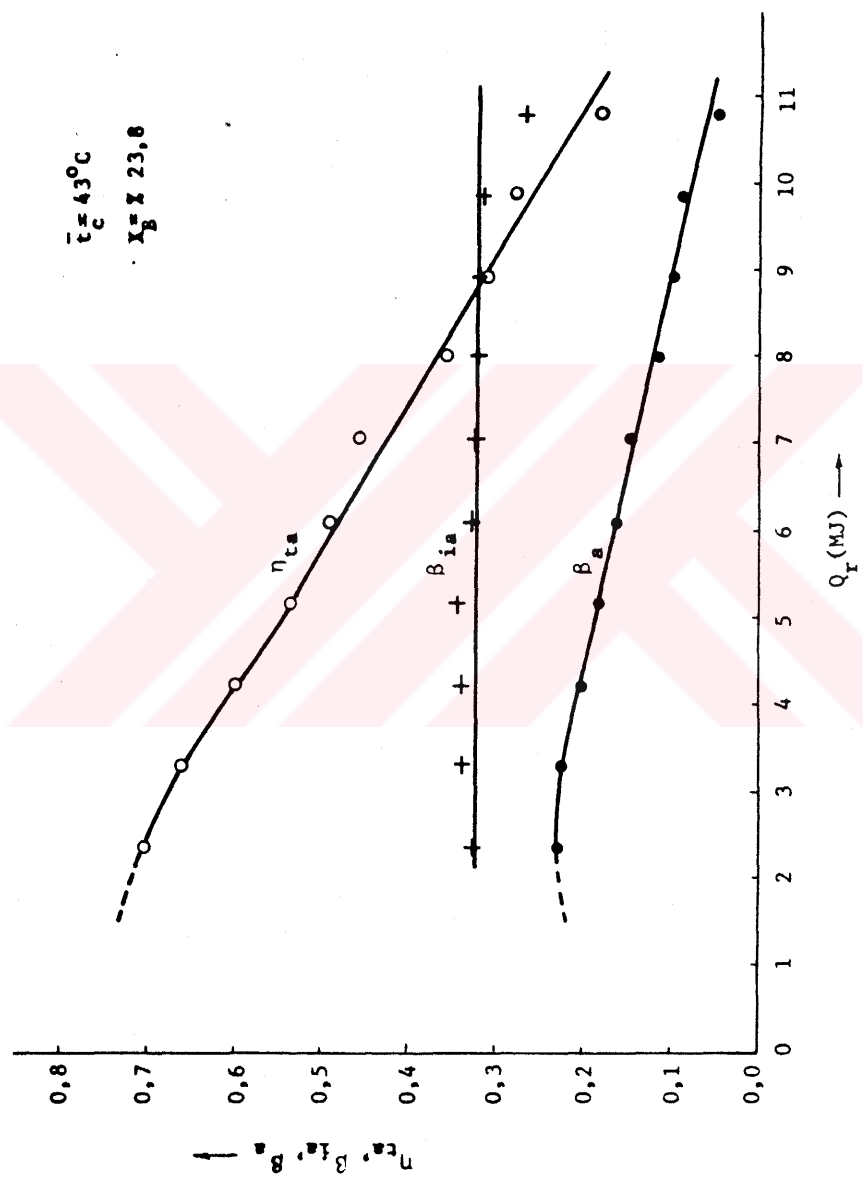
Sek. 5.15: Toplayıcı anı verimi η_{ta} , anı iç soğutma etki katsayısı β_{ia} ve anı toplam soğutma etki katsayısı β_a 'nın ışınım enerjisi Q_r 'ye bağlı olarak değişmesi.



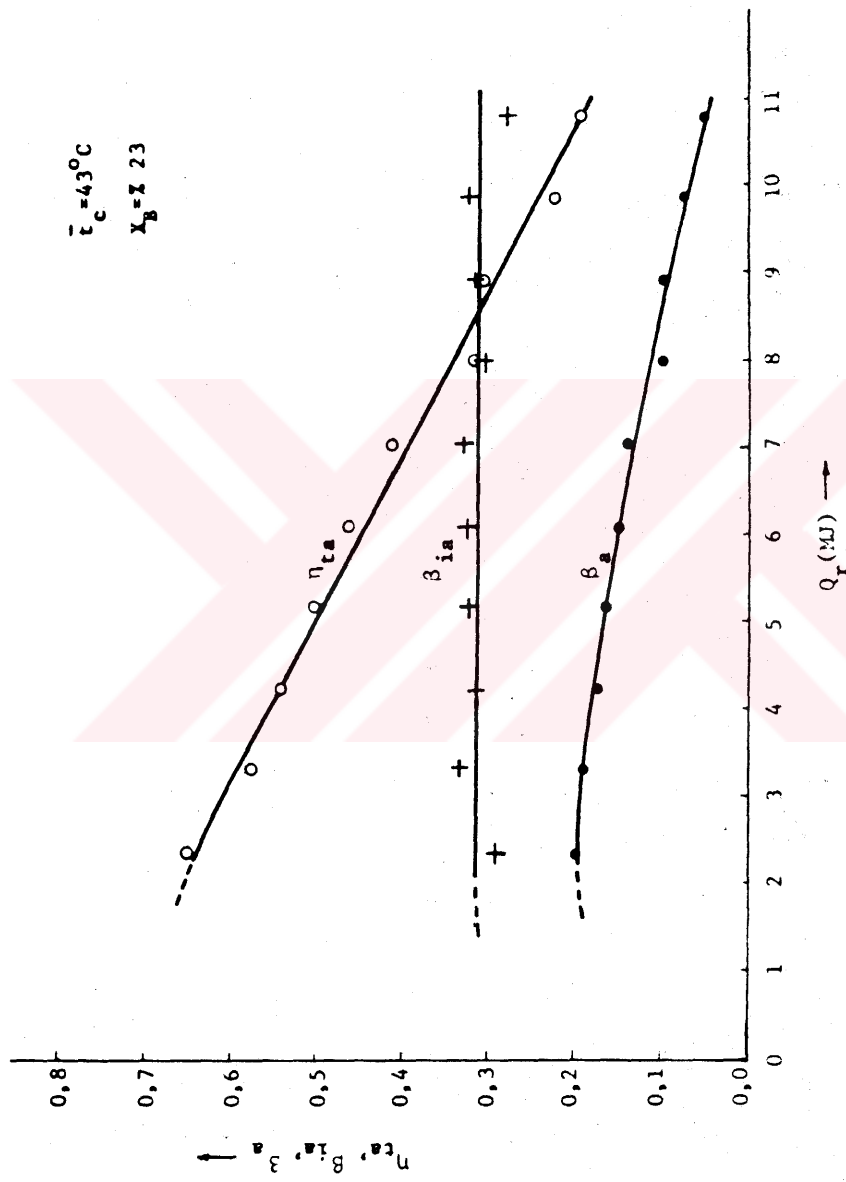
Şek.5.16: Toplayıcı ani verimi η_{ta} , ani iç soğutma etki katısayısı β_{ia} ve anı toplam soğutma etki katısayısı β_a 'nın ıslanım enerjisi Q_r 'ye bağlı olarak değişmesi.



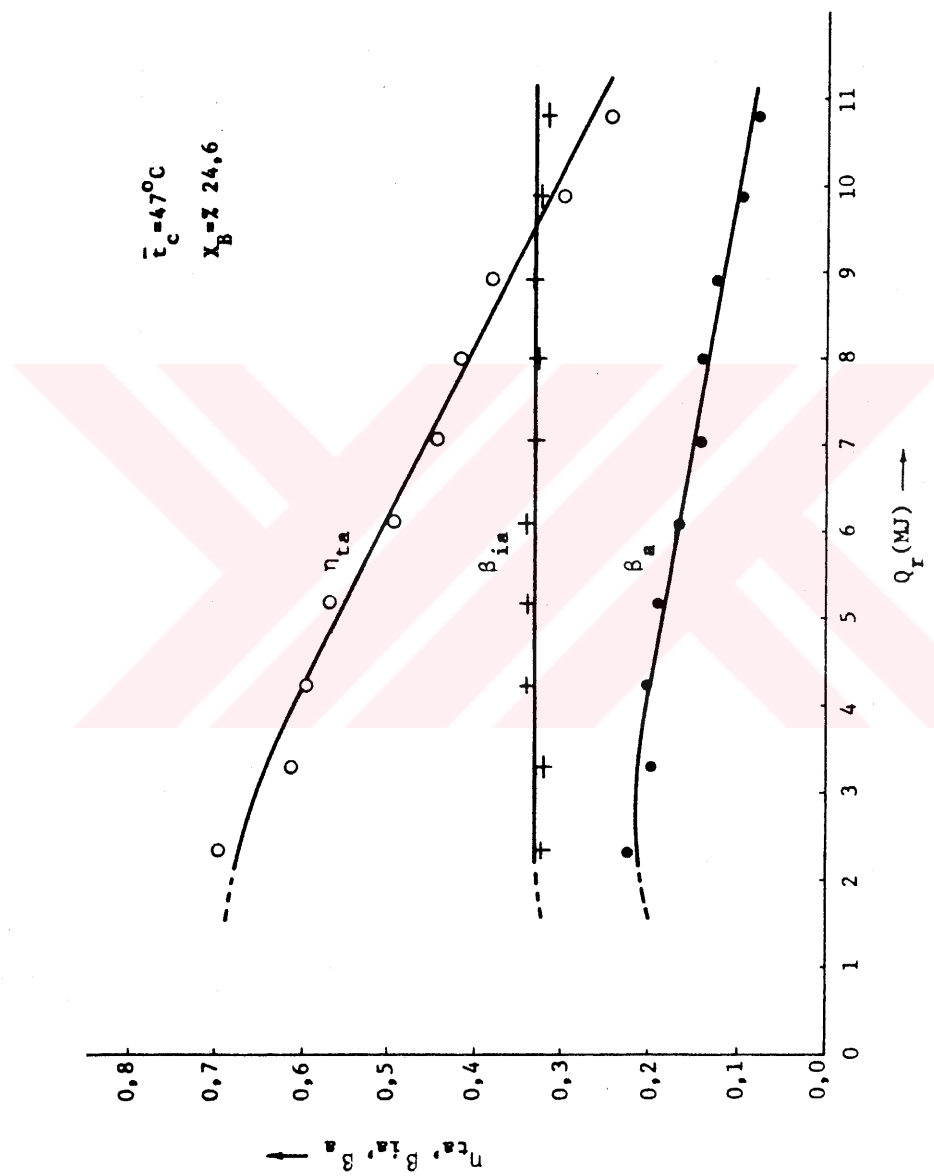
Şek.5.17: Toplayıcı anı verimi η_{ta} , anı iç soğutma etki katsayıısı β_{ia} ve anı toplam soğutma etki katsayıısı β_a 'nın ışınım enerjisi Q_r 'ye başlı olarak değişmesi.



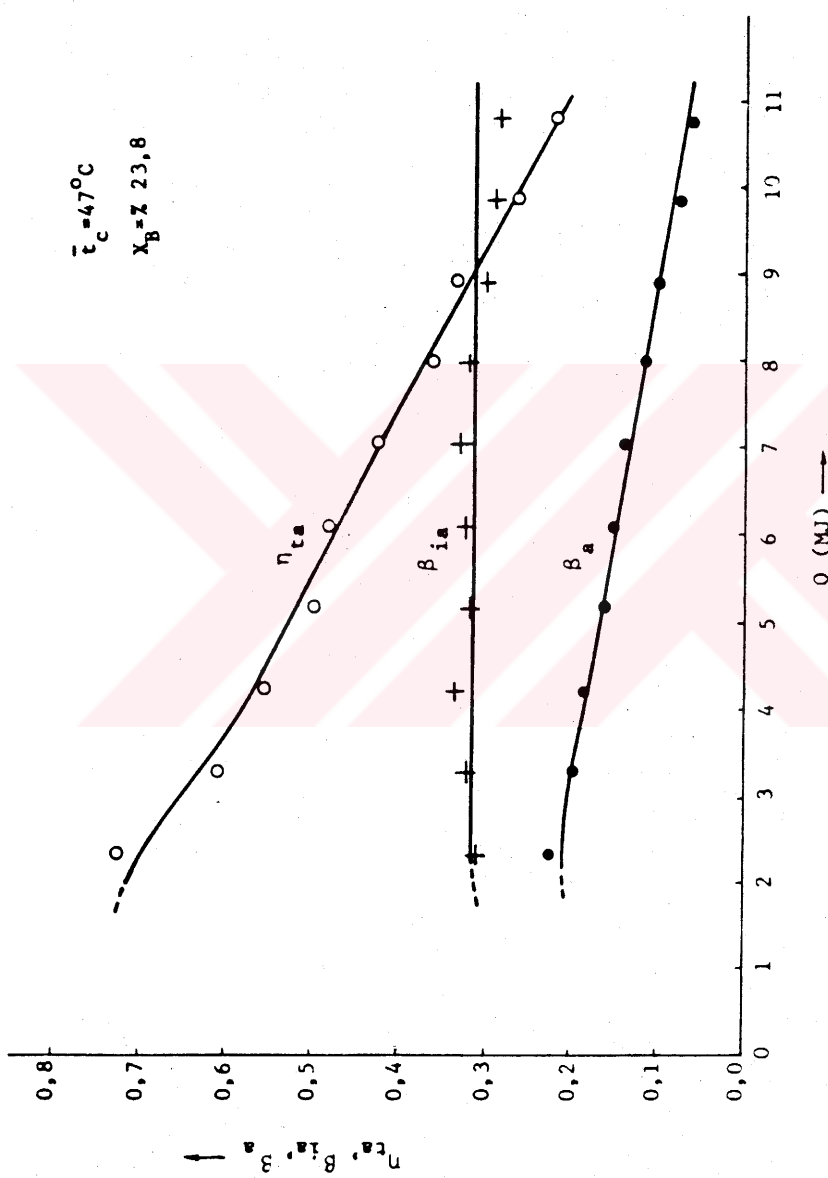
Şek.5.18: Toplayıcı ani verimi η_{ta} , ani iç soğutma etki katısayısı β_{ia} ve ani toplam soğutma etki katısayısı β_a 'nın ışınım enerjisi Q_r 'ye bağlı olarak değişmesi.



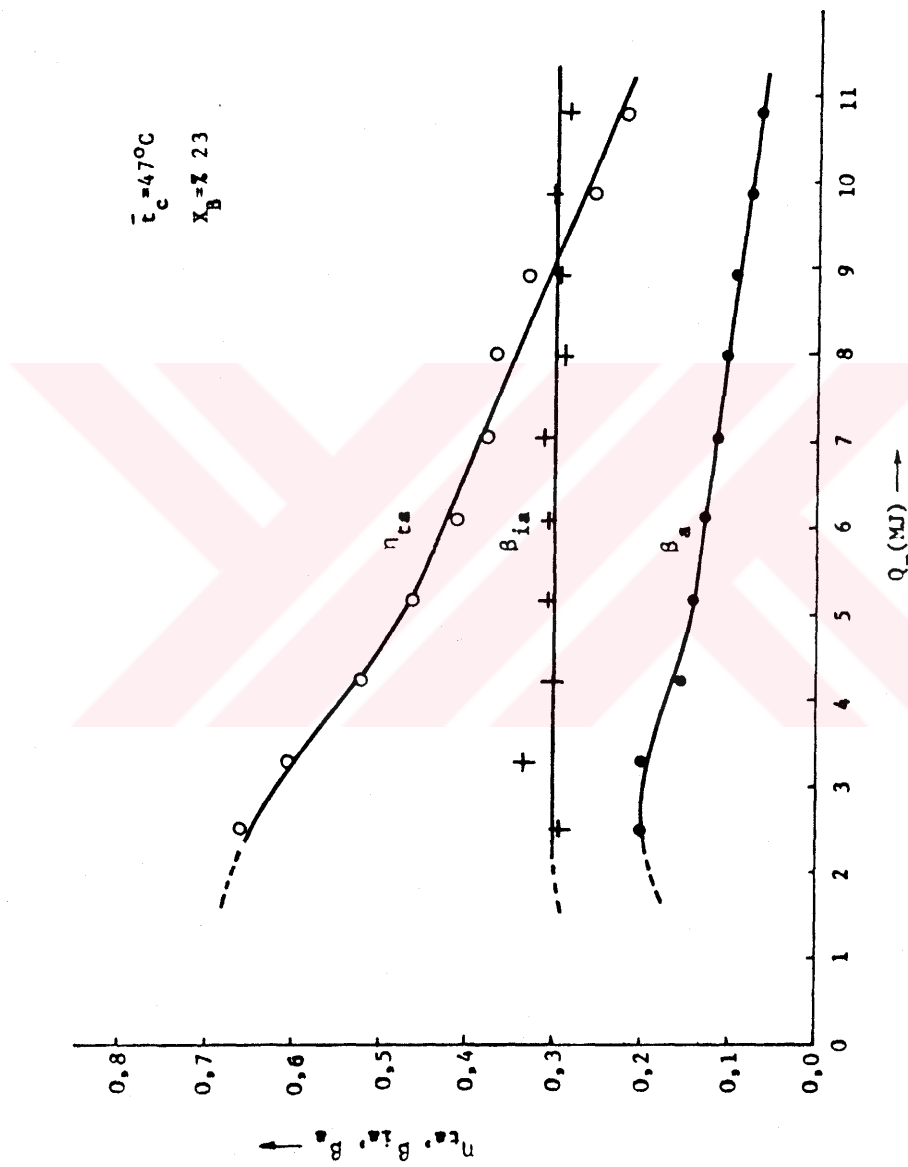
Şek.5.19: Toplayıcı anı verimi η_{ta} , ani iç soğutma etki katsayısı β_{iia} ve anı toplam soğutma etki katsayısı β 'nın ışınım enerjisi Q_r 'ye başlı olarak değişmesi.



Şek.5.20: Toplayıcı ani verimi η_{ta} , ani iç soğutma etki katsayısı β_{ia} ve anı toplam soğutma etki katsayısı β_a 'nın ışınım enerjisi Q_r 'ye bağlı olarak değişimleri.



Şek.5.21: Toplayıcı anı verimi n_{ta} , ani iç soğutma etki katsayıısı β_{ia} ve anı toplam soğutma etki katsayıısı β_a 'nın ışınım enerjisi Q_r ye bağlı olarak değişmesi.



Şek.5.22: Toplayıcı ani verimi η_{ta} , ani ıç soğutma etki kat sayısı β_i ve ani toplam soğutma etki kat sayısı β 'nın ıçınım enerjisi Q_r 'ye bağlı olarak değişmesi.

ması veya \bar{t}_c 'nin yükselmesi toplayıcının anı verimini düşürmektedir.

5.5. Sistemin Anı İç Soğutma Etki Katsayısı

Sistemin anı iç soğutma etki katsayısı β_{ia} 'nın (2.52) bağıntısına göre hesaplanan değerleri (Tablo 5.7-5.9)'da verilmiştir ve (Şek. 5.14-5.22)'deki diyagamlarda $Q_r > Q_B$ için gösterilmiştir. $Q_r < Q_B$ olduğu zaman yoğunlaşma olmadığından $\beta_{ia} = 0$ olur.

β_{ia} 'nın $\bar{t}_c = 36^\circ\text{C}$ 'ye ait değerleri incelenirse, bunların yoğunlaşma sırasında yaklaşık olarak 0,345 değeri civarında toplandığı görülür. Diğer taraftan \bar{t}_c 'nın 47°C ye yükselmesi ile β_{ia} değerinin az miktarda düşüğü ve 0,314 civarında toplandığı görülür. Sonuç olarak β_{ia} 'nın yoğunlaşma süresince sabit kaldığı kabul edilebilir.

Anı iç soğutma etki katsayısının bağıntısı basitleştirilirse

$$(\beta_{ia})_i = [Q_o - C_p(\bar{t}_c - t_e)] \frac{1}{q_o(\frac{\Delta \bar{t}}{\Delta m})_i + q_x} \quad (5.9)$$

bulunur. Belirli bir \bar{t}_c için β_{ia} sabittir ve yukarıda belirtildiği gibi q_o ile q_x sabit alınabilir. Bu nedenle $\Delta \bar{t}/\Delta m$ büyülüğu de sabittir. Dolayısıyle yoğunlaşma sırasında sıcaklık zeolit tabakası kalınlığı boyunca lineer olarak değişiyorsa birim zamanda yoğunsan su miktarı, toplayıcı ortalama sıcaklığındaki artış ile yaklaşık olarak orantılı olur.

5.6. Sistemin Anı Toplam Soğutma Etki Katsayısı

Sistemin anı toplam soğutma etki katsayısı β_a 'nın (2.54) bağıntısı ile elde edilen değerleri (Tablo 5.7-5.9)'da verilmiştir ve (Şek. 5.14-5.22)'deki diyagamlarda gösterilmiştir.

(2.54) bağıntısında görüldüğü gibi β_a 'nın Q_r 'ye göre değişmesi Δm 'nın Q_r 'ye göre değişmesine benzemektedir. Diğer

taraftan (Bölüm 5.5)'te görüldüğü gibi β_{ia} sabit alınabileceğinden $\beta_a \propto \eta_t$ olur.

Tablolar incelenirse, genel olarak β_a 'nın yoğunlaşma başlangıcında bir maksimum değeri aldığı ve Q_r 'nin artan değerleri ile azalduğu görülür. $\bar{t}_c = 36^\circ\text{C}$ 'ye tekabül eden (Şek. 5.14-5.16) incelenirse, yoğunlaşma sırasında $X_B = 24,6$ için $\beta_a = 0,176$, $X_B = 23,8$ için $\beta_a = 0,161$ ve $X_B = 23$ için de $\beta_a = 0,150$ ortalama değerleri bulunur. X_B 'nin değeri 24,6'dan 23'e kadar azaldığında β_a 'nın maksimum değeri de 0,266'dan 0,241'e düşmektedir. Diğer taraftan doymuş zeolit durumuna ait (Şek. 5.14), (Şek. 5.17) ve (Şek. 5.20) incelenirse, daha önce belirtildiği gibi $\bar{t}_c = 36^\circ\text{C}$ için $\beta_a = 0,176$, $\bar{t}_c = 43^\circ\text{C}$ için $\beta_a = 0,162$ ve $\bar{t}_c = 47^\circ\text{C}$ için de $\beta_a = 0,158$ ortalama değerlerinin bulunduğu ve \bar{t}_c 'nin 36°C 'den 47°C 'ye yükselmesi halinde de maksimum β_a değerinin de 0,266'dan 0,226'e düşüğü görülür. Verilen β_a değerleri için kare kökü [36] yöntemiyle hesaplanan hata, yoğunlaşma başlangıcında $\mp 9\%$ mertebesinde iken yoğunlaşma sonuna doğru yoğunlaşan su miktarının azalması nedeniyile yaklaşık $\mp 13\%$ 'e yükselmektedir.

Sonuç olarak X_B 'nin azalan değerleri ile \bar{t}_c 'nın artan değerleri için genel olarak ortalama β_a ile maksimum β_a değeri düşmekte ve maksimum β_a değerlerine tekabül eden Q_r değerleri de büyümektedir.

5.7. Sistemin Ortalama Toplam Soğutma Etki Katsayısı

Sistemin ortalama toplam soğutma etki katsayısı β_r (2.58) bağıntısı yardımı ile hesaplanmış ve (Tablo 5.10)'da verilmiş ve (Şek. 5.23-5.25)'deki diyagramlarda gösterilmişdir. Bu şekillerde yoğunlaşma başlangıcında ortalama toplam soğutma etki katsayısının sıfıra eşit olduğu ve hızla artarak bir maksimumdan geçtikten sonra yavaş yavaş azaldığı görülmektedir.

(Şek. 5.23)'te $\bar{t}_c = 36^\circ\text{C}$ 'ye ait β_r eğrileri incelenirse, $X_B = 24,6$ için $\beta_r = 0,222$, $X_B = 23,8$ için $\beta_r = 0,183$ ve $X_B = 23$ için de $\beta_r = 0,155$ maksimum değerlerini aldığı ve bun-

Tablo 5.10
 Q_r 'ye tekâbul eden β_r değerleri.

$\bar{t}_c = 36^{\circ}\text{C}$

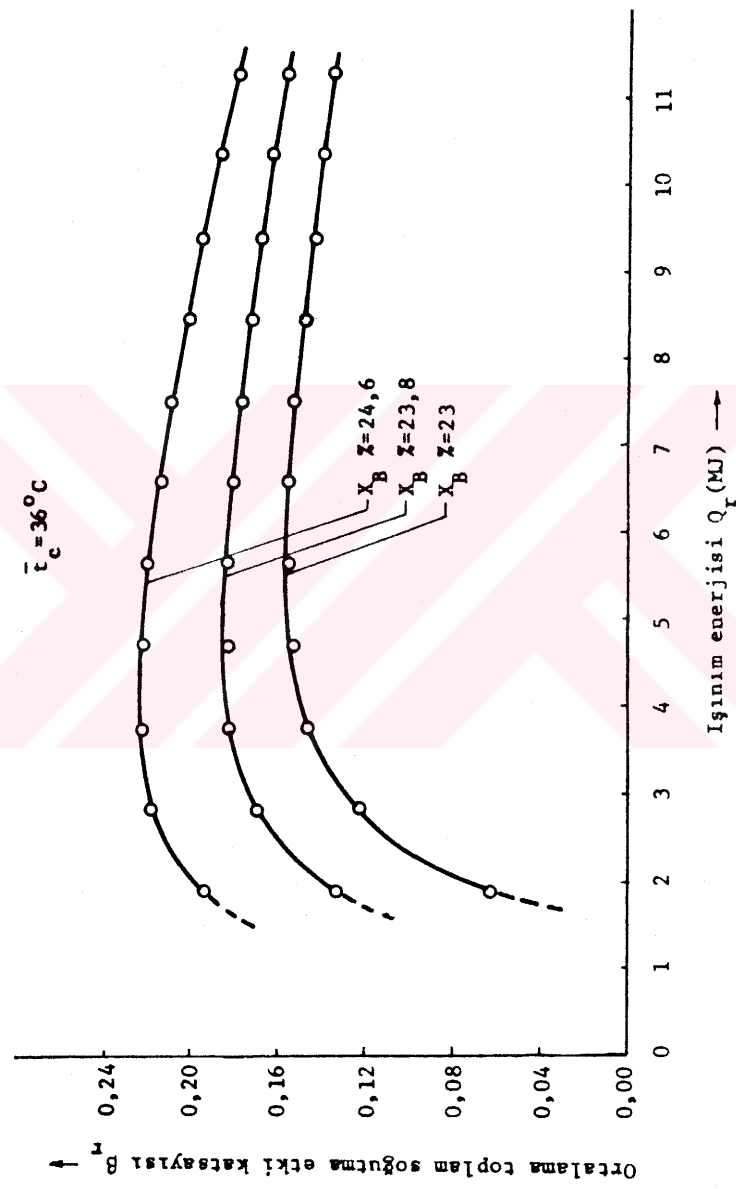
Q_r (KJ)	$X_R = \%$ 24.6	$X_R = \%$ 23.8	$X_R = \%$ 23.6
1879.20	0.1935	0.1332	0.0678
2818.80	0.2178	0.1676	0.1293
3758.40	0.2224	0.1822	0.1458
4698.00	0.2222	0.1830	0.1524
5637.60	0.2187	0.1835	0.1550
6577.20	0.2149	0.1802	0.1551
7516.80	0.2092	0.1766	0.1521
8456.40	0.2037	0.1726	0.1486
9396.00	0.1950	0.1689	0.1448
10335.60	0.1869	0.1627	0.1407
11275.20	0.1793	0.1567	0.1357

$\bar{t}_c = 43^{\circ}\text{C}$

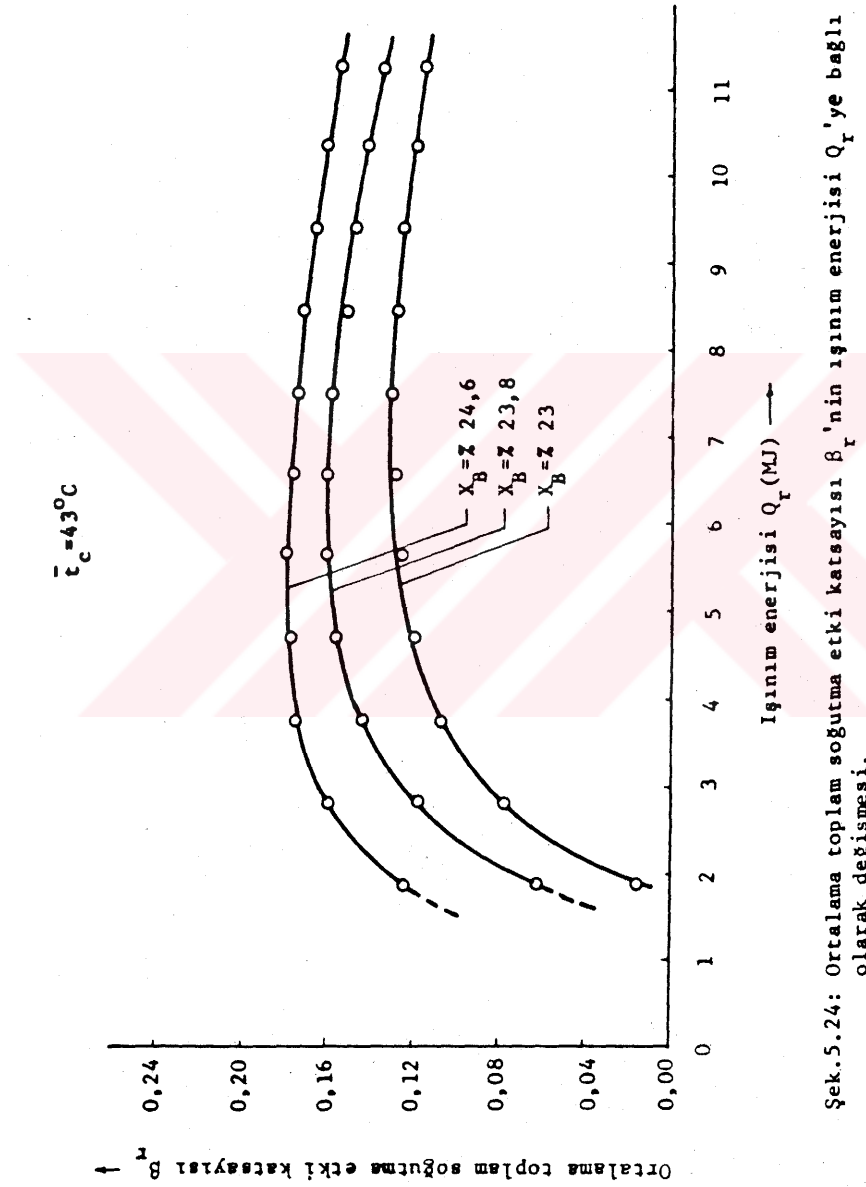
1879.20	0.1241	0.0621	0.0174
2818.80	0.1605	0.1175	0.0773
3758.40	0.1756	0.1446	0.1067
4698.00	0.1787	0.1559	0.1201
5637.60	0.1795	0.1605	0.1274
6577.20	0.1773	0.1610	0.1312
7516.80	0.1750	0.1595	0.1322
8456.40	0.1721	0.1544	0.1285
9396.00	0.1673	0.1489	0.1256
10335.60	0.1625	0.1435	0.1209
11275.20	0.1560	0.1357	0.1154

$\bar{t}_c = 47^{\circ}\text{C}$

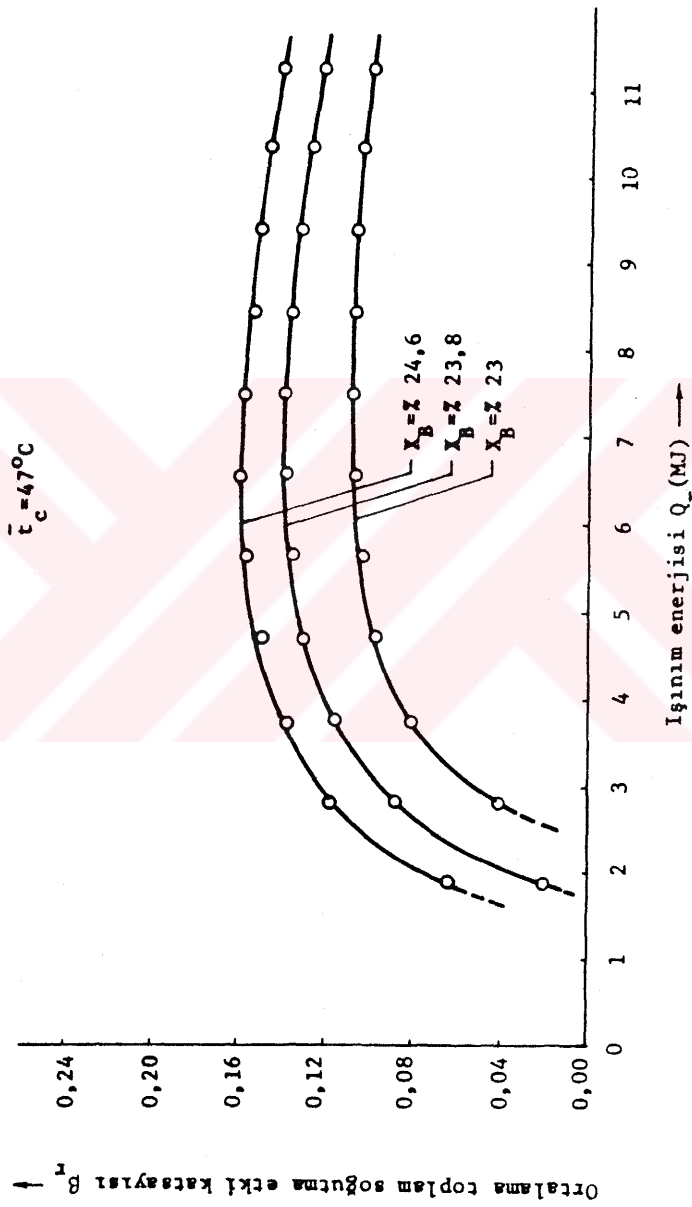
1879.20	0.0641	0.0197	0.0000
2818.80	0.1183	0.0887	0.0411
3758.40	0.1380	0.1158	0.0813
4698.00	0.1508	0.1301	0.0966
5637.60	0.1577	0.1355	0.1043
6577.20	0.1591	0.1387	0.1077
7516.80	0.1577	0.1392	0.1090
8456.40	0.1555	0.1369	0.1090
9396.00	0.1528	0.1336	0.1079
10335.60	0.1479	0.1286	0.1053
11275.20	0.1421	0.1232	0.1019



Şek.5.23: Ortalama toplam soğutma etki katısayısı B_{ort} 'nin ıçinim enerjisi Q_r 'ye bağlı olarak değişmesi.



Şek.5.24: Ortalama toplam soğutma etkili katısayısı B_r 'nin ığınım enerjisi Q_r 'ye bağlı olarak değişmesi.



Şek.5.25: Ortalama toplam soğutma etki kat sayısı \bar{Q}_r 'nin ıshıım enerjisi Q_r 'ye bağlı olarak değişmesi.

lara tekabül eden Q_r 'nin sırasıyla yaklaşık 4 MJ, 4,8 MJ ve 5,6 MJ olduğu görülür. Diğer taraftan (Şek. 5.23-5.25) te doymuş zeolite ait β_r eğrileri incelenirse, daha önce belirtildiği gibi $\bar{t}_c = 36^\circ\text{C}$ için $\beta_r = 0,222$, $\bar{t}_c = 43^\circ\text{C}$ için $\beta_r = 0,179$ ve $\bar{t}_c = 47^\circ\text{C}$ içinde $\beta_r = 0,159$ maksimum değerlerini aldığı ve bunlara tekabül eden Q_r 'nin sırasıyla yaklaşık 4 MJ, 5,4 MJ ve 6,5 MJ olduğu görülür. Burada β_r değerleri için gene kare kökü yöntemiyle [36] hesaplanan hata $\pm 5\%$ mertebesindedir.

Sonuç olarak X_B 'nin artan değerleri ile \bar{t}_c 'nin azalan değerleri için β_r artmakta ve maksimum noktası daha küçük Q_r değerlerine doğru kaymaktadır.

Bu çalışmada hesaplanan soğutma etki katsayılarından Tchernev ile Guilleminot'un deney şartlarına yakın şartlarda olanları seçilmiş ve bu katsayılar Tchernev ve Guilleminot soğutma etki katsayıları ile karşılaştırılmıştır. Karşılaşturma sonuçları (Ek 3)'te gösterilmiştir.

5.8. Soğutma Etki Katsayılarının Düşme Oranı

β_a ve β_r katsayıları ile bu katsayıları etkileyen büyülükler arasındaki ilişki (2.54) ve (2.58) bağıntıları ile verilmektedir. Bunların dışında ortamın sıcaklığı, toplayıcı üzerindeki hava akımlarının hızı ve yönü, yalıtım tabakasının durumu ve yaygın ışınım gibi soğutma etki katsayıısını etkileyebilecek faktörler ihmal edilmiştir. Burada X_B 'nın soğutma etki katsayısı β ya etkisi ayrıca incelenecektir.

Belirli deney koşullarında zeolit doymuş hale gelmeden ışınlamaya başlandığında soğutma etki katsayıısındaki düşmeyi değerlendirebilmek için bu çalışmada soğutma etki katsayıısı düşme oranı adı verilen ϵ_a ve ϵ_r oranları kullanılmıştır.

Zeolit doymuş halde iken ışınlama başladığı zaman sistemin anı toplam soğutma etki katsayıısı β_{aD} ile ve zeolit doymamış halde iken ışınlama başladığı zaman sistemin anı toplam soğutma etki katsayıısı β_{aE} ile gösterilirse, Z_i anının-

da soğutma etki katsayısı düşme oranı

$$(\epsilon_a)_i = \left(\frac{\beta_{aD} - \beta_{aE}}{\beta_{aD}} \right)_i = 1 - \left(\frac{\Delta m_E}{\Delta m_D} \right)_i \quad (5.10)$$

şeklinde ifade edilir. Burada D indisi zeolitin doymuş durumunu, E indisi ise doymamış durumunu gösterir.

Benzer şekilde Z_i anına kadar olan ortalama toplam soğutma etki katsayısı düşme oranı için de

$$(\epsilon_r)_i = \left(\frac{\beta_{rD} - \beta_{rE}}{\beta_{rD}} \right)_i = 1 - \left(\frac{m_E}{m_D} \right)_i \quad (5.11)$$

yazılır.

Anı toplam soğutma etki katsayısının düşme oranı ϵ_a (5.10) bağıntısı yardımı ile hesaplanmış ve (Tablo 5.11)'de verilmiştir. Tablodan söz konusu oranların dağıldığı görülmektedir. Fakat $\bar{t}_c=36^\circ C$ de $X_B=%23,8$ için $\epsilon_a=0,091$ ve $X_B=%23$ için $\epsilon_a=0,148$ ortalama değerlerini aldığı görülmektedir. Diğer taraftan $X_B=%23$ 'te ϵ_a 'nın ortalama değerlerinin $\bar{t}_c=36^\circ C$, $\bar{t}_c=43^\circ C$ ve $\bar{t}_c=47^\circ C$ için sırasıyla 0,148, 0,189 ve 0,186 olduğu görülmektedir. Görülüyor ki, X_B 'nin %24,6 (doymuş) 'dan %23'e azalması ile sistemin değişik \bar{t}_c 'ler için ani toplam soğutma etki katsayıısındaki düşme oranı (ortalama olarak) %17,5 civarında olur.

Ortalama toplam soğutma etki katsayısının ϵ_r düşme oranı (2.11) bağıntısı ile hesaplanarak (Tablo 5.12)'de verilmiş ve (Şek. 5.26-5.28)'deki diyagramlarda gösterilmiştir.

Şekillerde görüldüğü gibi ışınlama başlangıcında doymamış halde bulunan zeolit için başlangıçta yoğunlaşma olmaması nedeniyle $\epsilon_r=%100$ olur. Yoğunmanın başlaması ile ϵ_r hızlı olarak azalır ve belirli bir Q_r 'den sonra yaklaşık olarak sabit kalır. Sonuç olarak değişik \bar{t}_c sıcaklıklarında ve $Q_r > 6MJ$ değerlerinde $X_B=%23,8$ için ϵ_r 'nın değeri en az %12 civarında ve $X_B=%23$ için ise en az %27 civarında olur.

Tablo 5.11
 Q_T 'ye tekâbül eden ϵ_a değerleri.

$\bar{t}_c = 36^{\circ}\text{C}$

$Pr (KJ)$	X _R Z = 23,8	X _R Z = 23,0
2349,00	0,1132	0,0943
3288,60	0,0426	0,0851
4228,20	0,1591	0,1818
5167,80	0,0759	0,1750
6107,40	0,1351	0,1622
7047,00	0,1429	0,2571
7986,60	0,0667	0,2000
8926,20	-0,0800	0,1200
9865,80	0,0476	0,0476
10805,40	0,0526	0,1579

$\bar{t}_c = 43^{\circ}\text{C}$

2349,00	0,0213	0,1489
3288,60	-0,0227	0,1136
4228,20	-0,0513	0,1026
5167,80	0,0000	0,1081
6107,40	0,0000	0,0606
7047,00	0,0625	0,1250
7986,60	0,2333	0,3333
8926,20	0,0000	0,2000
9865,80	0,2174	0,3478
10805,40	0,0448	0,1529

$\bar{t}_c = 47^{\circ}\text{C}$

2349,00	0,0000	0,1440
3288,60	0,0000	-0,0250
4228,20	0,0732	0,2195
5167,80	0,1538	0,2564
6107,40	0,0588	0,2353
7047,00	0,0533	0,2666
7986,60	0,1429	0,2443
8926,20	0,1923	0,2368
9865,80	0,2000	0,2000
10805,40	0,1575	0,1875

Tablo 5.12
 Q_r 'ye tekâmul eden ϵ_r değerleri.

$\bar{\epsilon}_c = 36^{\circ}\text{C}$

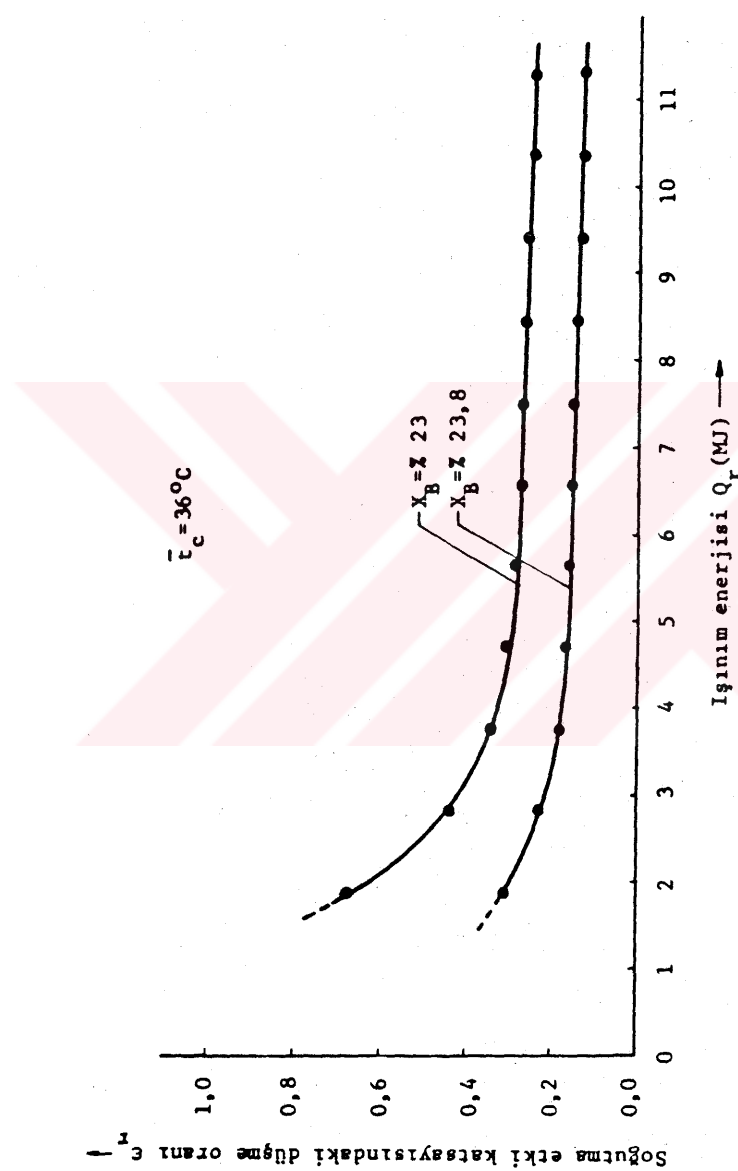
Q_r (KJ)	X _B %	X _B %
1879.20	0.3117	0.6753
2818.80	0.2308	0.4385
3758.40	0.1808	0.3446
4698.00	0.1765	0.3122
5637.60	0.1609	0.2912
6577.20	0.1577	0.2752
7516.80	0.1562	0.2733
8456.40	0.1488	0.2672
9396.00	0.1340	0.2577
10335.60	0.1296	0.2469
11275.20	0.1262	0.2430

$\bar{\epsilon}_c = 43^{\circ}\text{C}$

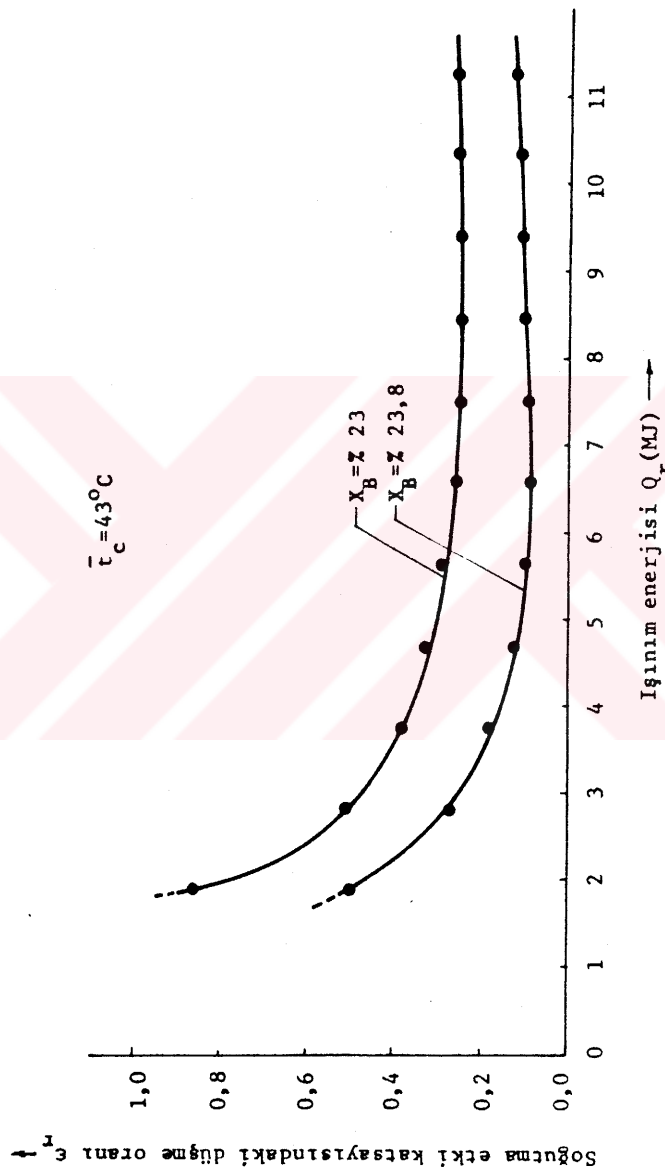
1879.20	0.5000	0.8600
2818.80	0.2680	0.5155
3758.40	0.1773	0.3901
4698.00	0.1278	0.3278
5637.60	0.1060	0.2903
6577.20	0.0920	0.2600
7516.80	0.0887	0.2447
8456.40	0.1026	0.2532
9396.00	0.1098	0.2493
10335.60	0.1167	0.2556
11275.20	0.1300	0.2599

$\bar{\epsilon}_c = 47^{\circ}\text{C}$

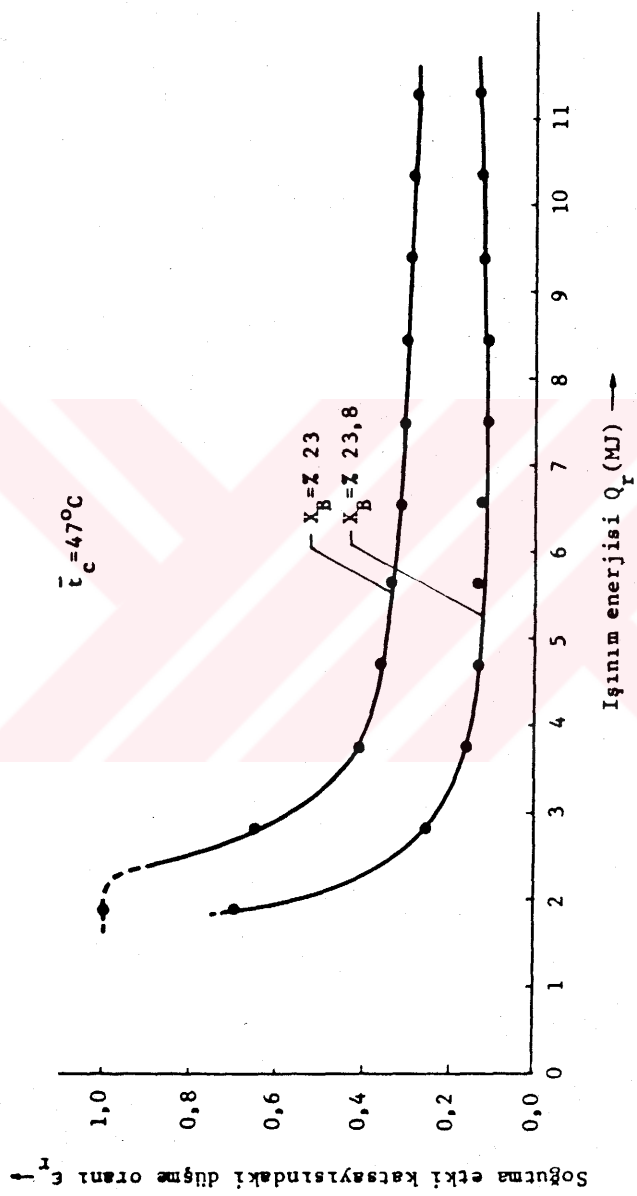
1879.20	0.6923	1.0000
2818.80	0.2500	0.6528
3758.40	0.1607	0.4107
4698.00	0.1373	0.3595
5637.60	0.1406	0.3385
6577.20	0.1283	0.3230
7516.80	0.1172	0.3086
8456.40	0.1197	0.2993
9396.00	0.1258	0.2935
10335.60	0.1303	0.2879
11275.20	0.1330	0.2832



Sek.5.26: Ortalama toplam soğutma etki kat sayısındaki düşme oranı $\bar{\epsilon}$ 'nın ıgınım enerjisi Q_r (MJ) → enerjisi Q_r 'ye bağlı olarak değişmesi.



Sek.5.27: Ortalama toplam soğutma etkili katısayısındaki düşme oranı $\bar{\epsilon}$ 'nın ışınım enerjisi Q_T 'ye bağlı olarak değişmesi.



Şek.5.28: Ortalama toplam soğutma etki kat sayısındaki düşme oranı ϵ^{-1} 'nın ışınım enerjisi Q_r ye bağlı olarak değişmesi.

5.9. Sonuç

Yukarıda yapılan açıklamalardan çıkarılan sonuçlar aşağıda özetlenmiştir:

1- Sistemin soğutma etki katsayısının büyük olabilmesi için ışınlama başlangıcında zeolitin doyma haline en yakın olması gereklidir.

2- Sistemin en büyük ortalama toplam soğutma etki katayı % 22 olup ışınlama başlangıcında zeolitin adsorpsiyon kapasitesinin azalan değerleri ile ortalama yoğunlaşma sıcaklığının artan değerleri için azalmaktadır.

3- Yoğunlaşma sırasında ($Q_r > Q_B$) sıcaklığın toplayıcı zeolit tabakası kalınlığı boyunca lineer olarak değiştiği kabul edilirse birim zamanda yoğunsan su miktarı yaklaşık olarak toplayıcı ortalama sıcaklığındaki artışı ile orantılı olmaktadır ($\Delta\bar{t}/\Delta m \approx \text{sabit}$).

4- Işınınım enerjisi doğrudan doğruya zeolite verildiğinden, yüksek toplayıcı verimi ve bunun neticesi olarak ta yüksek toplam soğutma etki katsayıları elde edilmektedir. Doğayısıyla güneş toplayıcısında üretilen sıcak su ile çalışan bir absorpsiyonlu sisteme nazaran adsorpsiyonlu sistem üstünlük kazanmaktadır.

5- Işınlama başlangıcında zeolit doymuş halde ise ortalama yoğunlaşma sıcaklığının 36°C 'tan 47°C 'e yükselmesi ile $Q_r > 10 \text{ MJ}$ için sistemin ortalama toplam soğutma etki katsayısı sadece % 20 mertebesinde düşmektedir. Bu durum adsorpsiyonlu sistemde hava ile soğutulan bir yoğuneturucu kullanılmamasına imkân sağlamaktadır. Bu da soğutma suyunun bulunmaması halinde absorpsiyonlu sisteme nazaran büyük üstünlük sağlar.

6- Zeolitin kolayca doyması ve ortalama yoğunlaşma sıcaklığının düşük olması nedenleriyle bulutlu havalarda veya çevre sıcaklığının düşük olması hallerinde ışınlama sırasında sistemin soğutma etki katsayıları yüksek olmaktadır. Aksine olarak güneşli ve sıcak havalarda soğutma etki katsayıları dü-

şük olmaktadır. Buna karşılık güneşli havalarda işinim enerjisinin daha büyük olduğundan yoğunsan su miktarı önemli miktarda artar ve bunun sonucunda daha büyük bir soğutma enerjisi kazanılabilir.

7- Zeolitin yüksek buharlaştırıcı basıncında adsorpsiyon doyma kapasitesi daha büyük olduğundan sistemin klima teknüğinde kullanılması zeolitin doymasını kolaylaştırmaktadır.

8- Vakum altında çalışması nedeniyle sistemin konstruksiyonu ve işletmesi zor olur.

EKLER

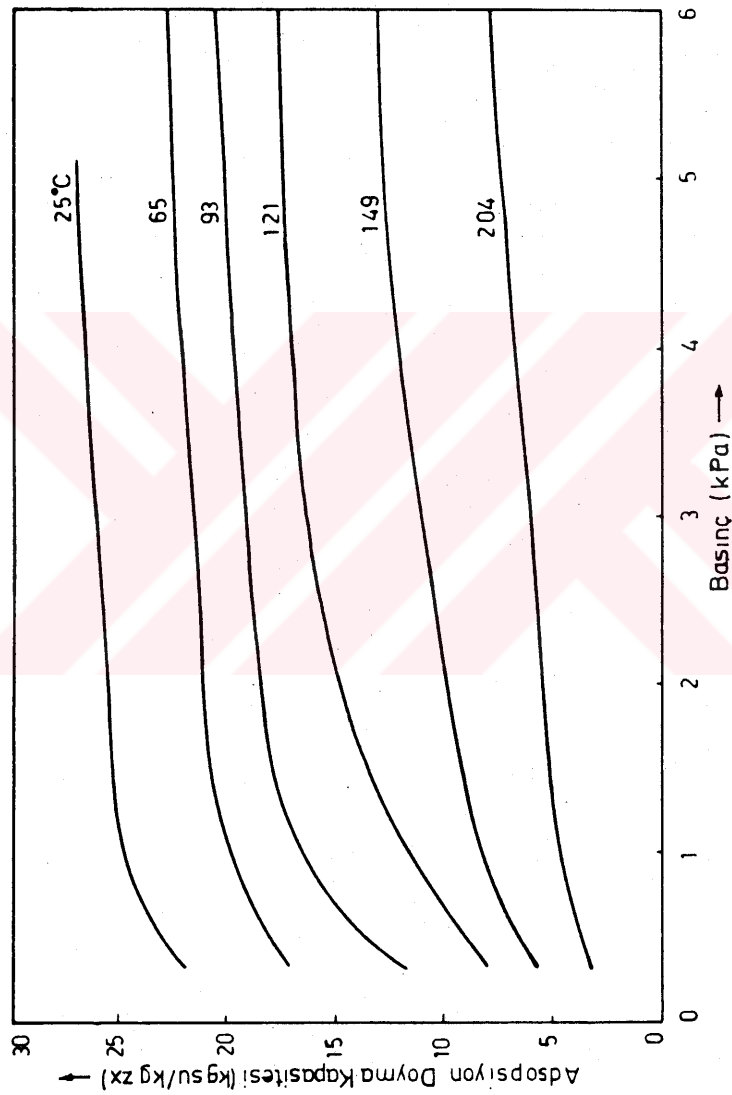
Ek 1. ZX-Zeolitin İzotermleri

Ek 2. Hesap Programı

Ek 3. Sistemin Diğer Sistemler İle Karşılaştırılması

EK 1

ZX-Zeolitin İzotermeleri [15].



EK 2
Hesap Programı

Aşağıdaki program yardımı ile ilk olarak $\bar{t}_c = 36^\circ C$, $43^\circ C$ ve $47^\circ C$ için α 'nın ve Δt_{desB} 'nin değerleri ve bu sıcaklıkların her birinde $X_B = \%24,6$, $\%23,8$ ve $\%23$ için Q_F 'nin değerleri hesaplanmıştır. Daha sonra $\bar{t}_c = 36^\circ C$, $43^\circ C$ ve $47^\circ C$ sıcaklıkların her birine ait $X_B = \%24,6$, $\%23,8$ ve $\%23$ için deneysel adsorpsiyon doyma kapasite değerlerini kullanarak, (5.2) formülüne en küçük kareler metodu uygulanmış ve her bir \bar{t}_c için söz konusu formülün n ve B sabitleri bulunmuştur. Bundan sonra bulunan n değerleri belirli bir sınır içinde denenerek minimum sapma verecek müşterek tek n ve herbir \bar{t}_c için üç B değeri bulunmuştur. Buna göre (5.2) formülü ile hesaplanan X_o değerleri ile deneysel X_o değerleri arasındaki sapmalar hesaplanmıştır.

Işınlama safhasının birinci saatinden itibaren ve her yarımda bir t_{ta} , β_a , β_r 'nin değerlerinin hesaplanması için önce q_x , ΔQ_{des} , $\Delta \bar{t}$, q_o , ΔQ_{td} , ΔQ_e ve Q_e 'nin değerleri hesaplanmıştır. Ayrıca yoğuşmanın işınlama başlangıcından itibaren 1 ila 1,5 saat arasında meydana gelip gelmediği kontrol edilerek ona göre verimin ve soğutma etki katısaylarının 1 ila 1,5 saat arasındaki değerleri hesaplanmıştır. En son β_a ve β_r 'nin $X_B = \%23,8$ ve $X_B = \%23$ için değerleri hesaplanmıştır.

Programda kullanılan semboller aşağıdaki gibidir.

ALFA	: α	TC	: \bar{t}_c
TCK	: \bar{T}_c	DTB	: Δt_{desB}
QB	: Q_F	XB	: X_B
AD	: deneysel X_o	ADM	: m
Q	: Q_r	YF	: teorik X_o
QX	: q_x	DQD	: ΔQ_{des}
DTO	: $\Delta \bar{t}$	TKO	: t_{to}
TKA	: t_{ta}	QSI	: q_o

DQK	ΔQ_t	DQR	Q_r
QRO	Q_B		
VERKA	n_{ta}	DQEVE	ΔQ_e
COPA	β_{ia}	COP	β_a
QORT	$0,5(Q_{r,i} + Q_{r,i+1})$	COPR	β_r
EAA	$X_B = 23,8$ için ϵ_a	EAB	$X_B = 23$ için ϵ_a
ERA	$X_B = 23,8$ için ϵ_r	ERB	$X_B = 23$ için ϵ_r

*** ADN FORTRAN LİSTEİ

C ADNAN FERVATİ . İTÜ Makina Fakültesi

C ADSORBSİYONLU SOĞUTMA SİSTEMİNİN ANALİZİ

C DIMENSION

```
10(11),ADM(3,33),X(33),Y(33),FARK(33),AD(3,33),SF(3,10),AA(3,10),
2TC(3),YE(33),A(10),B(10),DR(3,3),US(10),XB(3),DARB(3,33),SFARK(10),
3VERKA(33),COPA(33),COP(33),COPR(33),TKU(3,33),TKA(3,33),GORT(33)
```

MM=14

M=MM*3

FM=6

READ (5,501) (XR(I),I=1,3)

READ (5,502) (RC(I),I=1,11)

DO 5 I=1,3

READ (5,503) TC(I)

5 READ (5,504) (ADM(I,J),J=1,M)

WRITE(6,501) (XR(I),I=1,3)

WRTTC (6,502) (RC(I),I=1,MM)

DO 4 I=1,3

WRTTC (6,503) (TC(I))

4 WRITE (6,505) (ADM(I,J),J=1,M)

DO 9 L=1,3

ALFA=0.03*TC(L)-0.433

TCK=TC(L)+273.15

DTB=-298.15+1./ (0.00109+0.63/TCK)

DO 8 I=1,3

8 RB(L,I)=ALFA*DTR*44.17-1246.* (24.6-XR(I))

J=0

DO 11 I=1,3

DO 12 K=1,MM

J=J+1

AD(L,J)=XR(I)-ADM(I,J)/175.

Y(J)=ALOG(-ALOG(AD(L,J)/24.6))

DARB(L,J)=Q(K)-DR(L,J)

XC(J)=ALOG(CAHC(L,J))

12 CONTINUE

11 CONTINUE

TX=0

TY=0

TXX=0

TXY=0

DO 2 T=1,M

TX=TX+XR(T)

TY=TY+RC(T)

TXX=TXX+X(T)*X(T)

TXY=TXY+X(T)*Y(T)

2 CONTINUE

R(L)=(-TX*TY+FM*TXY)/(FM*TXX-TX*TXY)

A(L)=-EXP((CTY-R(L))*TX/FM)

```

FARK2=0
DO 3 I=1,M
YF(I)=24.6*EXP(A(L))*QAB(L,I)**B(L))
FA=AD(L,I)-YF(I)
FARK(I)=FA*100./AD(L,I)
3 CONTINUE
WRITE (6,600) TC(L),A(L),B(L)
WRITE (6,601) I,QAB(L,I),AD(L,I),YF(I),FARK(I),I=1,M
9 CONTINUE
DO 41 KA=1,3
DO 42 I=1,10
42 US(I)=B(2)+(-1.+0.2*I)/(10.*KA)
DO 30 K=1,10
DO 6 L=1,3
TB=0.
DO 7 J=1,M
7 TB=TB+ALOG(-ALOG(AD(L,J)/24.6))-ALOG(QAB(L,J))**B(J))
AA(L,K)=-EXP(TB/FM)
6 CONTINUE
DO 13 I=1,3
FARK2=0.
DO 10 I=1,M
YA=24.6*EXP(AA(L,K))*QAB(L,I)**US(K))
FA=AD(L,I)-YA
FARK2=FARK2+FA*FA
10 CONTINUE
13 SF(L,K)=FARK2
SFARK(K)=SF(1,K)+SF(2,K)+SF(3,K)
30 CONTINUE
SA=SFRK(1)
K=1
DO 31 I=2,10
IF (SA.LT.SFARK(I)) GO TO 34
SA=SFRK(I)
K=I
31 CONTINUE
B(2)=US(K)
41 CONTINUE
DO 35 L=1,3
WRITE (6,602) TC(L),AA(L,K),US(K)
WRITE (6,603) XB(I),I=1,3
DO 34 KA=1,MM
DO 33 JJ=1,3
JJ=KA+(JJ-1)*MM
Y(JJ)=24.6*EXP(AA(L,K))*QAB(L,JJ)**US(K))
X(JJ)=AD(L,JJ)
33 SFARK(JJ)=(AD(L,JJ)-Y(JJ))*100./AD(L,JJ)
WRITE (6,604) Q(KA),(X(JJ),Y(JJ),SFARK(JJ)),JJ=1,3
34 CONTINUE
35 CONTINUE
DO 49 I=1,3
READ (5,505) TRO(I,J),J=1,NN
49 READ (5,505) TRACT(J),J=1,M
DO 51 I=1,3
NA=1
NB=10
KK=1
QRO=QB(I,KK)
JL=0
WRITE (6,610) TC(I)
55 DO 50 J=NA,NB
XORT=0.5*(AD(I,J)+AD(I,J+1))
QX=3671.0+11.*((24.6-XORT))
DQD=(ADM(I,J+1)-ADM(I,J))*QX/1000.
DTO=0.5*(TKO(I,J+1)+TKA(I,J+1)-TKO(I,J)-TKA(I,J))
GST=26.+6.7327*XORT
DDR=939.6
IF (ADM(I,J).EQ.0.) DDR=2818.8-QRO

```

```

DTO=DDR*DT0/939,6
DQK=QSI*DTO
VERKA(J)=(DQD+DQK)/DDR
DOEV=(ADM(T,J+1)-ADM(T,J))*(2494.5-A,487*TCT1-E,33/1000,
COPA(J)=DQEVA/(DQD+DQK)
COP(J)=DQEVA/DDR
JJ=J+1
QORT(J)=0.5*(Q(J,J)+Q(J,J+1))
COPR(J)=0.475*(XBR(KK)-AD(T,J))*(2494.5-A,487*TCT1-E))/DCT(J)
50 CONTINUE
COP(NR+1)=0.475*(XBR(KK)-AD(T,NR+1))*(2494.5-A,487*TCT(J)-500)/
1 Q(MM)
WRTE (6,615) XBR(KK)
WRITE (6,611) QORT(J),VERKA(J),COPA(J),COP(J),J=NR,NR
JJ=0
KK=KK+1
IF (KK.GT.3) GO TO 56
QRO=QR(T,KK)+EXP(CALOG(-ALOG(24.67*XBR(KK))/ZACT,K))-ZBIS(K)
NA=NA+1
NR=NR+1
GO TO 55
56 WRTE (6,613) TC(T),XB(2),XB(3)
DO 53 J=1,10
EAA=(COP(J)-COP(J+11))/COP(J)
EAB=(COP(J)-COP(J+22))/COP(J)
WRTE (6,612) QORT(J),EAA,EAB
53 CONTINUE
WRTE (6,605) TC(T),(XB(J),J=1,3)
WRTE (6,606) Q(J),COPR(J),COPR(J+11),COPR(J+22),J=1,MM
WRTE (6,614) TC(T),XB(2),XB(3)
DO 54 J=1,MM
ERA=(COPR(J)-COPR(J+11))/COPR(J)
ERB=(COPR(J)-COPR(J+22))/COPR(J)
WRITE (6,612) Q(J),ERA,ERB
54 CONTINUE
51 CONTINUE
610 FORMAT (//20X,4HTC =,F5.1,2H C//24X,6HXR (2),4X,6HOR(K,J),
15X,5HVERIM,5X,5HSEKTA,6X,4HSEKA/)
611 FORMAT (10X,F10.2,3F10.4)
612 FORMAT (F10.2,2F12.4)
613 FORMAT (//10X,4HTC =,F5.1,2H C//36X,2(10X,2HXR)/
1 4X,6HOr(K,J),2(5X,2HZ ,F5.1)/)
614 FORMAT (//10X,4HTC =,F5.1,2H C//10X,2(10X,2HXR)/
1 4X,6HOr(K,J),2(5X,2HZ ,F5.1)/)
615 FORMAT (F10.1)
501 FORMAT (3F5.1)
502 FORMAT (3F8.1)
503 FORMAT (F5.1)
505 FORMAT (11F6.1)
600 FORMAT (//8X,4HTC =,F5.1,5X,3HA =,E15.8,5X,3HB =,F10.4/
1 4X,1H0,8X,2HSD,8X,2HXF,8X,2HYF/)
601 FORMAT (T5,4F10.2)
602 FORMAT (//34X,4HTC =,F5.1,2H C//24X,3HB =,E15.8,5X,3Hn =,F7.4/)
603 FORMAT (10X,3(4X,5HXB =,2,F5.1,6X)//6X,2HOr,2X,3(4X,1HX,6X,1HX,5X,
14HZ,2X)/6X,2HKJ,2X,3(2X,5HDENRY,1X,6HDFRMUL,2X,4HFARK)/)
604 FORMAT (F10.1,3(2F7.2,F6.2))
605 FORMAT (//22X,4HTC = ,F5.1,2H C//4X,6HOr(K,J),
1 3(4X,6HXB =,2,F5.1)/)
606 FORMAT (F10.2,3F15.4)
STOP
END

```

EK 3

Sistemin Diğer Sistemler İle Karşılaştırılması:

Bu çalışmada kullanılan sistem ile Tchernev'in sistemi ve Guilleminot'un sistemine ait özellikleri mukayeseli olarak aşağıdaki tabloda verilmiştir.

	Tchernev	Guilleminot	Bu çalışma
Zeolit cinsi	Çabazit (tabii)	ZX (sentetik)	ZX (sentetik)
Zeolit kalınlığı mm	63,5	40	50
Toplayıcı alanı m^2	0,093	0,8	0,58
Toplayıcı-zeolit İşı iletken elemanı	sık yapılı kafes (Eggcrate)	80x80 mm' lik bölmeler	25 mm aralıklı aliminyum petek
İşinim şiddeti W	1000	800	900
Teorik soğutma etki katsayısı	0,83	0,6	0,6
Yoğunlaşma sıcaklığı $^{\circ}C$	50	31	36
6 saat sonra $\beta_r \%$ ($t_e=5^{\circ}C$)	26,6	11,2	13,5

Bu tabloda görüldüğü gibi adsorpsiyonlu soğutma sistemlerinde sentetik zeolit yerine doğal zeolit kullanılması halinde soğutma etki katsayısı önemli miktarda artmaktadır. Bunun nedeni doğal zeolitin adsorpsiyon ısısının daha düşük olmasıdır. Ayrıca Tchernev'in deneylerinde daha kalın bir zeolit tabakası kullanılmış ve zeolitin alt tabakasının bir yalıticı görevi yapması sağlanmıştır. Bu çalışmada zeolit tabakası Guilleminot'un sisteminde kullanılan zeolit tabakasından daha kalın tutulmuş ve daha sık yerleştirilen petekler yardımı ile ısı iletimi iyileştirilmiş ve ayrıca kütle transferini kolaylaştırmak için tedbirler alınmıştır. Bunun sonucu olarak 10 saatlik adsorpsiyon süresi için $X_B = 23\%$ alınmış ve daha yüksek ortalama toplam soğutma etki katsayıları elde edilmiştir.

KAYNAKLAR

- [1]- Kreider, J.F., Kreith, F., Solar heating and cooling. Mc Graw Hill Book Company, (1977).
- [2]- Serim, İ. Enerji-Feryal matbaacılık, Ankara, (1979).
- [3]- Kreith, F., Kreider, J.F., Principle of solar energy. Mc Graw Hill Book Company, (1978).
- [4]- Shigeishi, R.A., Langford, C.H., Hollebone, B.R., Solar energy storage using chemical potential changes associated with drying of zeolites. Solar Energy, V.23, (1979), 489-495.
- [5]- Sand, L.B., Mumpton, F.A., Natural zeolites. Pergamon Press, (1976).
- [6]- Noll, E.M., Wind/Solar energy. Sams, Indiana, (1977).
- [7]- Grossman, G., Johannsen, A., Solar cooling and air conditioning. Prog. Energy Combust. Sci Vol.7, Pergamon press, (1981), 185-228.
- [8]- Meunier, F., Mischler, B., Solar cooling through cycles using microporous solid adsorbents. Proc. Int. Sol. Energy Soc. Silver Jubilee Congress 1979 V.1. Pergamon, (1979), 676-680.
- [9]- Nelson, J.S., Beckman, W.A., Mitchell, J.W., Close, D.J., Simulations of the performance of open cycle desiccant systems using solar energy. Solar Energy, V.21, (1978) 273-278.
- [10]- Shelpuk , B.C., Hooker, D.W., Overview of developing programs in solar desiccant cooling for residential buildings. SERI. National Technical Information Service U.S.A., (1979).
- [11] - Keenan, J.H., Thermodynamics. Wiley, (1947).
- [12]- Onat, K. Soğutma teknigi ders notları, İ.T.Ü. Mak. Fak. Isı teknigi kursüsü, (1978).
- [13]- Whitlow, E.P., Swaringen, J.S., An improved absorption refrigeration cycle. The 13.th annual technical meeting, Presented at American Institute of Chemical Engineers, Galveston, Texas, (1958).

- [14]- Whitlow, E.P., Trends of efficiencies in absorption refrigeration machines. Ashrae journal, December, (1966), 44-48.
- [15]- Shelpuk, B., Proceedings of the desiccant cooling conference of 1977. SERI, National Technical Information Service, Springfield, U.S.A., (1978).
- [16]- Tchernev, D.I., Exploration of molecular sieve zeolites for the cooling of buildings with solar energy. National Technical Information service, Springfield, U.S.A., (1977).
- [17]- Guilleminot, J.J., Meunier, F., Etude experimentale d'une glaciare solaire utilisant le cycle zeolithe 13X-eau. Rev. Gén. Therm. Fr. n°.239, novembre (1981), 825-834.
- [18]- Guilleminot, J.J., Meunier, F., Mischler, B., Etude de cycles intermittents à adsorption solide pour la refrigeration solaire. Revue Phys. Appl. 15 (1980), 441-452.
- [19]- Meunier, F., Mischler, B., Guilleminot, J.J., On the use of zeolithe 13X-H₂O intermittent cycle for the application to solar climatization of buildings. Proc. Int. Sol. Energy Soc. Silver Jubilee Congress 1979 V.1., Pergamon, NY. (1979) , 459-463.
- [20]- Duffie, J.A., Beckman, W.A., Solar energy thermal processes. Wiley,(1974).
- [21]- Kılıç, A., Öztürk, A., Güneş enerjisi. Kipaş Dağıtım-cılık, (1983).
- [22]- Messel, H., Butler, S.T., Solar Energy. Pergamon Press, (1975).
- [23]- Sayigh, A.A.M., Solar energy engineering. Academic Press, (1977).
- [24]- Solar radiation observations, 1982, Boğaziçi Ünv. Kandilli rasathanesi, (1983).
- [25]- Kılıç, A., Direkt güneş ışınımı tayini için yeni bir metod. İ.T.Ü., Müh. Mim. Fak. Doktora tezi,(1982).

- [26]- Choudhury, C., Sehgal, H.K., Black cobalt selective coatings by spray pyrolysis for photothermal conversion of solar energy. *Solar Energy*, V.28, (1982), 25-31.
- [27]- Barrow, G.M., *Physical chemistry*, Mc Graw Hill International Student edition, (1966).
- [28]- Boer, J.H., *The dynamical character of adsorption*. Clarendon Press, Oxford, (1968).
- [29]- Şenatalar, A.E., Çandar, V., Kadioğlu, E., Doğal zeolitlerin kullanım potansiyelleri. İ.T.Ü. Dergisi, cilt 40, No.1, (1983) , 26-34.
- [30]- Union Carbide., *Molecular sieves Catalogue*
- [31]- Breck, D.W., *Zeolite molecular sieves*. Wiley, N.Y., (1974).
- [32]- Gopal, R., Hollebone, B.R., Langford, C.H., Shigeishi R.A., The rates of solar energy storage and retrieval in a zeolite-water system. *Solar Energy*, (1981).
- [33]- Scarmozzino, R., Aello, R., Santucci, A., Chabazitic tuff for thermal storage. *Solar Energy*, V.24, (1980). 415-416.
- [34]- Close, D.J., Dunkle, R.V., Use of adsorbent beds for energy storage in drying and heating systems. *Solar Energy*, V.19, (1976).
- [35]- Holman, J.P. *Experimental methods for engineers*. Mc Graw-Hill, (1966).
- [36]- Doeblin, E.O., *Measurment systems application and design*. Mc Graw-Hill, (1975).

TEŞEKKÜR

Bana bu tezin konusunu veren ve çalışmamı başlatan saygınlı hocam Prof. Dr. Kemal Onat'a, kendisinin emekli olarak ayrılması üzerine yürütücülüğü üstlenen ve yardımcılarını esirgemeyen ve halen üniversiteden ayrılmış bulunan saygınlı hocam Doç. Dr. Kemal Tuzla'ya, tezimin bütün safhalarını adım adım izleyen, yönlendiren ve sonuca ulaşmamı sağlayan saygınlı hocam ve yöneticiim Doç. Dr. Refah Ayber'e, çalışmalarında her türlü yardımcılarını benden esirgemeyen saygınlı hocam Prof. Dr. Ahmet Rasim Büyüktür'e, komputer programlamanın hazırlanmasında büyük yardımcılarını gördüğüm saygınlı Dr. Feridun Özgür'e, deney tesisatının esasını teşkil eden zeoliti Üniversiteye sağlayan Yilbak şirketi yetkilisi saygınlı Dr. Cevdet İmer'e ayrı ayrı teşekkür etmeyi bir borç bilirim.

Bir yabancı olarak öğretim gördüğüm İstanbul Teknik Üniversitesi Makina Fakültesinde hiç bir yabancılık hissetmeden bana her türlü maddi ve manevi kolaylıklarını sağlayan Sayınlı Fakülte Dekanları Prof. Dr. Aziz Erçin, Prof. Dr. Hasan Fehmi Yazıcı ve Prof. Dr. Yasar Özemir olmak üzere bütün saygınlı hocalarımı ve laboratuvar arkadaşlarımı candan teşekkür ederim.

ÖZGEÇMİŞ

M. Adnan Fervati, 1945 yılında Halepte doğdu. İlk, orta ve lise öğrenimini Halepte tamamladı. İstanbul Üniversitesi Lisan okulunda Türkçeyi öğrendikten sonra 1966 yılında giriş imtihanını kazanarak İ.T.Ü. Makina Fakültesi Genel Makina bölümünde yüksek öğrenimine başladı, ve 1971 yılında Mak. Yük. Müh. ünvanı ile mezun oldu. Halepte askerlik görevini tamamlayarak Halep Üniversitesi Makina Mühendisliği bölümünde öğretim görevlisi olarak vazife aldı ve okuttuğu dersler ile ilgili yayinları yaptı. Halep Üniversitesi Teknik Enstitüsü Makina bölümü Şefliğini ve aynı enstitünün müdürlüğünü yaptı. Bu nın dışında endüstride çelik konstrüksyon ile ısıtma ve havalandırma projelerinin uygulamasında genel sorumlu mühendis olarak çalıştı. Şubat/1981 tarihinden bu yana İ.T.Ü. Makina Fakültesinde Enerji dalında doktora çalışmasını sürdürdü. Evli ve iki çocuk babasıdır.

**T. C.
Yükseköğretim Kurumu
Dokümantasyon Merkezi**